

FIG. 1
Numere totale de celule

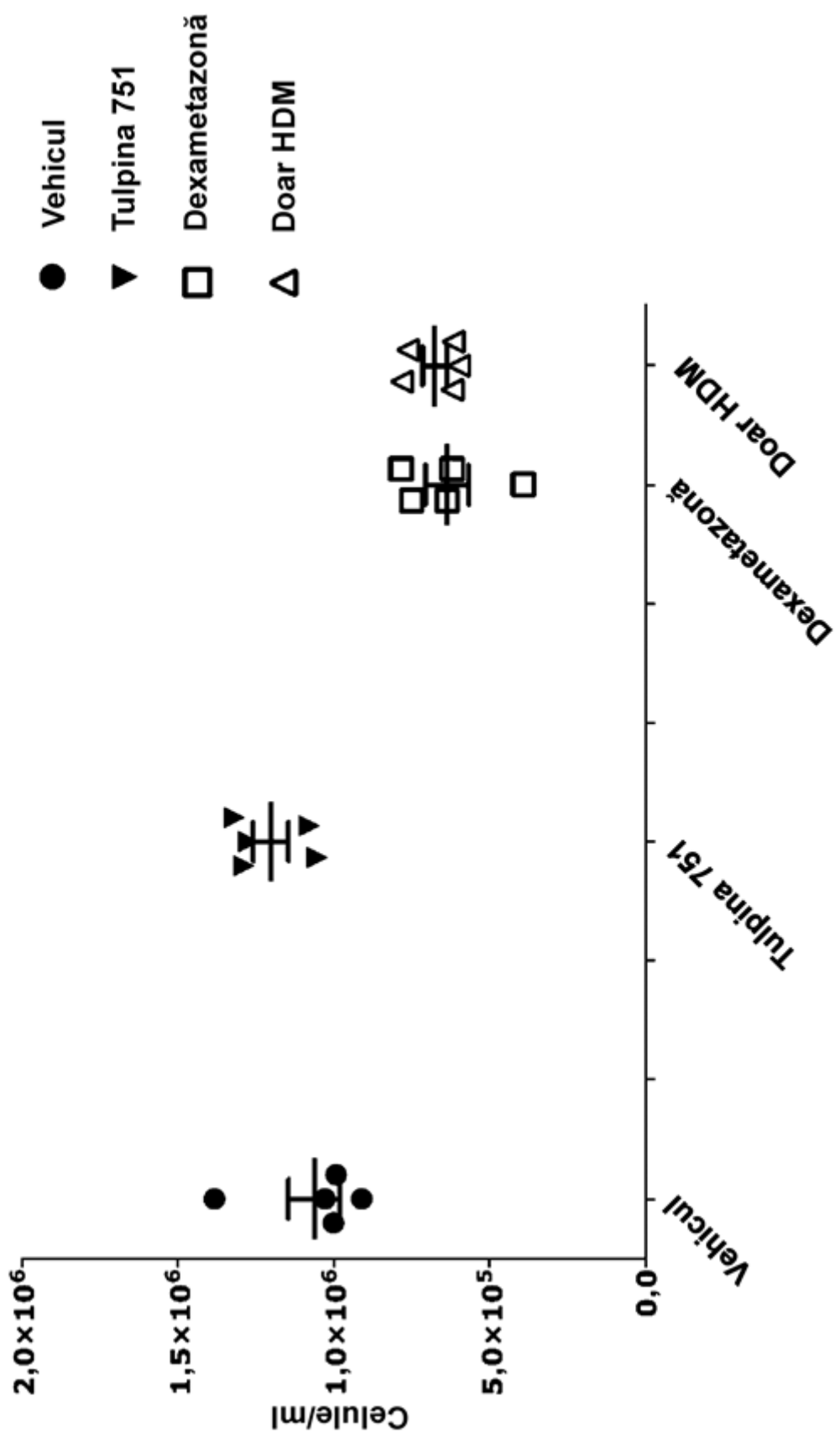


FIG. 2
Numere totale de eozinofile

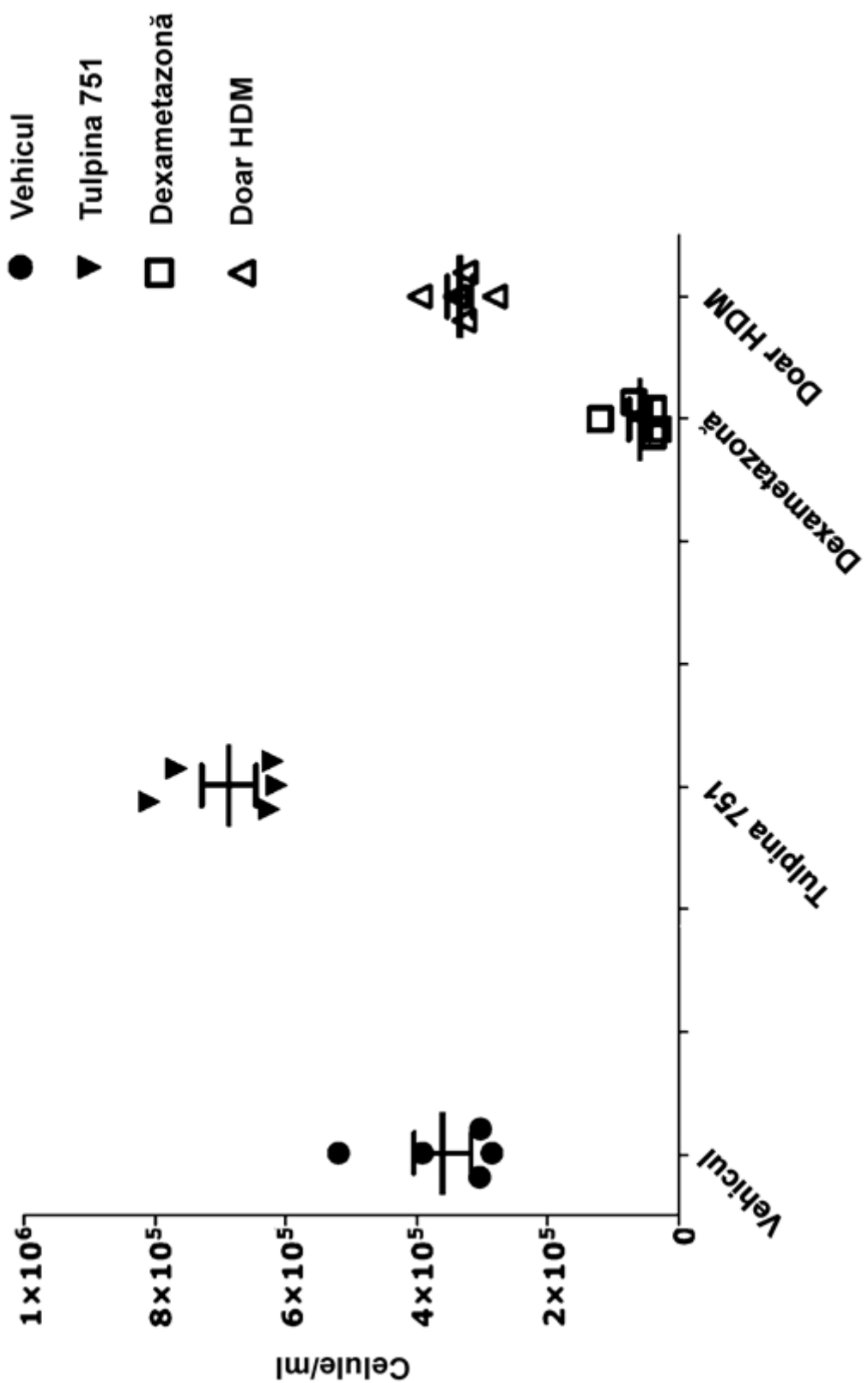


FIG. 3
Procente de eozinofile

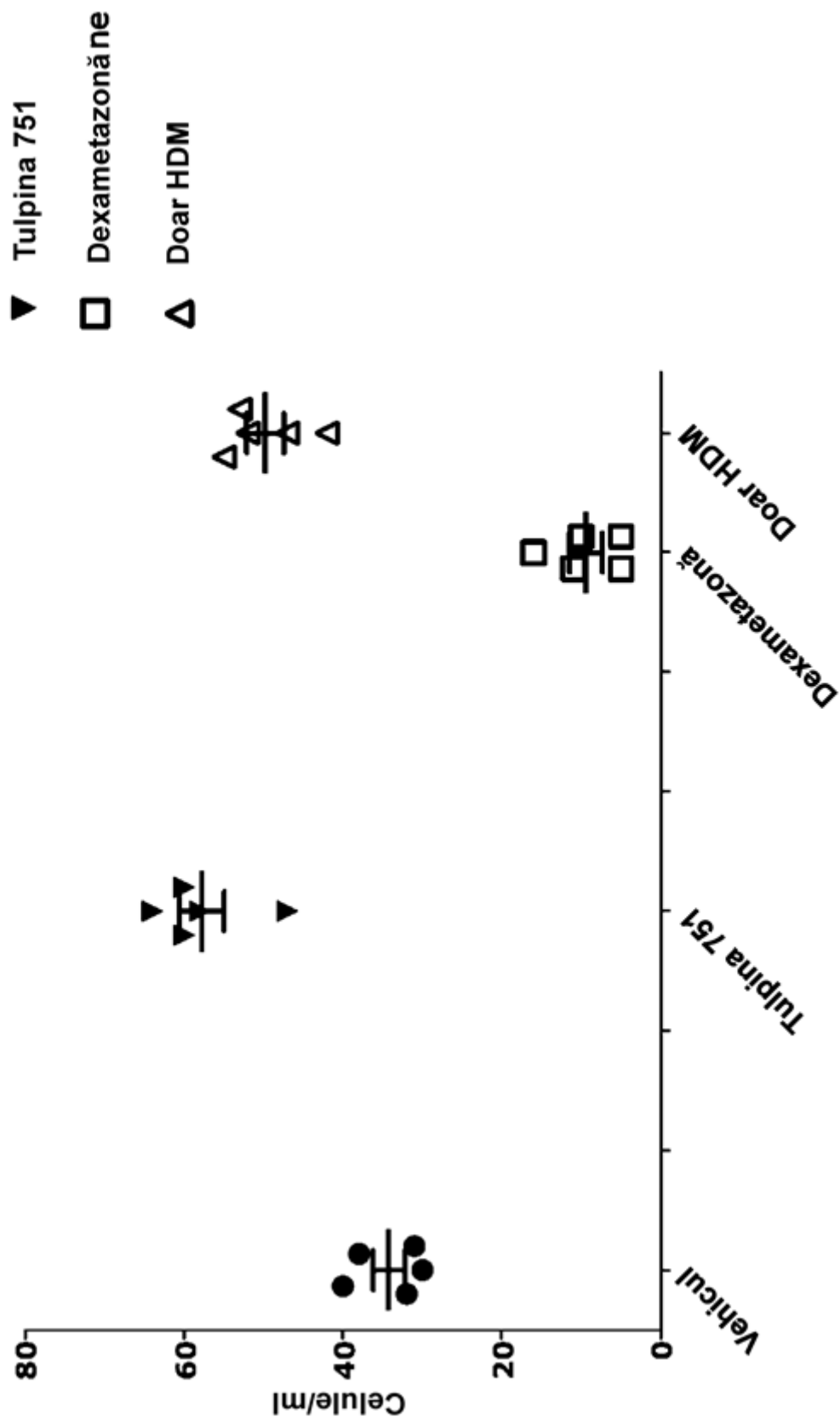


FIG. 4
Numere totale de macrofage

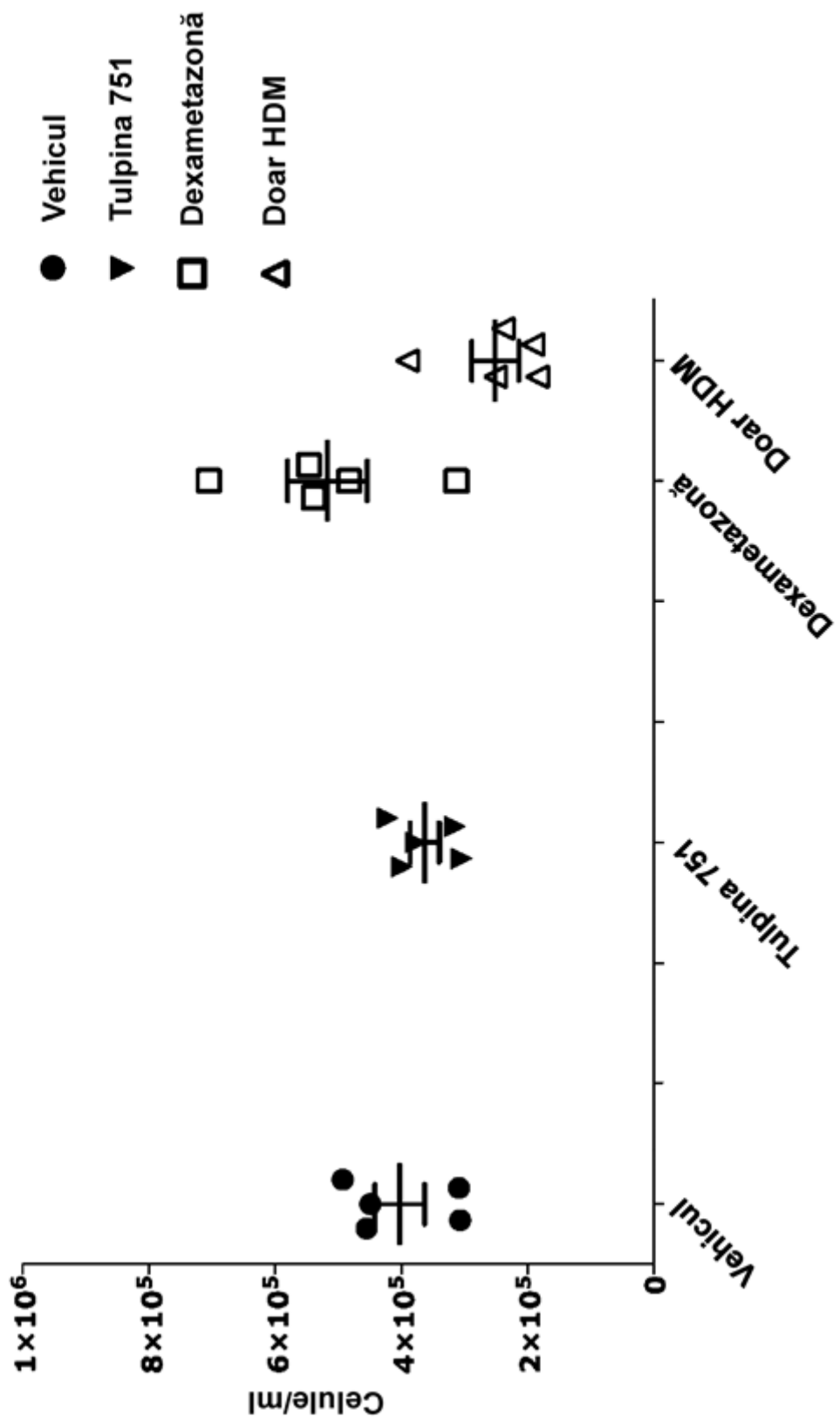


FIG. 5
Procent de macrofage

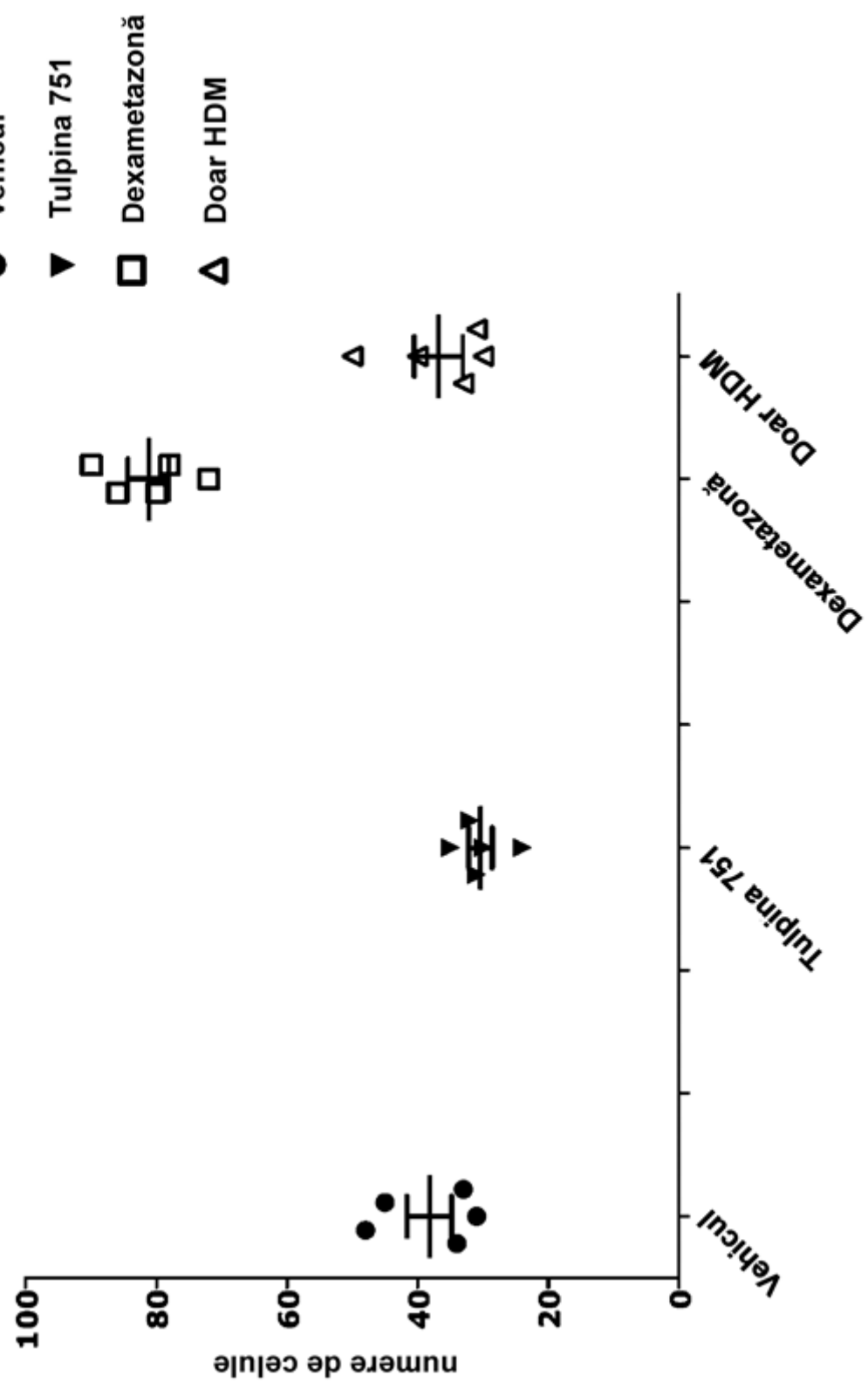


FIG. 6
Total neutrophile

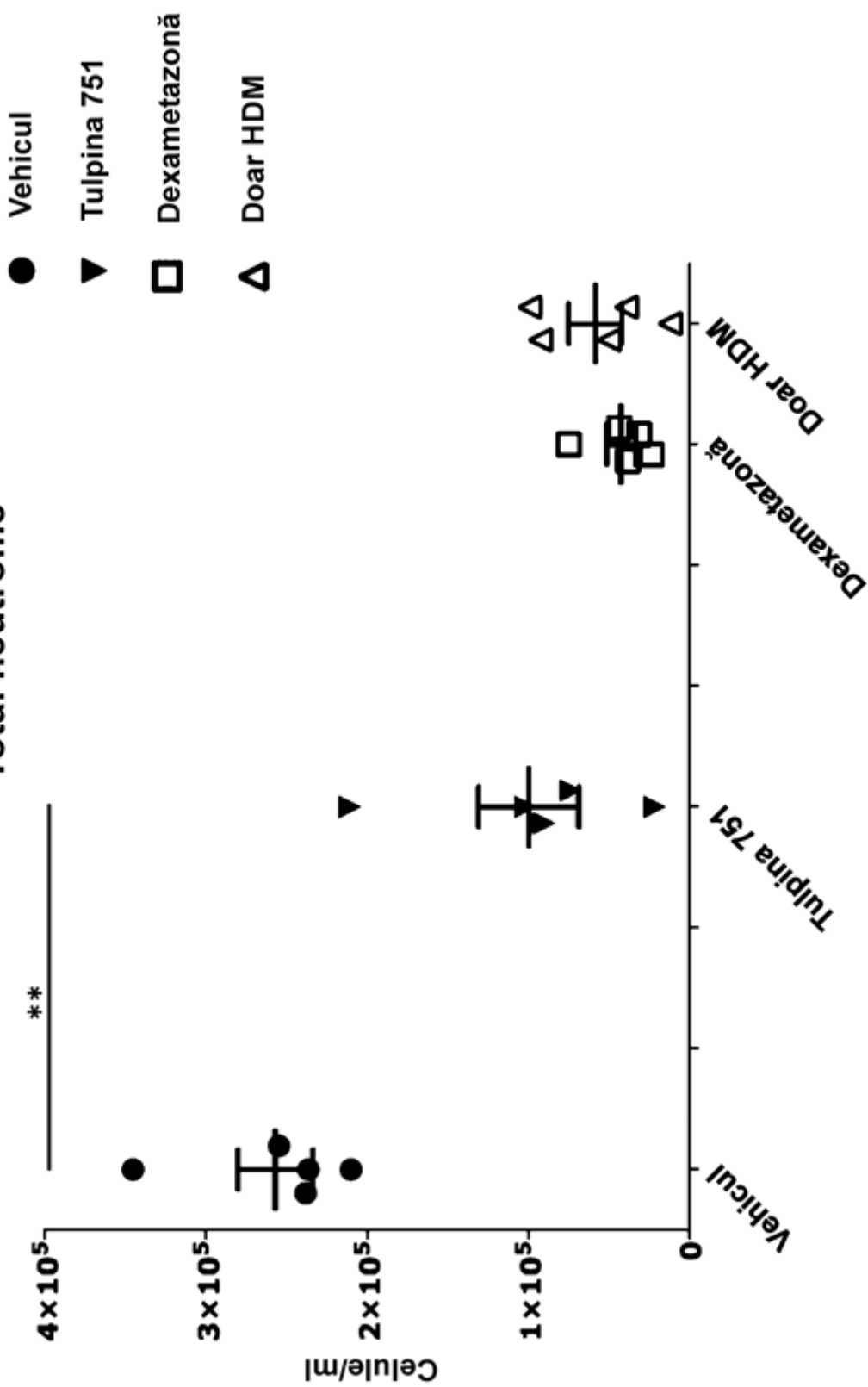


FIG. 7
% neutrofile

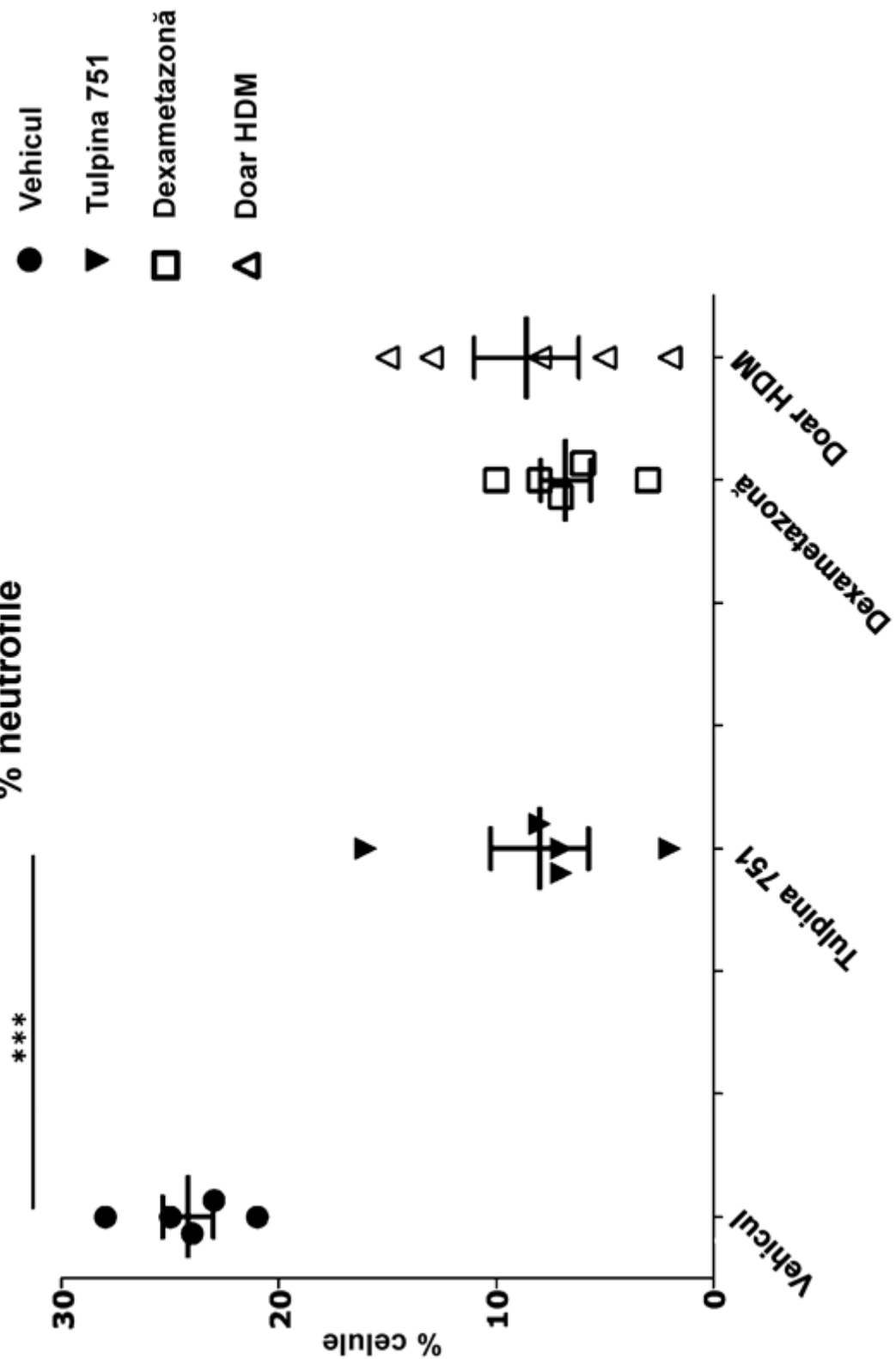


FIG. 8
Total limfocite

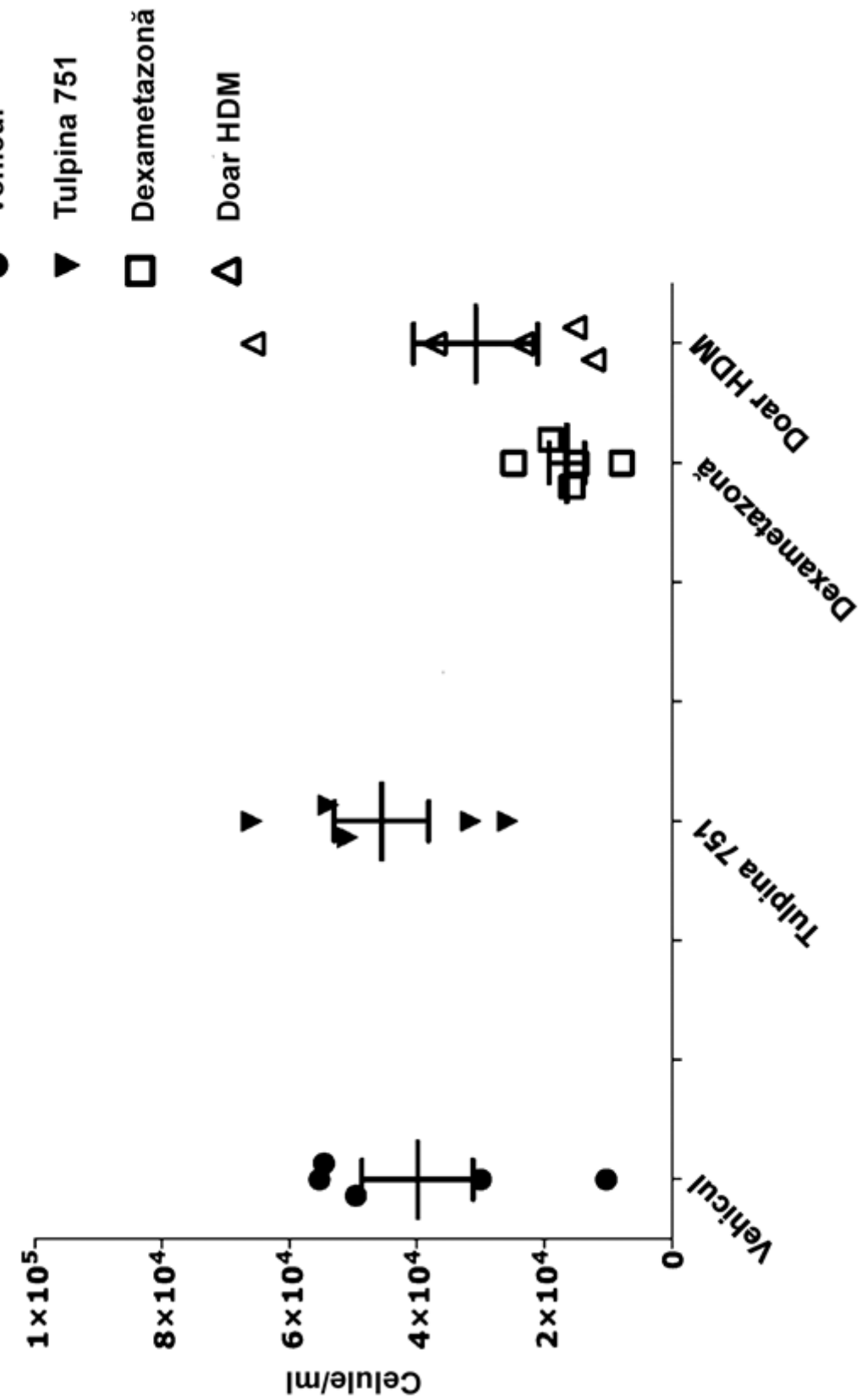


FIG. 9
% limfocite

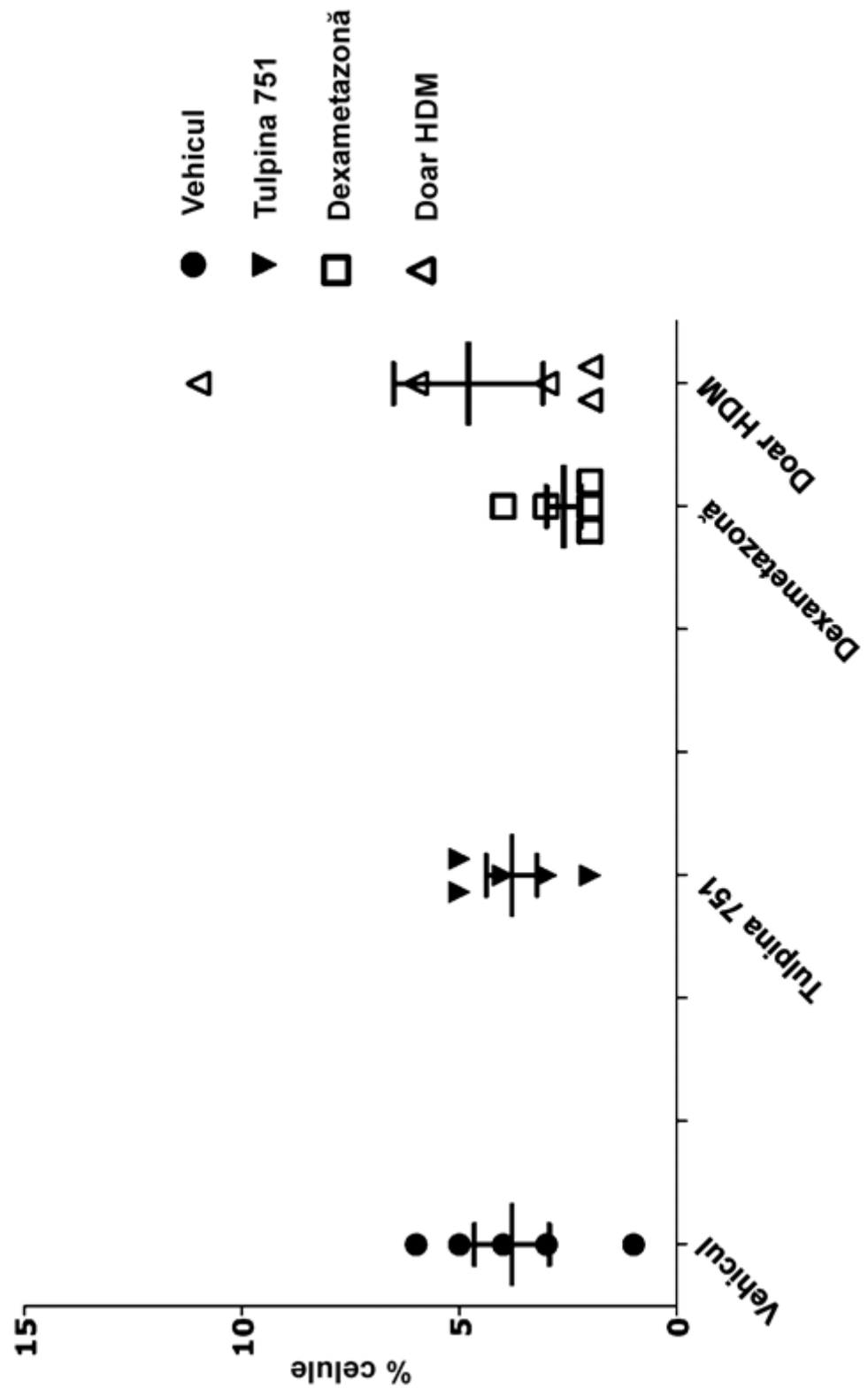


FIG. 10
Numere totale de celule

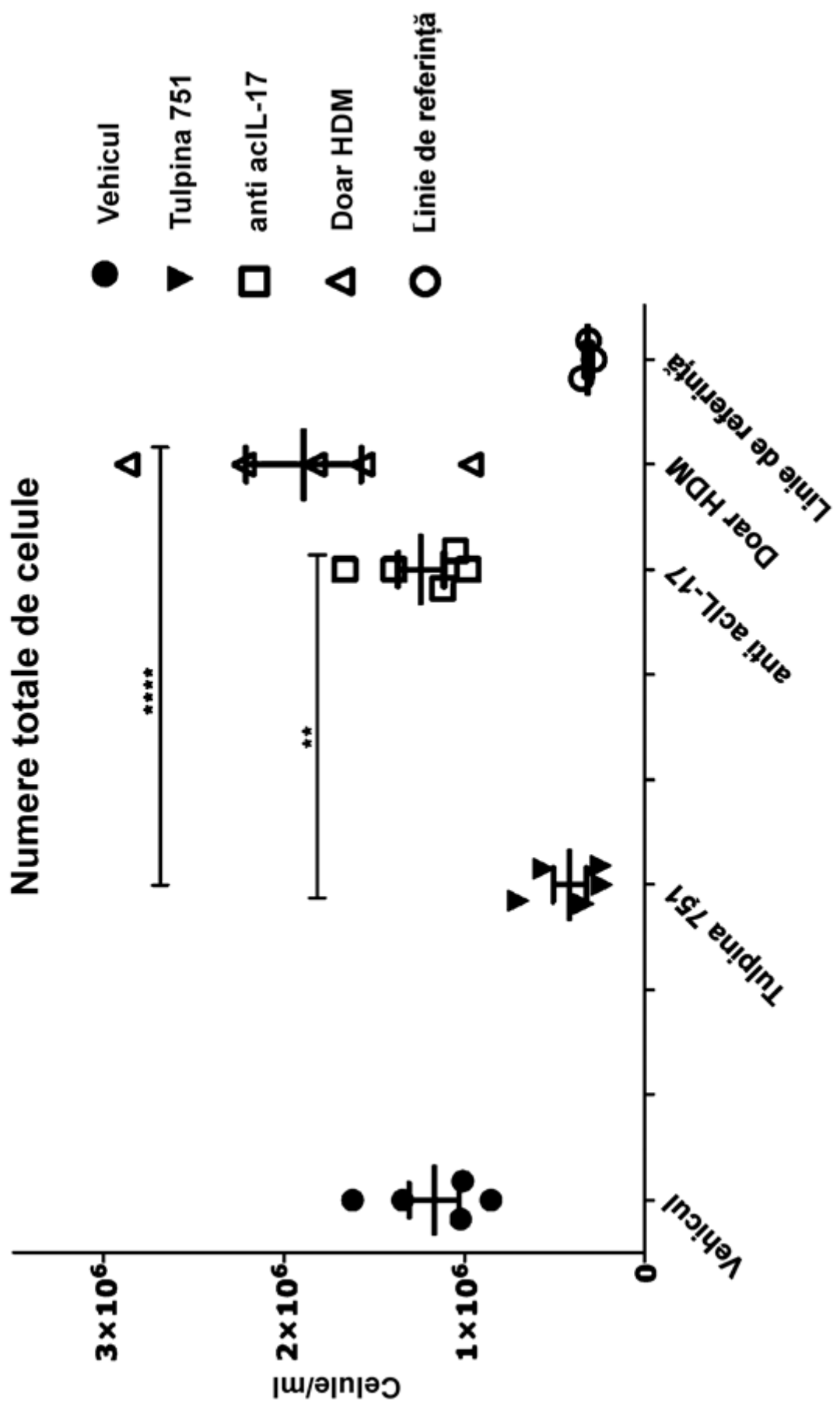


FIG. 11
Total leozinofile

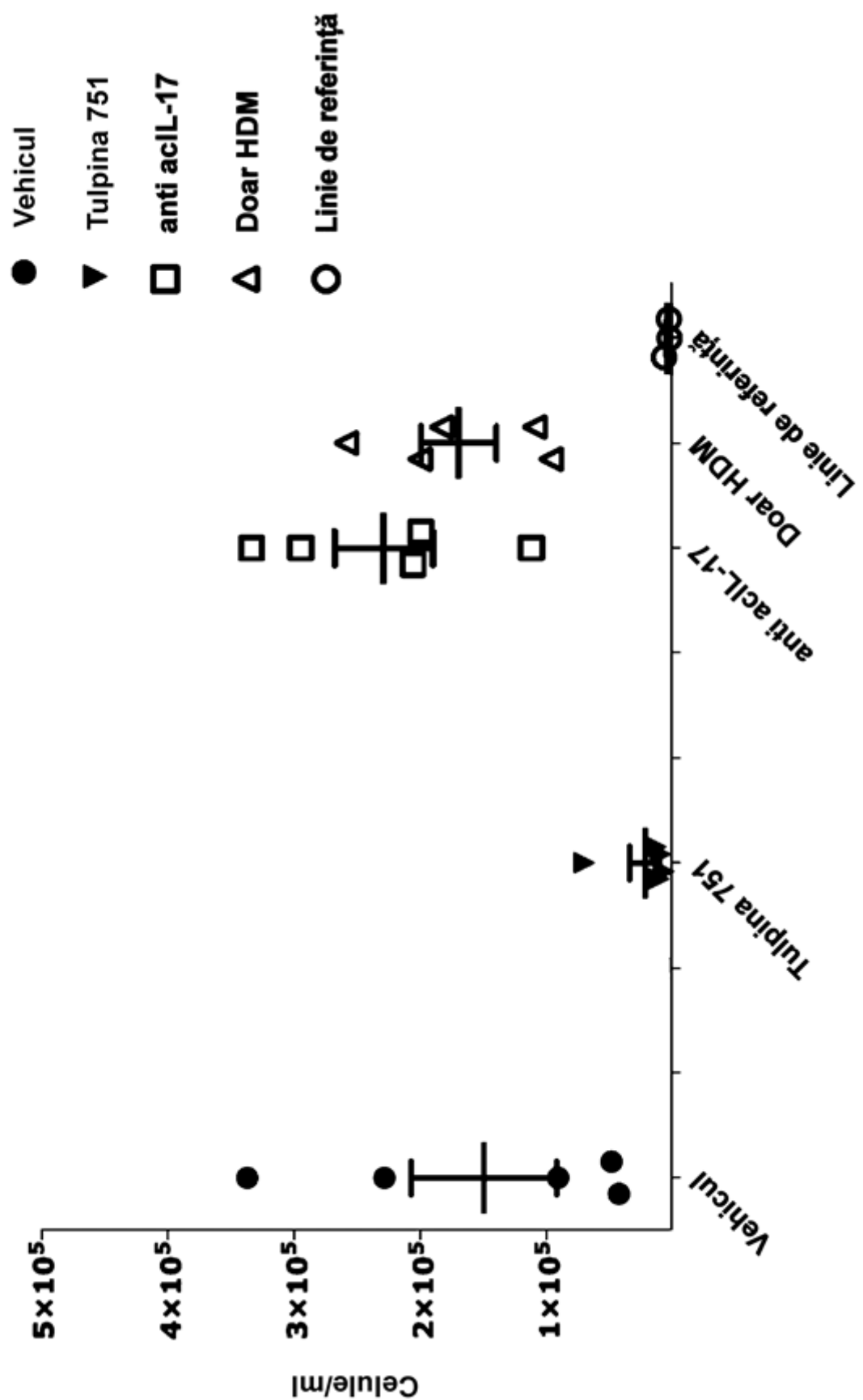


FIG. 12
Procent eozinofile

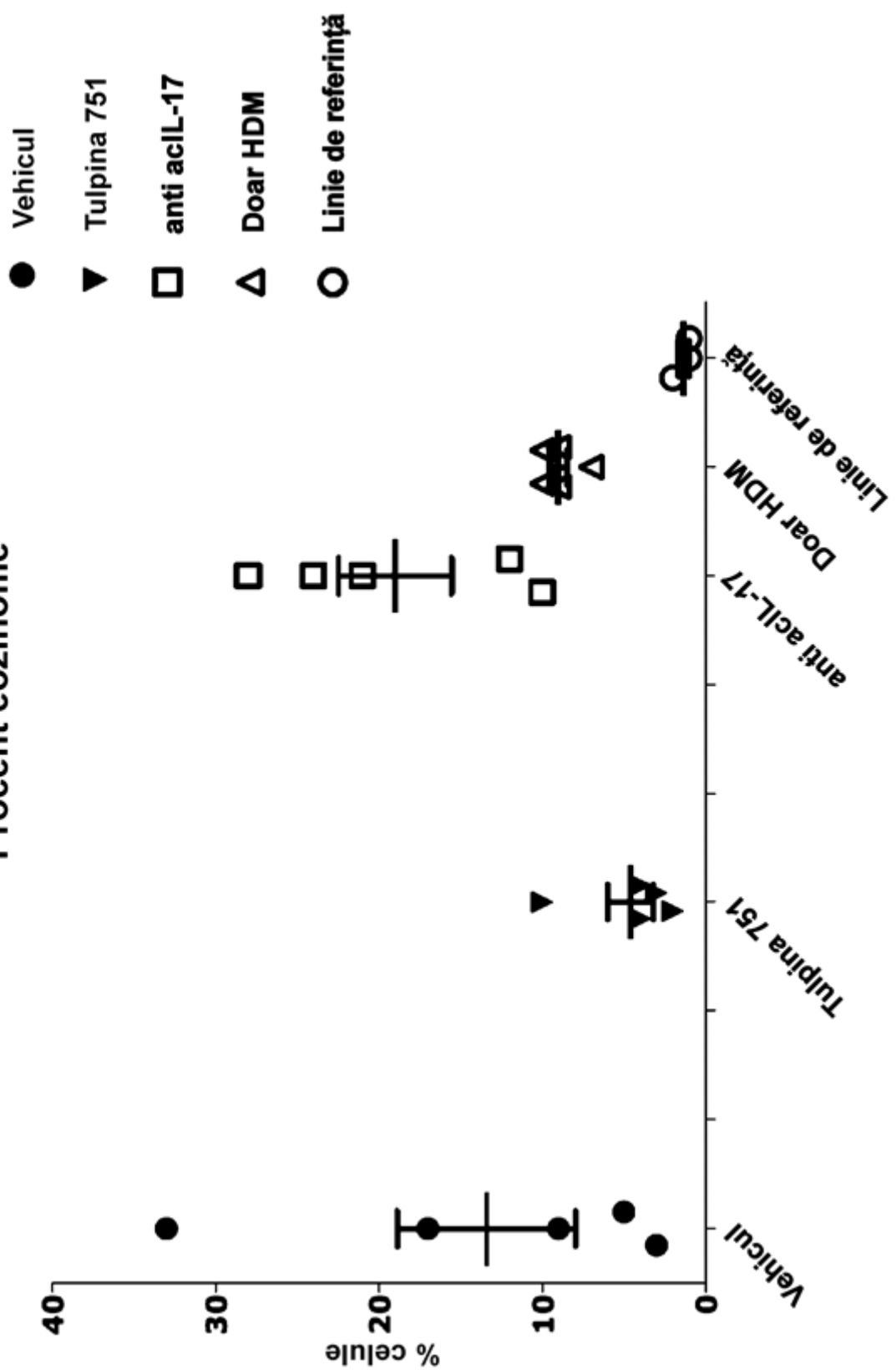


FIG. 13
Total macrofage

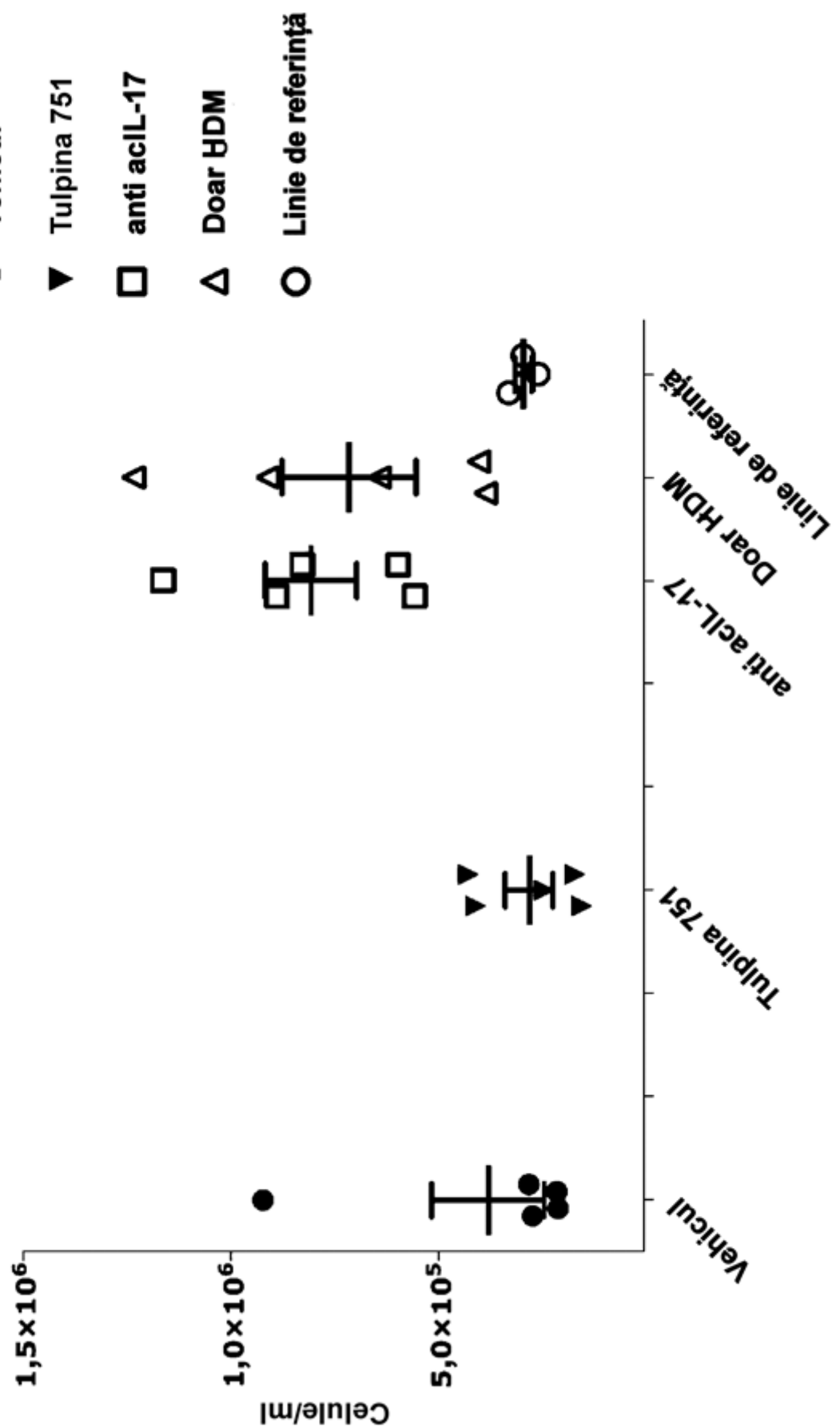


FIG. 14
Percent macrophage

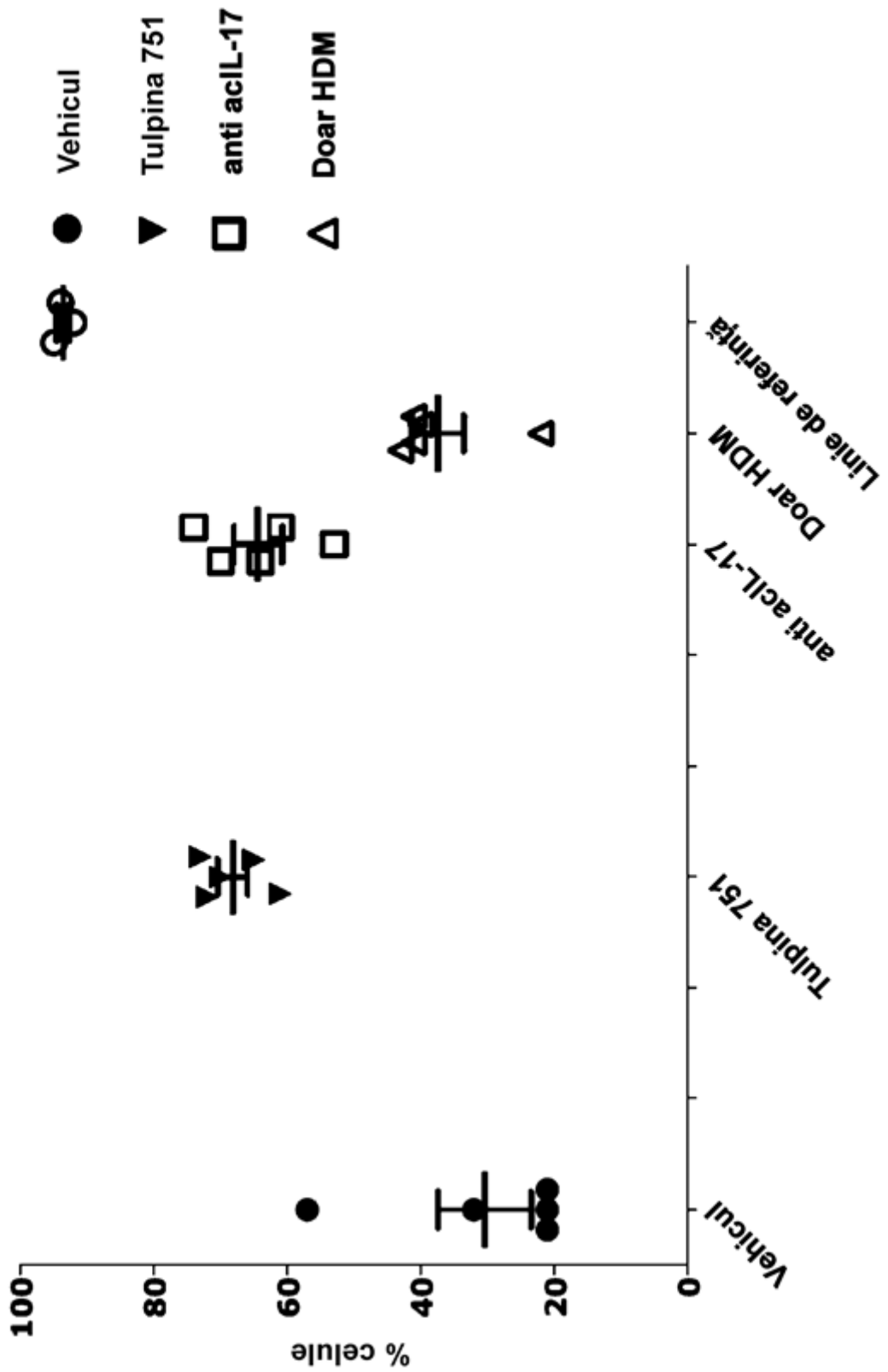


FIG. 15
Total neutrofile

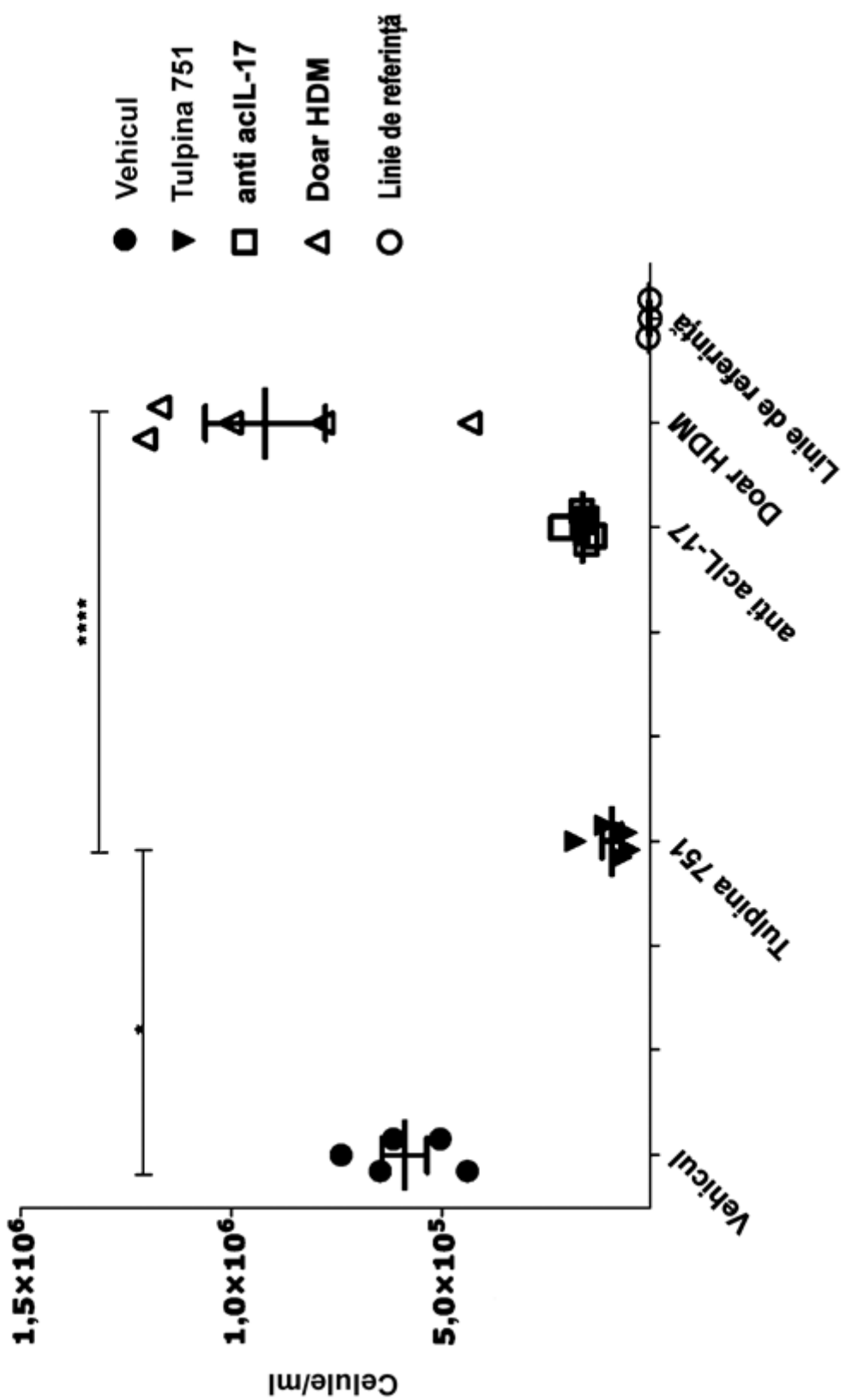


FIG. 16
Procent neutrofile

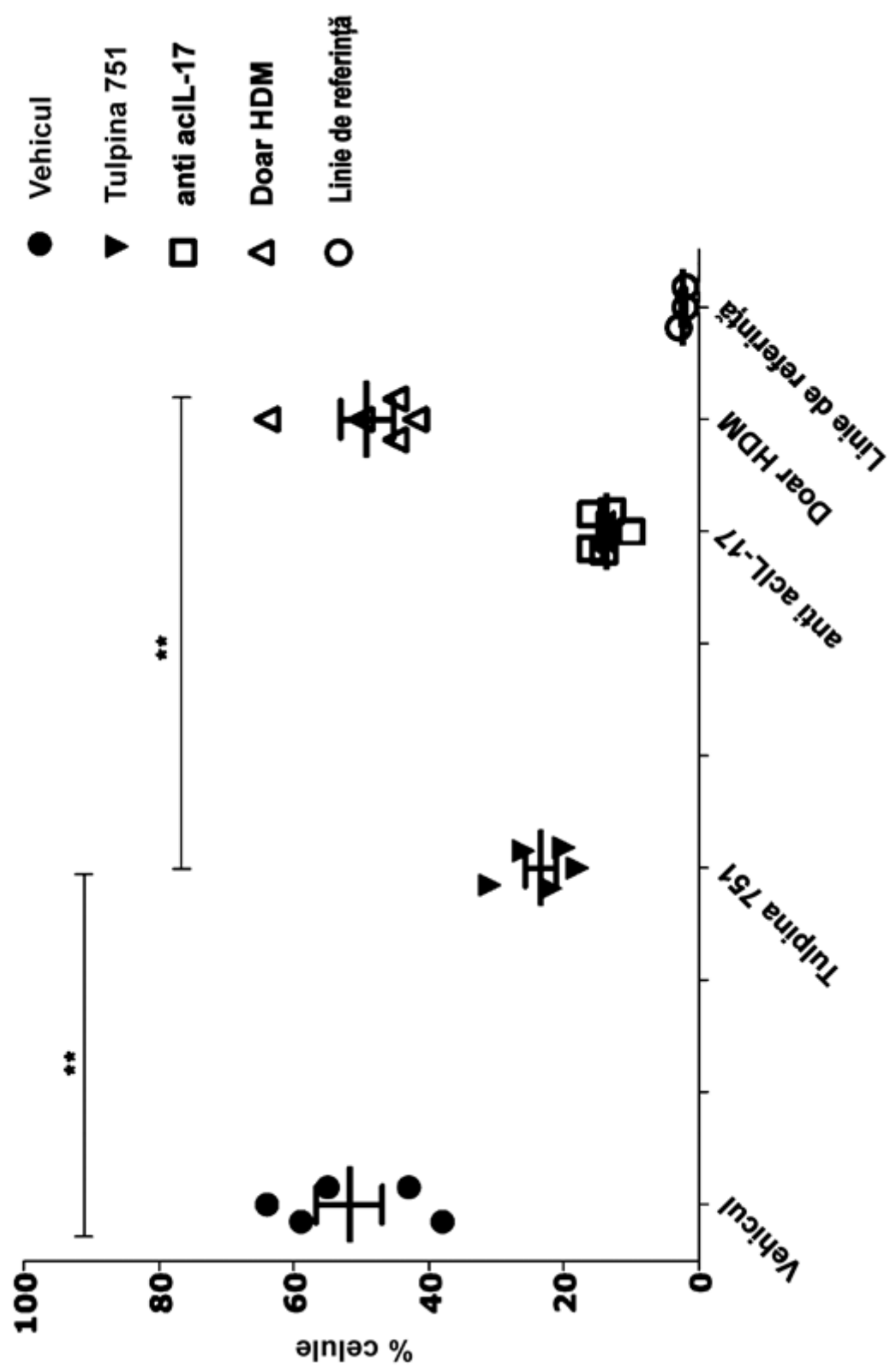


FIG. 17
Total limfocite

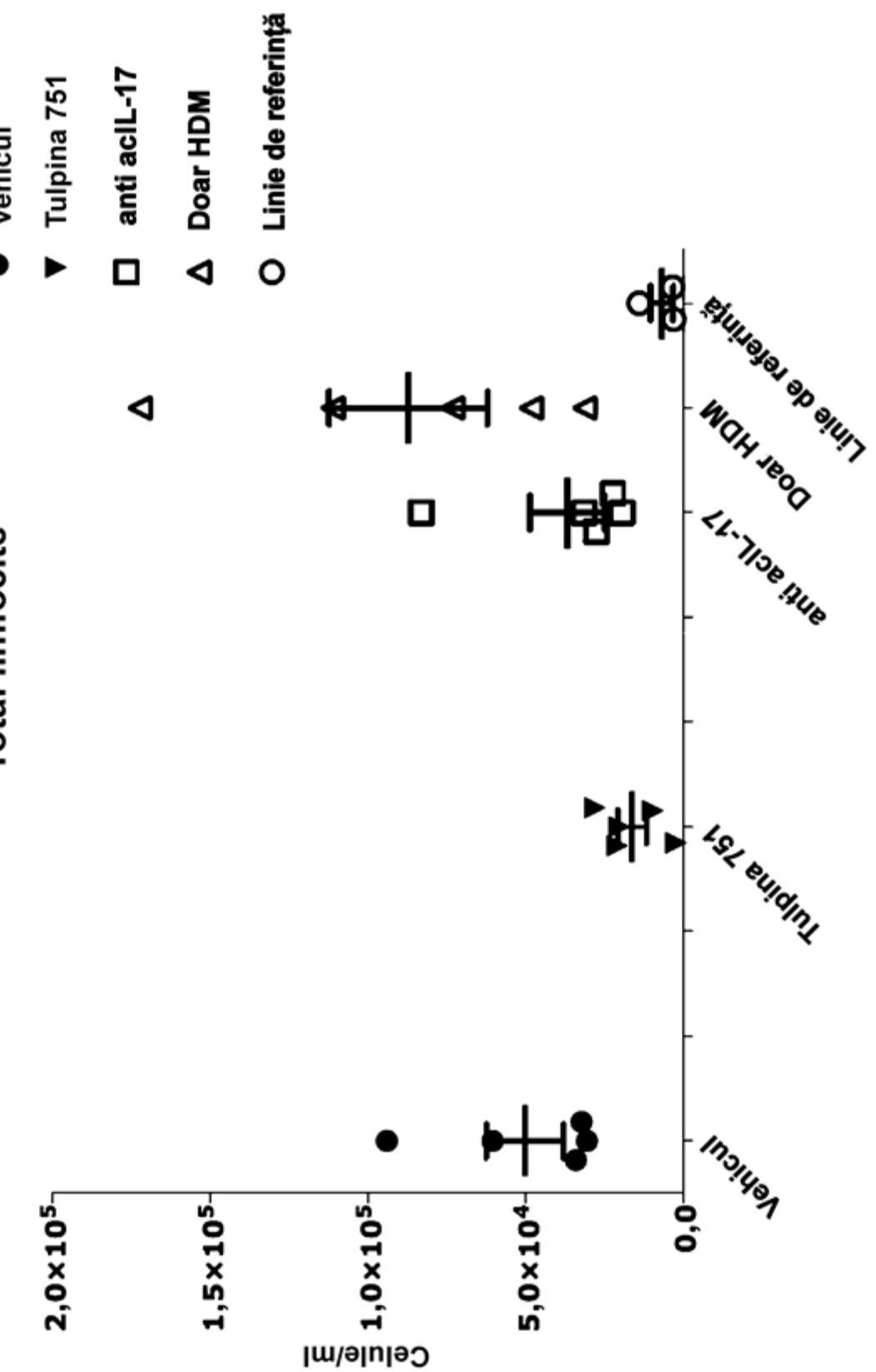


FIG. 18
Procent limfocite

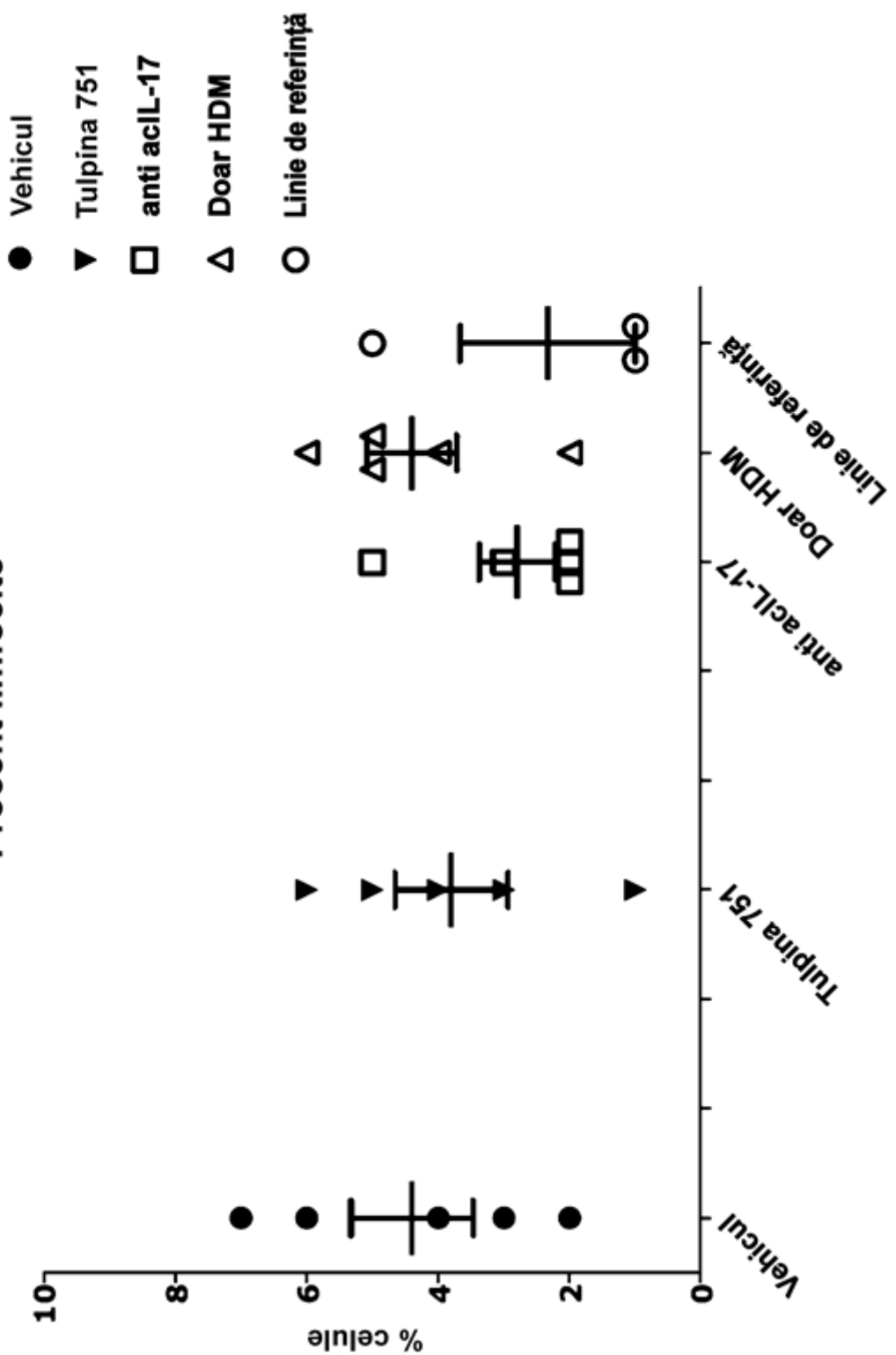


FIG. 19
Mase corporale

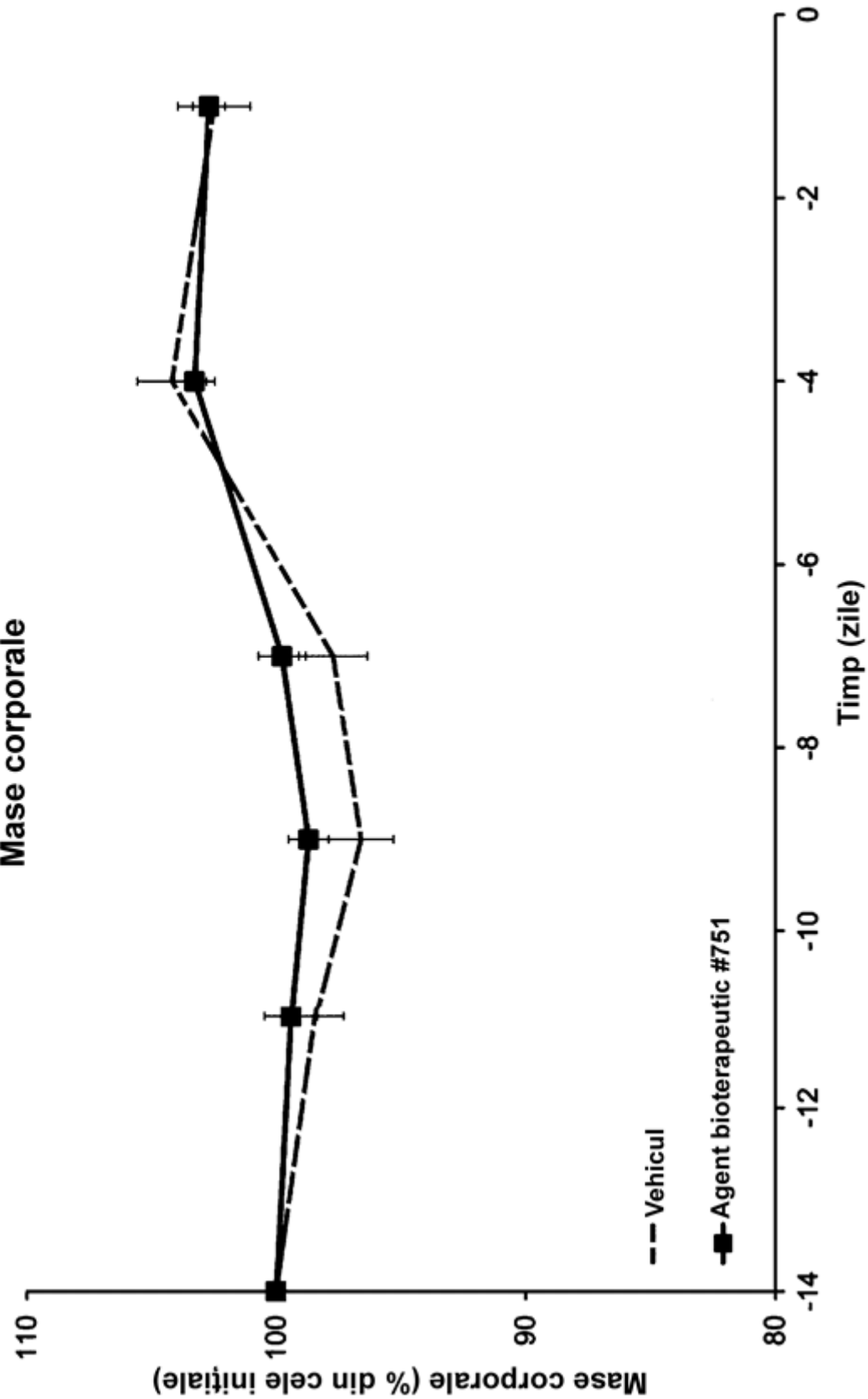


FIG. 20
Mase corporale

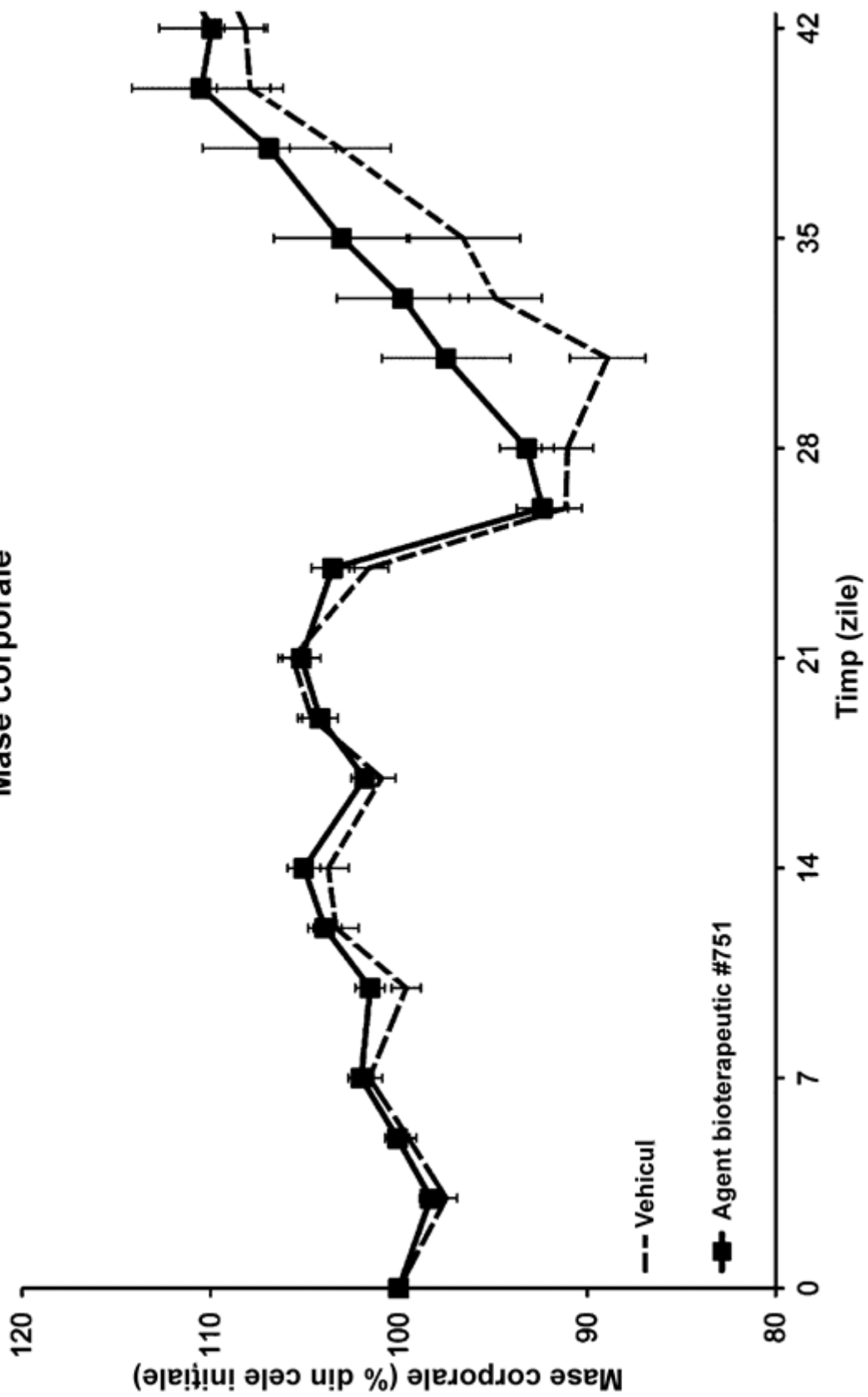
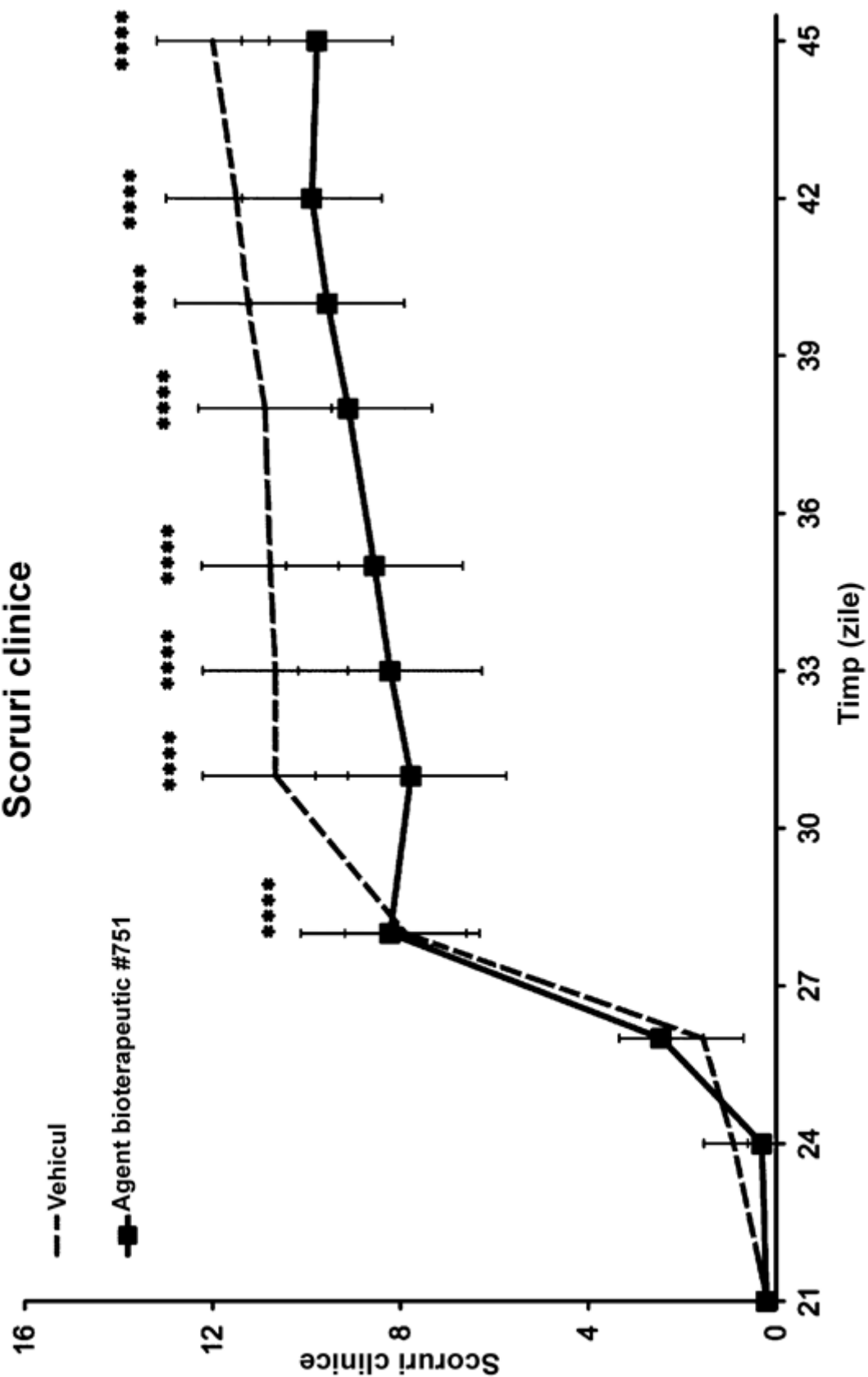
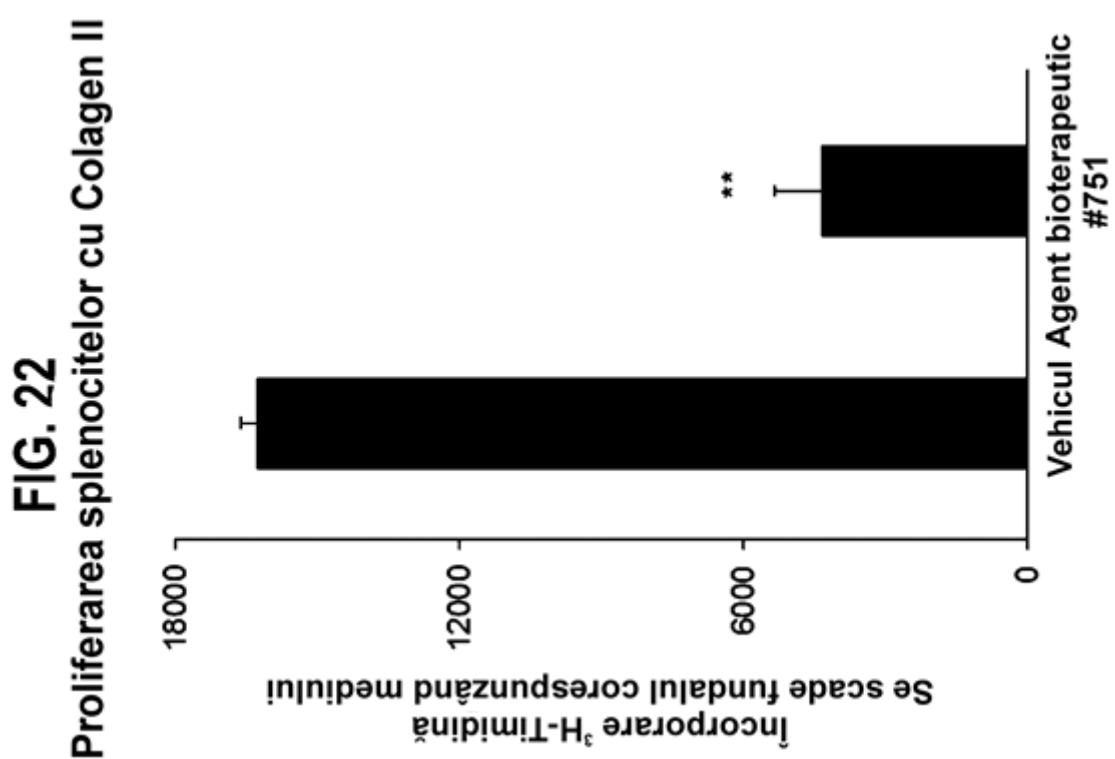


FIG. 21
Scoruri clinice





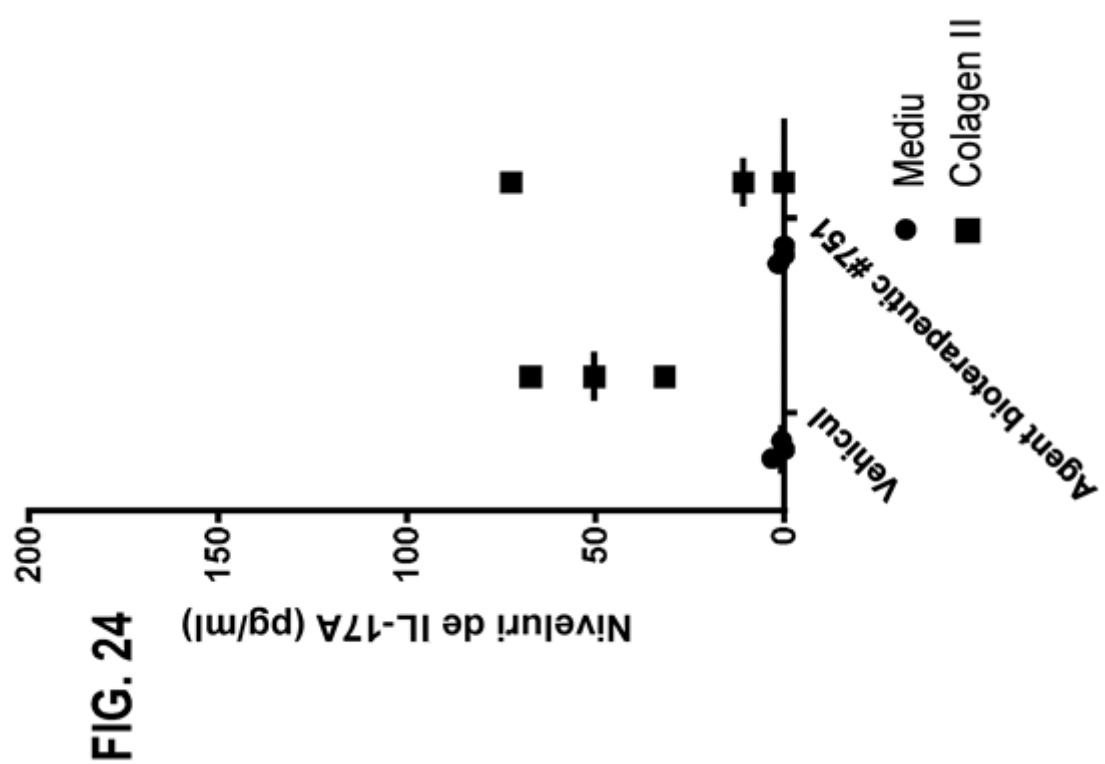


FIG. 25

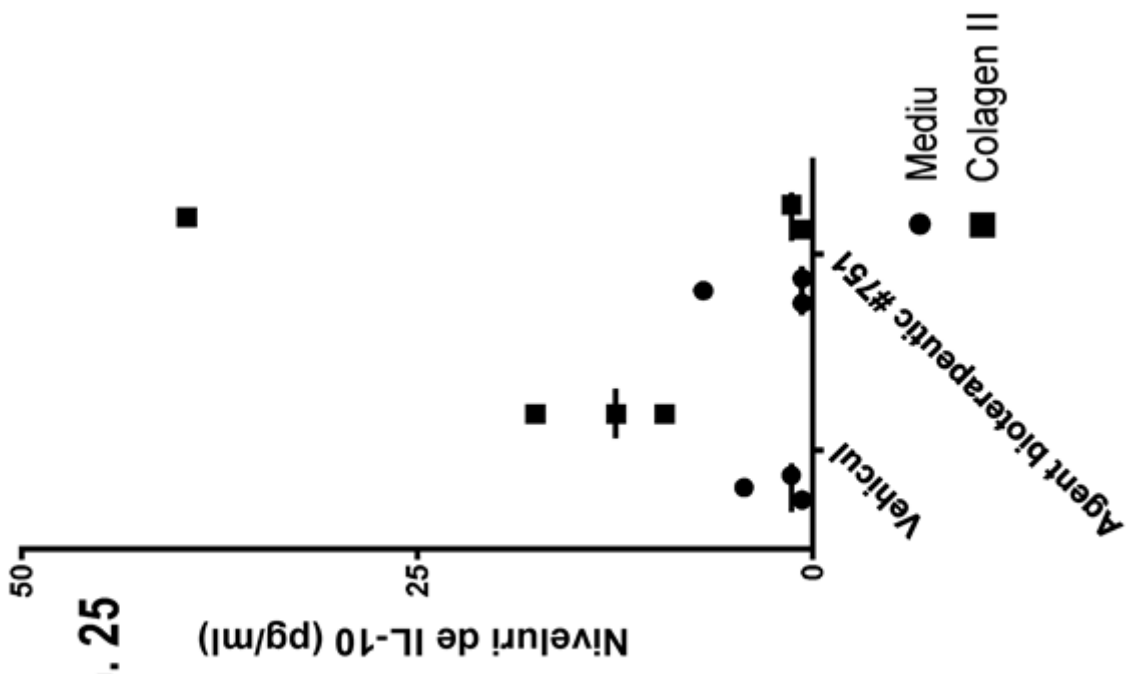


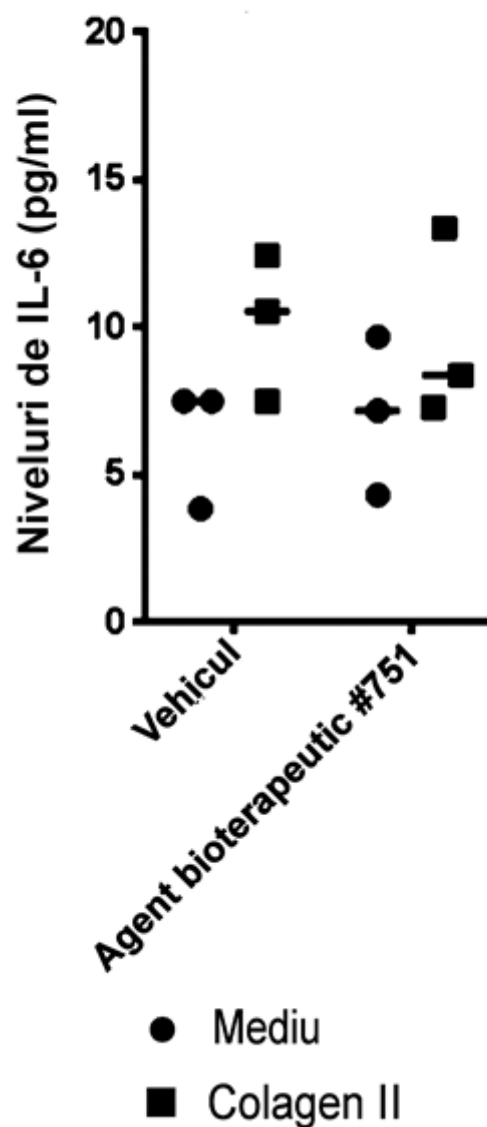
FIG. 26

FIG 27

Sistem de evaluare histopatologică

Grad	Descriere
Informație	
0	Articulație normală.
1	Hiperplazie sinovială ușoară cu inflamație dominată de neutrofile. Numere mici de neutrofile și macrofage în spațiul articular.
2	Hiperplazie sinovială moderată cu inflamație marcată implicând atât neutrofile cât și macrofage. Neutrofile și macrofage în spațiul articular; pot exista unele deșeuri tisulare necrotice.
3	Hiperplazie sinovială cu inflamație marcată implicând atât neutrofile cât și macrofage. Pierderi ale căptușelii de sinoviocite. Inflamația se poate extinde de la sinovium către țesutul înconjurător, inclusiv mușchiul. Numeroase neutrofile și macrofage în spațiul articular, împreună cu deșeuri tisulare necrotice semnificative.
Distrugerea cartilajului articular	
0	Articulație normală.
1	Cartilajul articular prezintă o ușoară schimbare degenerativă. Formarea timpurie de pannus poate fi prezentă periferic.
2	Cartilajul articular prezintă schimbare degenerativă moderată și pierdere focală. Formarea de pannus este prezentă focal.
3	Întrerupere și pierdere semnificativă a cartilajului.
Distrugerea osului metafizeal de bază	
0	Articulație normală.
1	Fără schimbare a osului metafizeal.
2	Poate exista necroză focală sau fibroză a osului metafizeal.
3	Întrerupere sau colaps al osului metafizeal. Inflamație, necroză sau fibroză extensive care se extind în spațiul medular al metafizei.

FIG. 28
Total IgE în ser

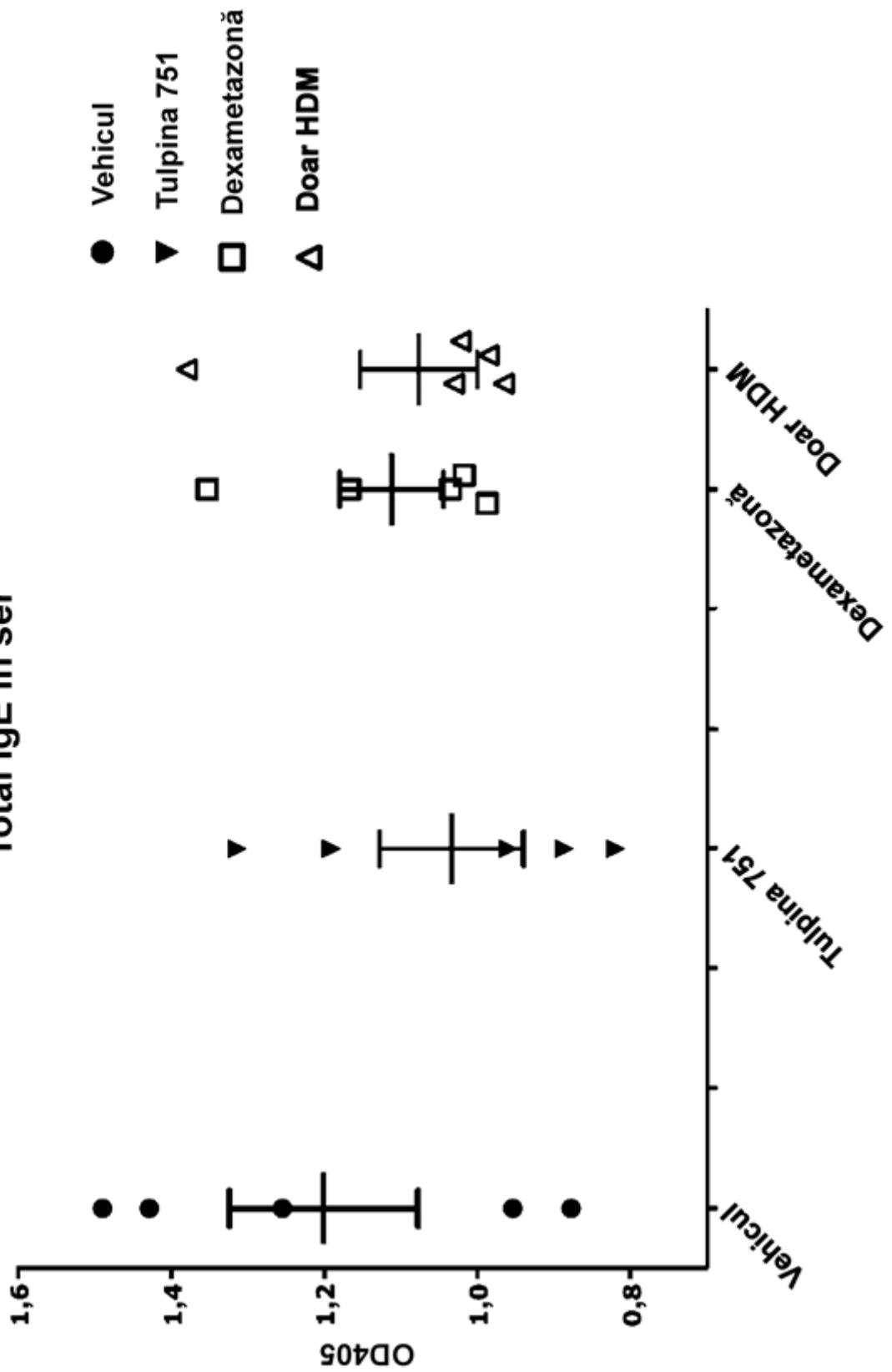


FIG. 29
IgG1 specifice HDM în ser

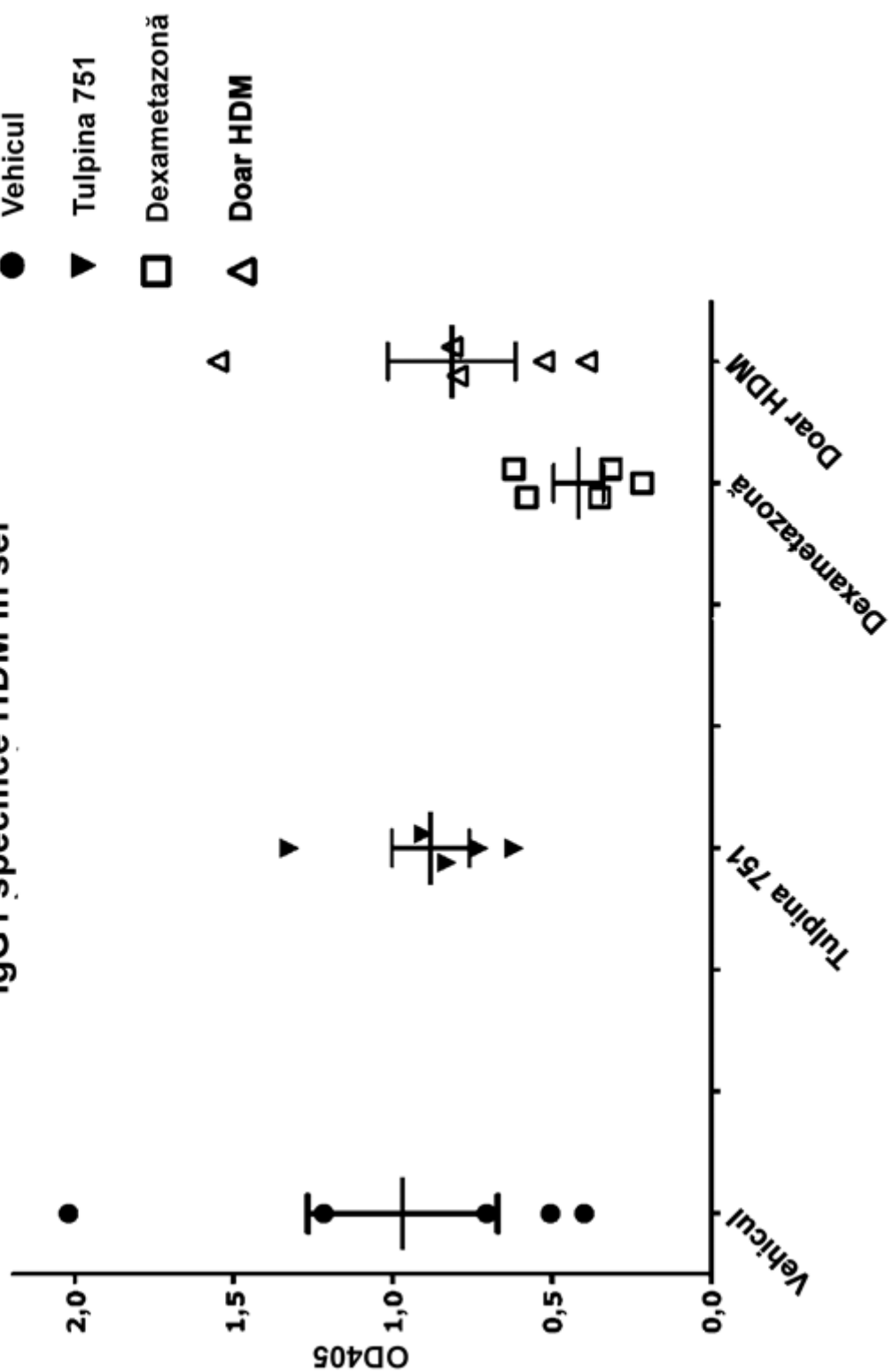


FIG. 30
Total IgE în BALF

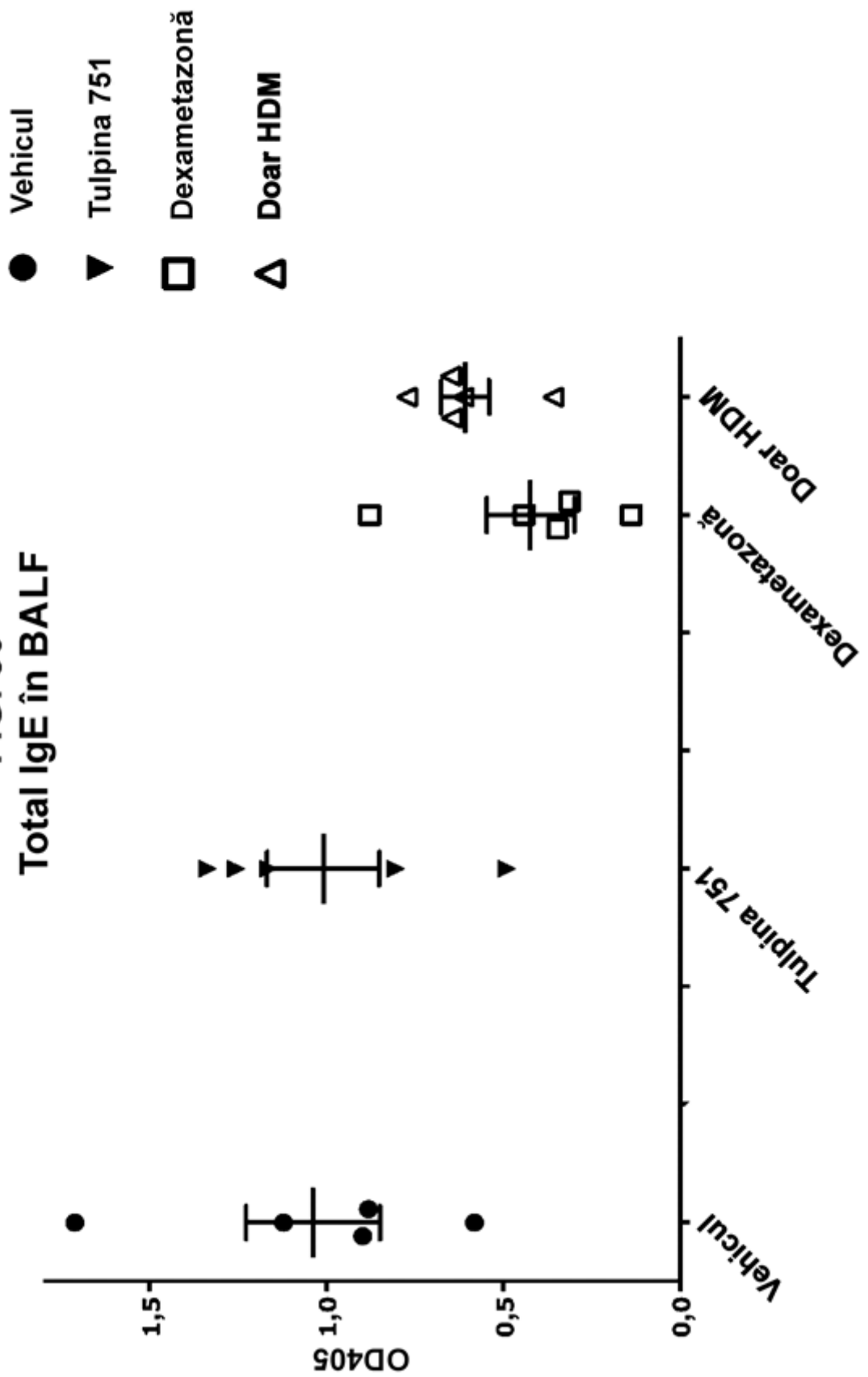


FIG. 31
IgG1 specifică HDM în BALF

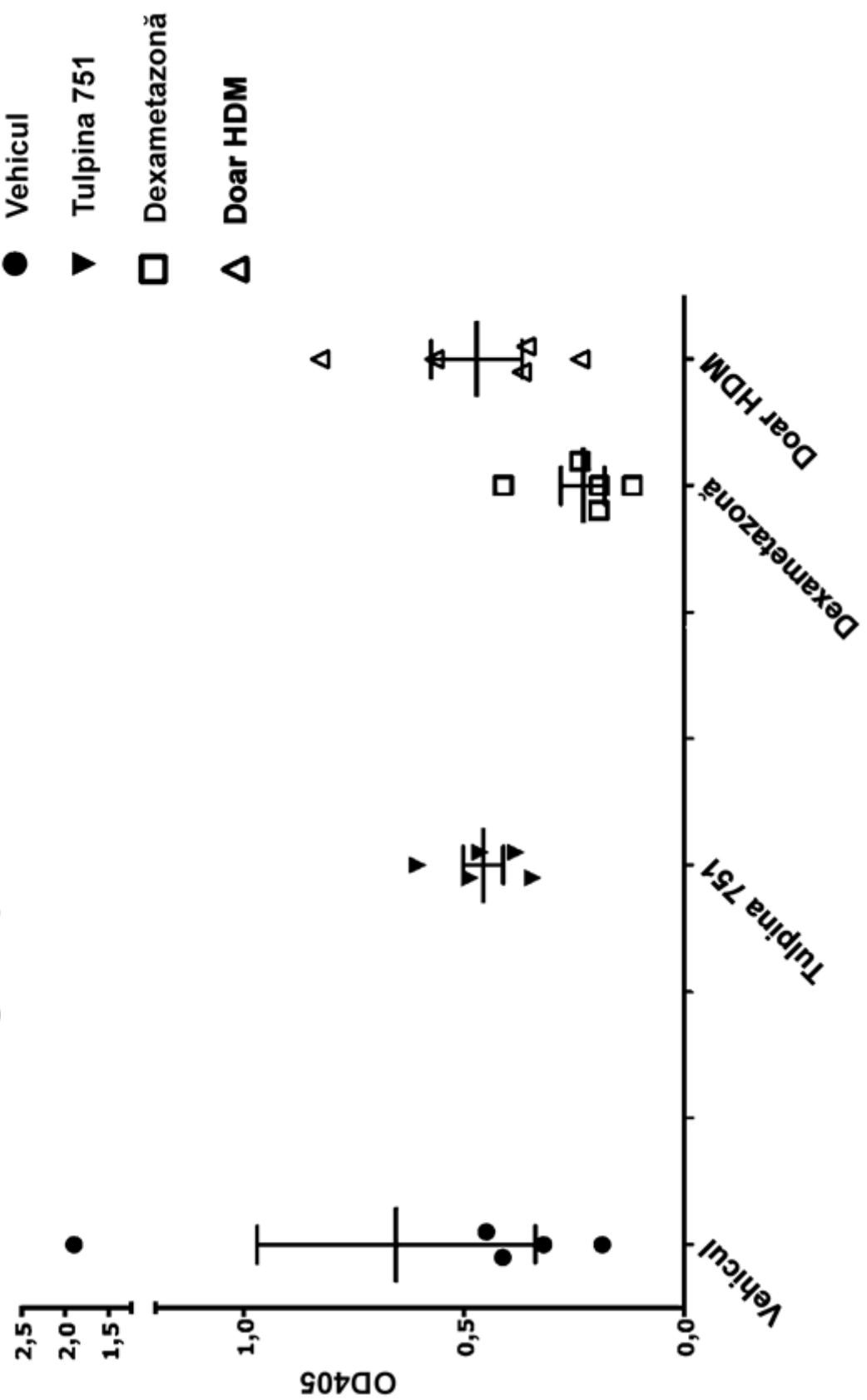


FIG. 32 Analiza histologică - scor mediu de infiltare peribrohiolară

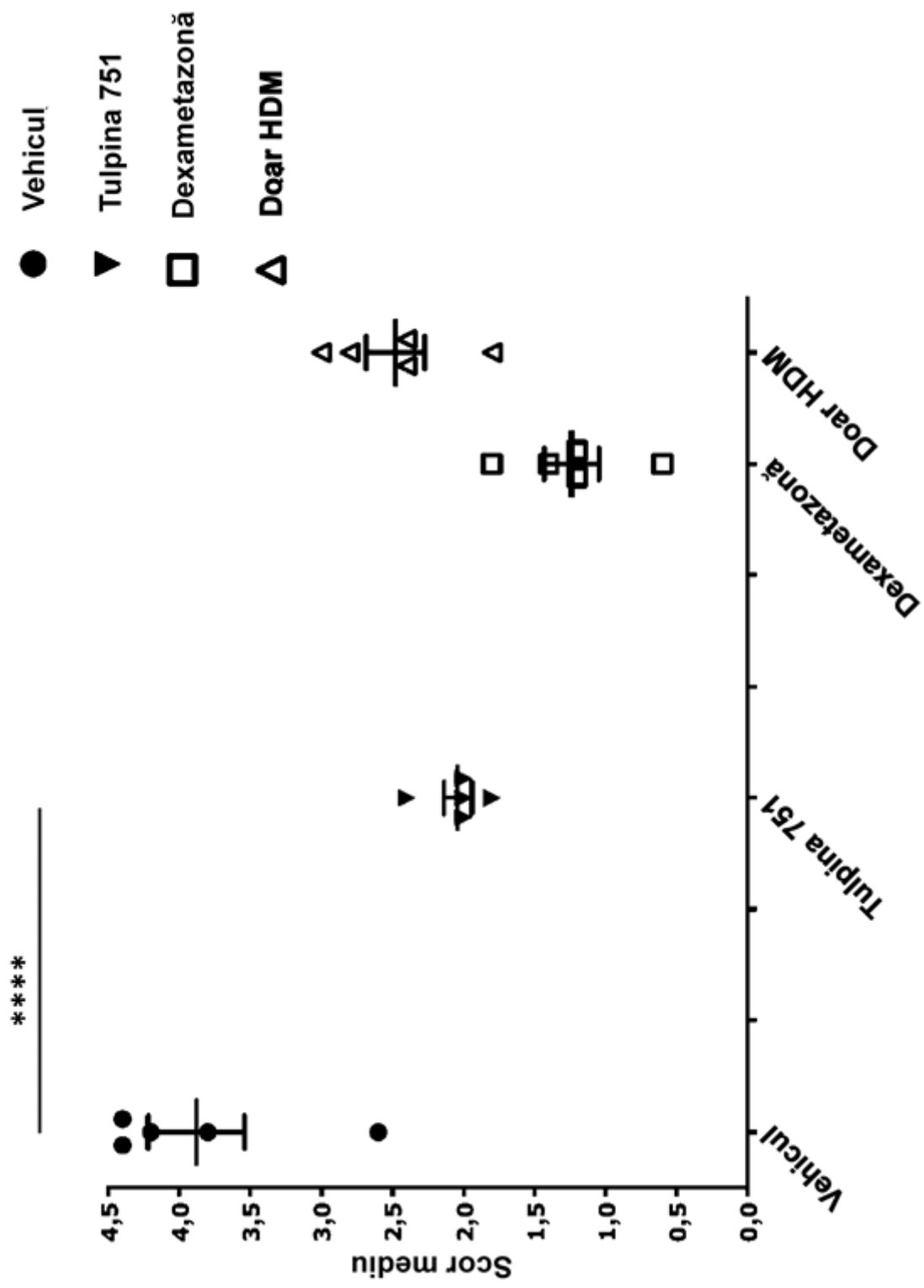


FIG. 33
Analiza histologică - scor mediu de infiltare perivasculară

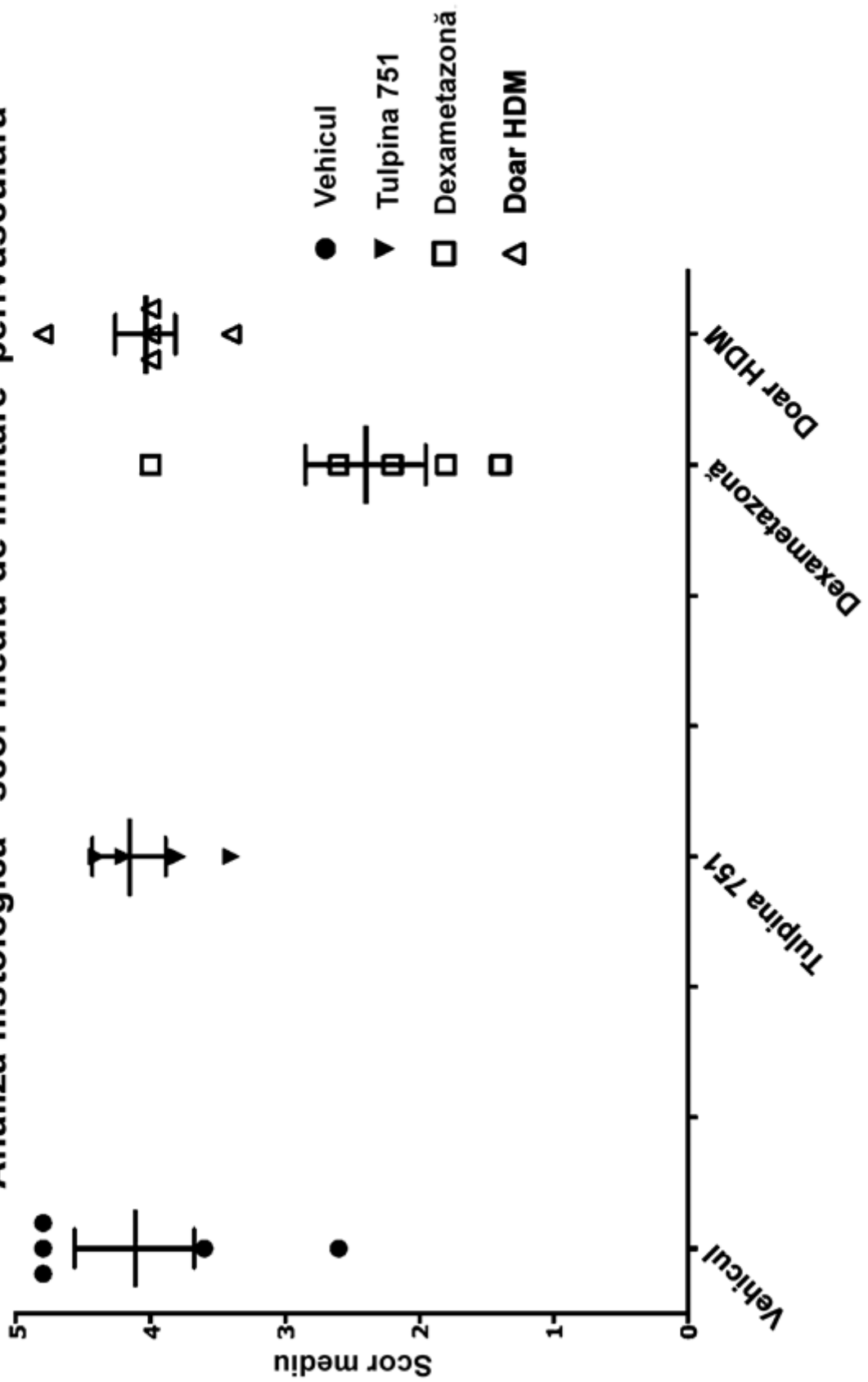


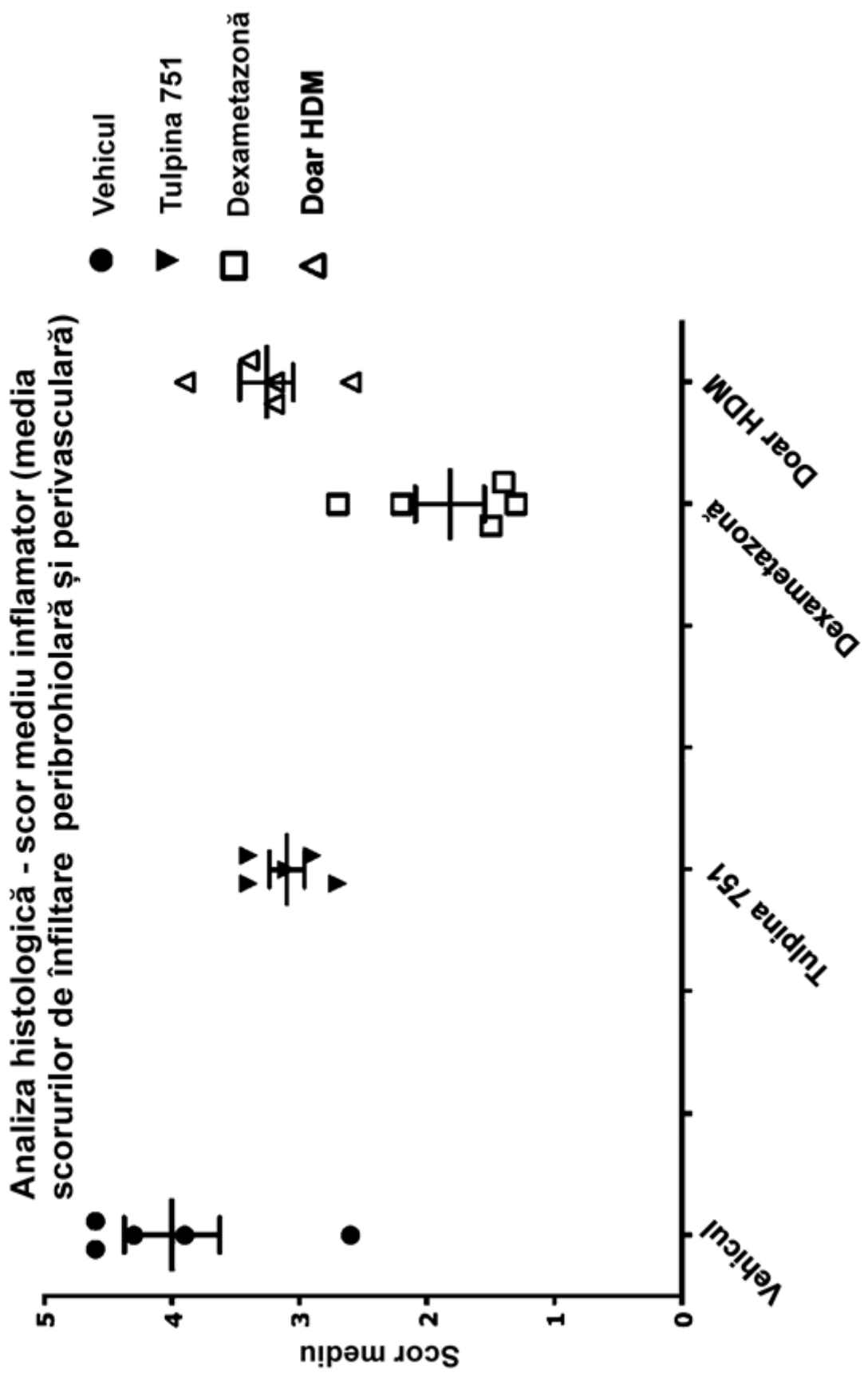
FIG. 34

FIG. 35
Analiza histologică - scorul mucusului

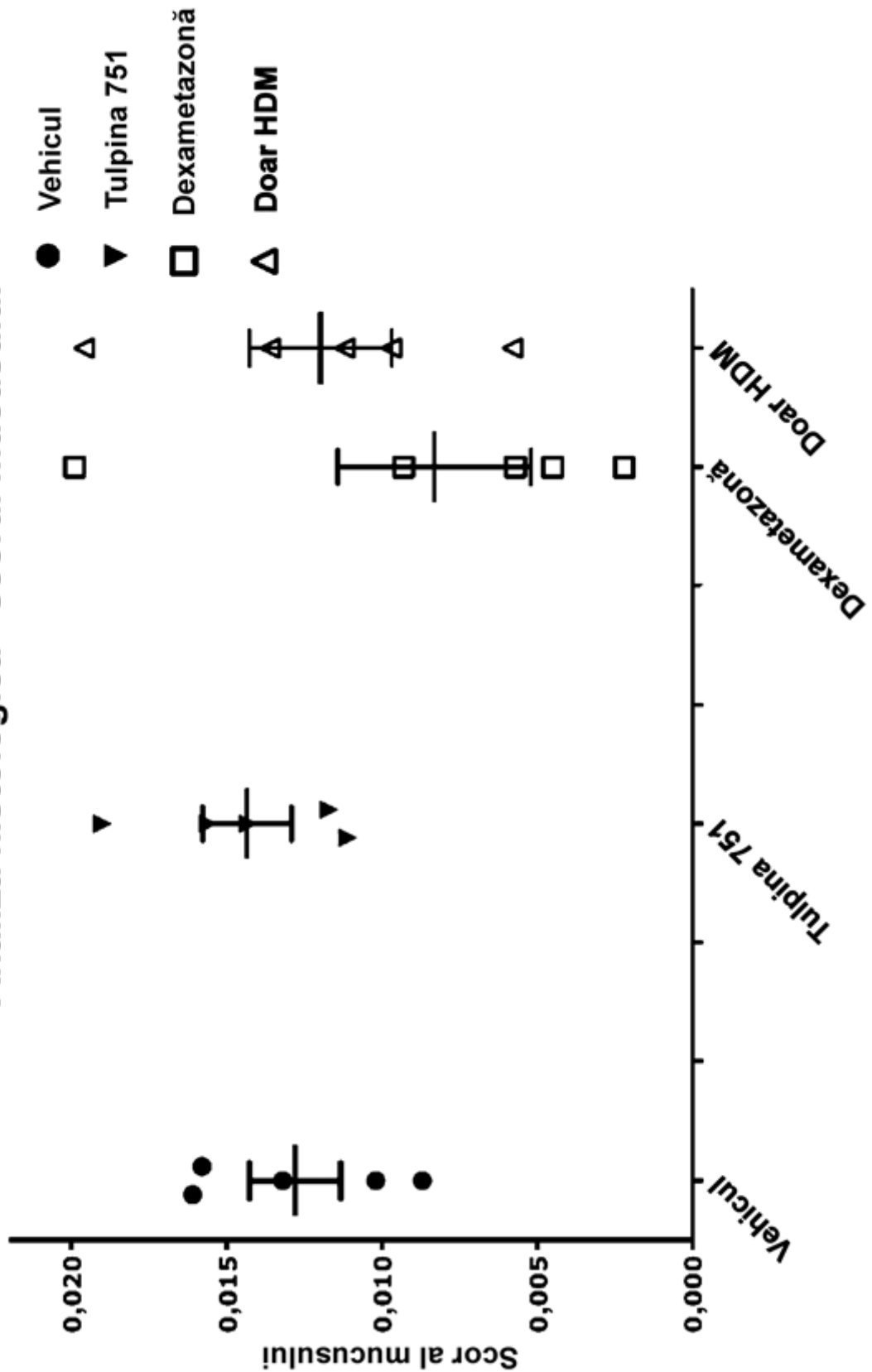


FIG. 36
Nivelul IL-9 în ţesutul pulmonar

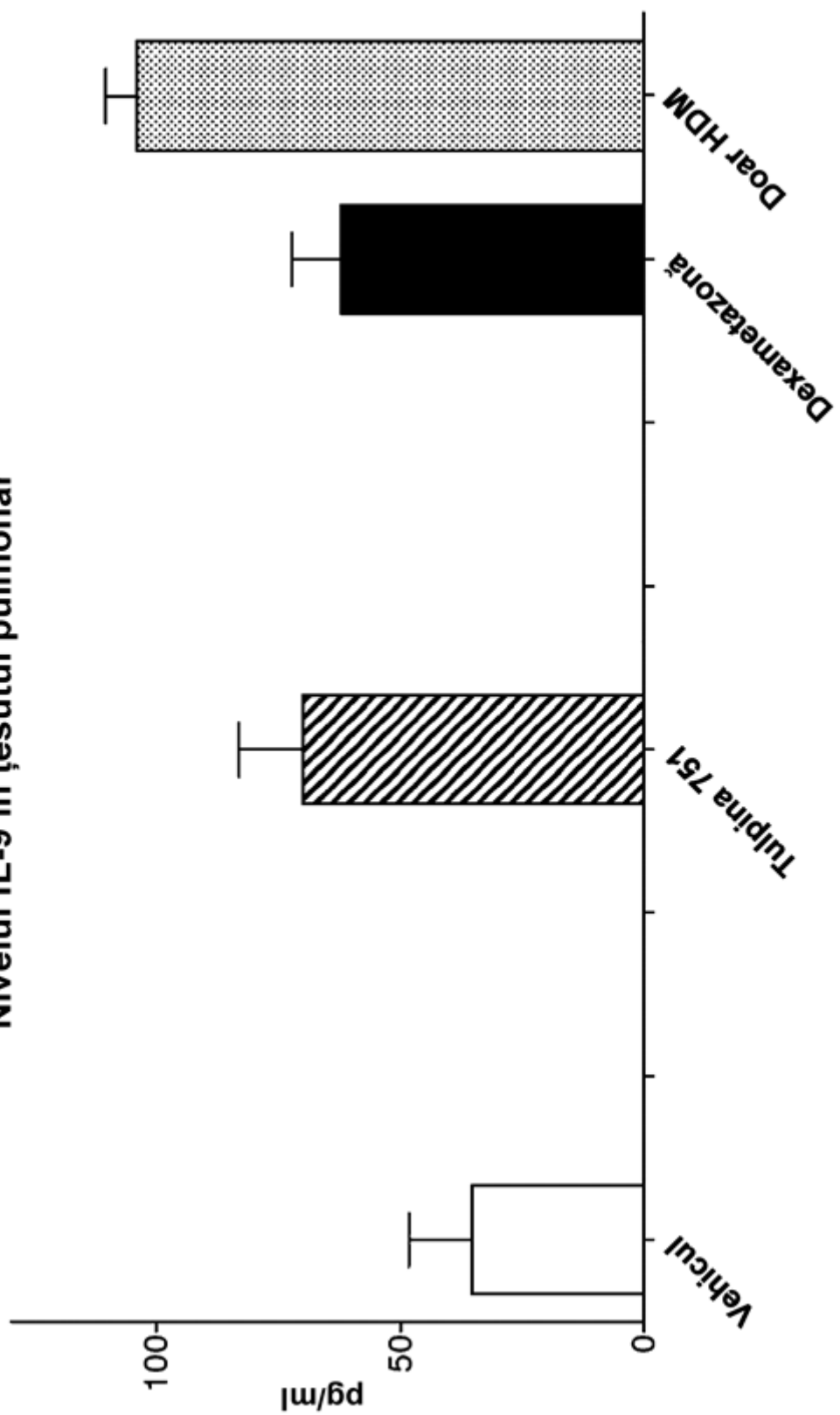


FIG. 37
Nivelul IL-1 α în ţesutul pulmonar

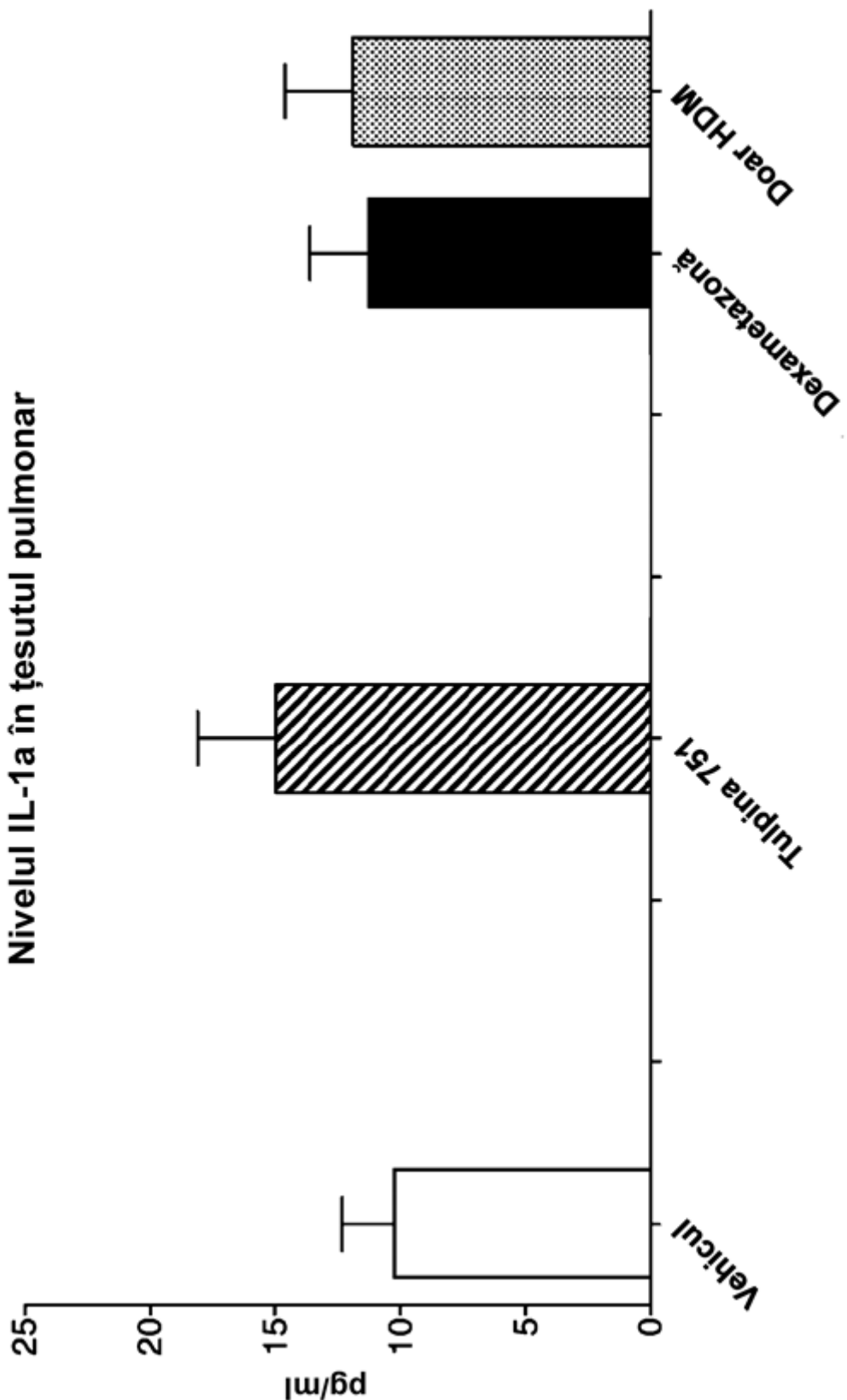


FIG. 38
Nivelul IFNg în ţesutul pulmonar

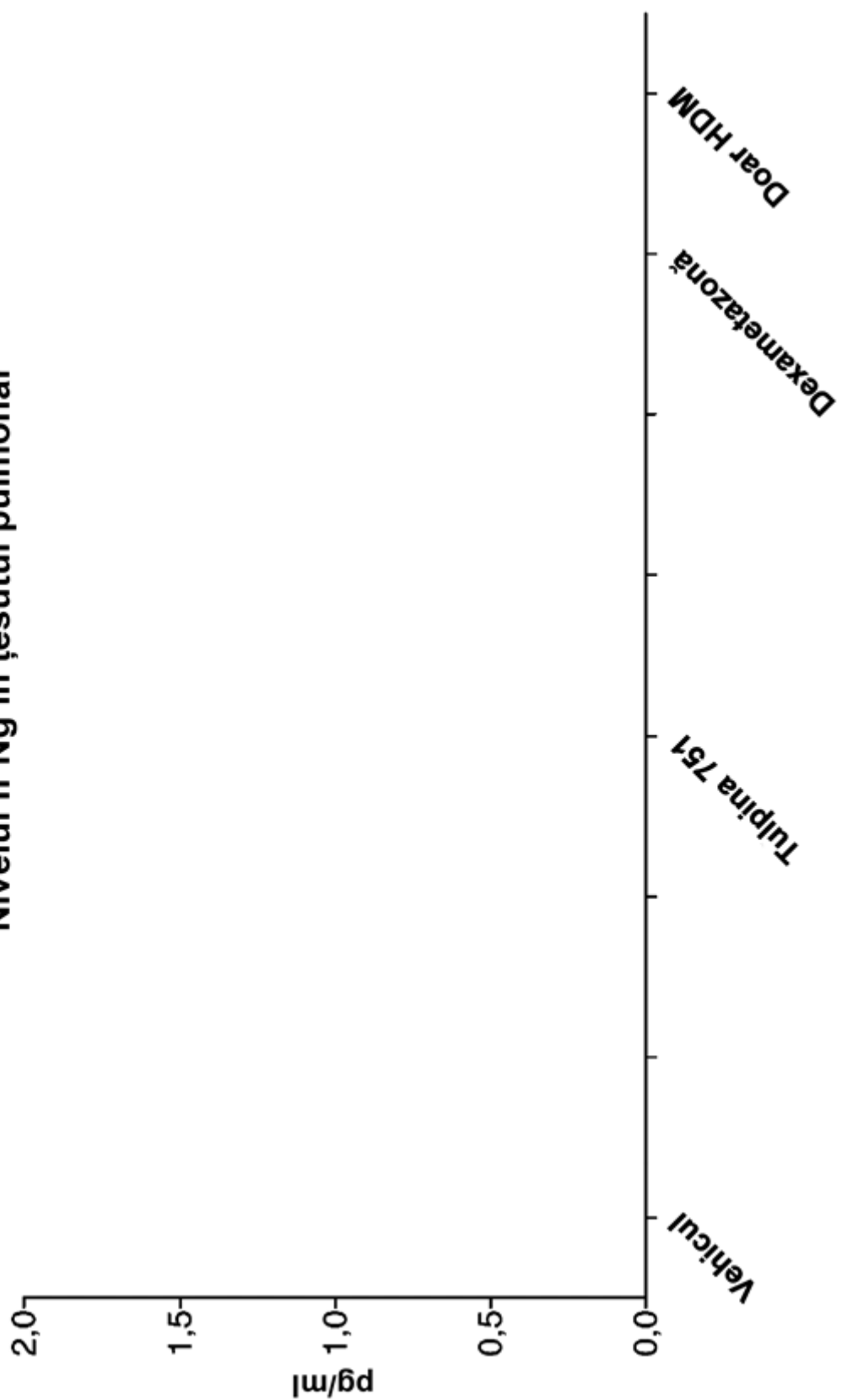


FIG. 39
Nivelul IL-17A în ţesutul pulmonar

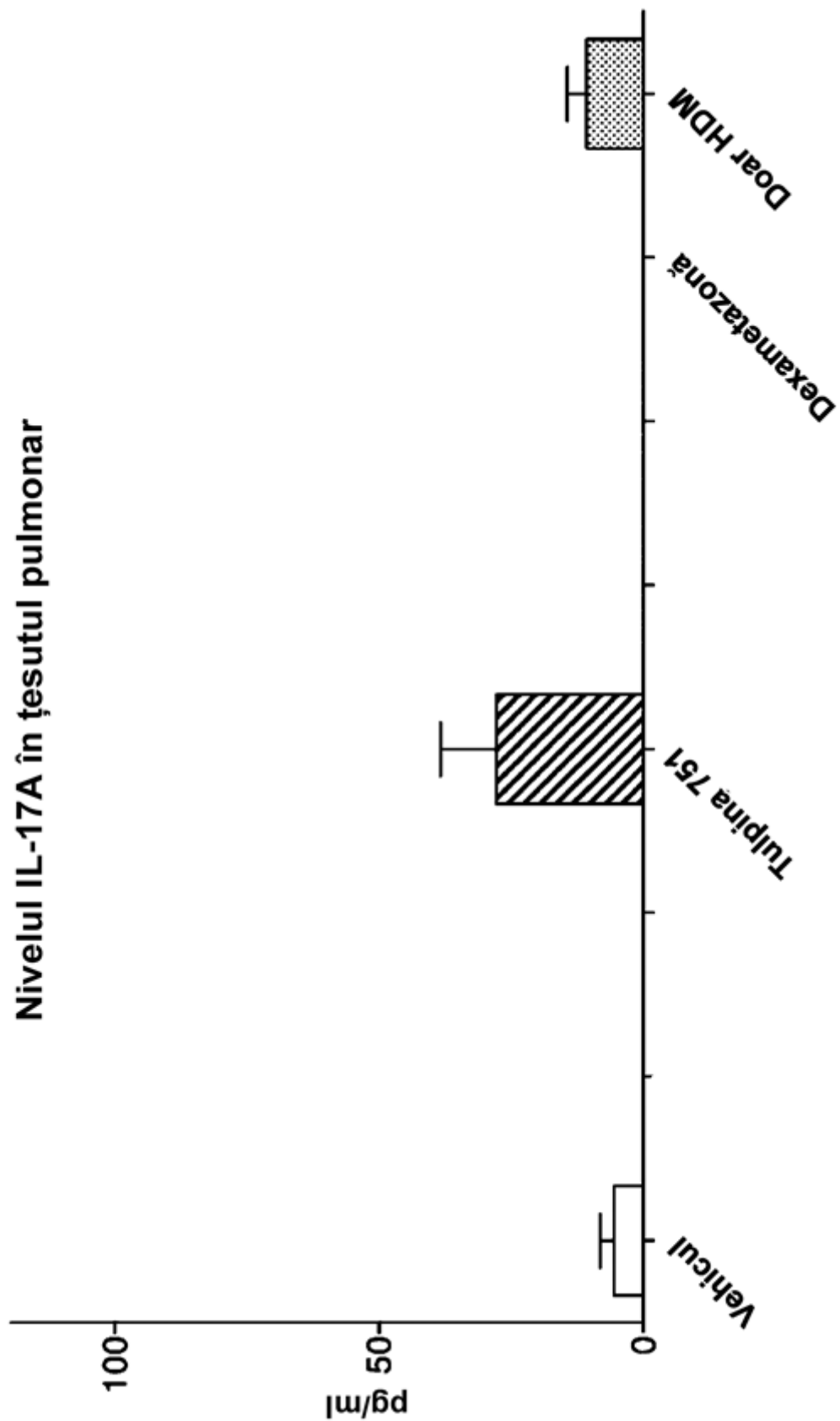


FIG. 40
Nivelul IL-4 în ţesutul pulmonar

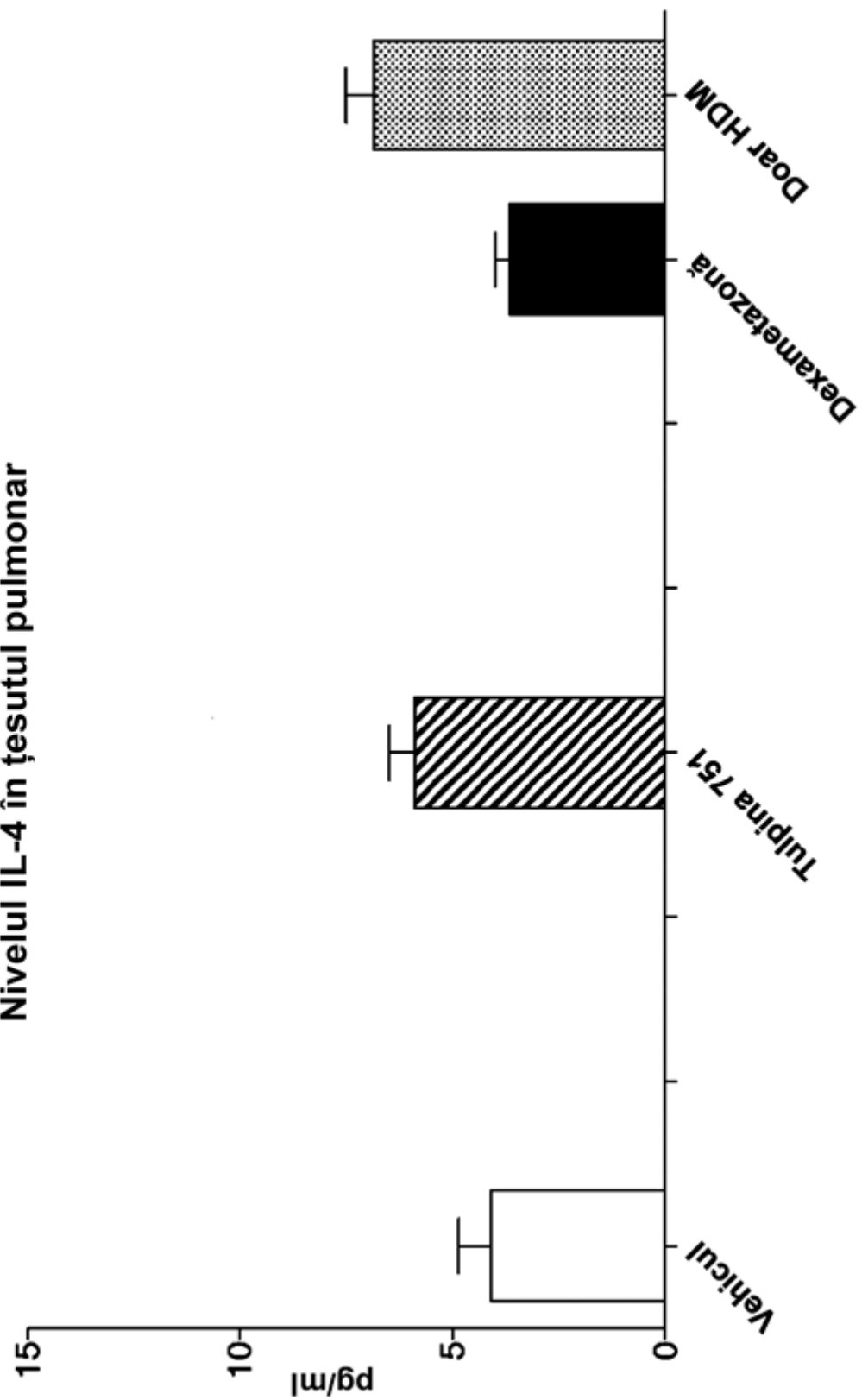


FIG. 41
Nivelul IL-5 în ţesutul pulmonar

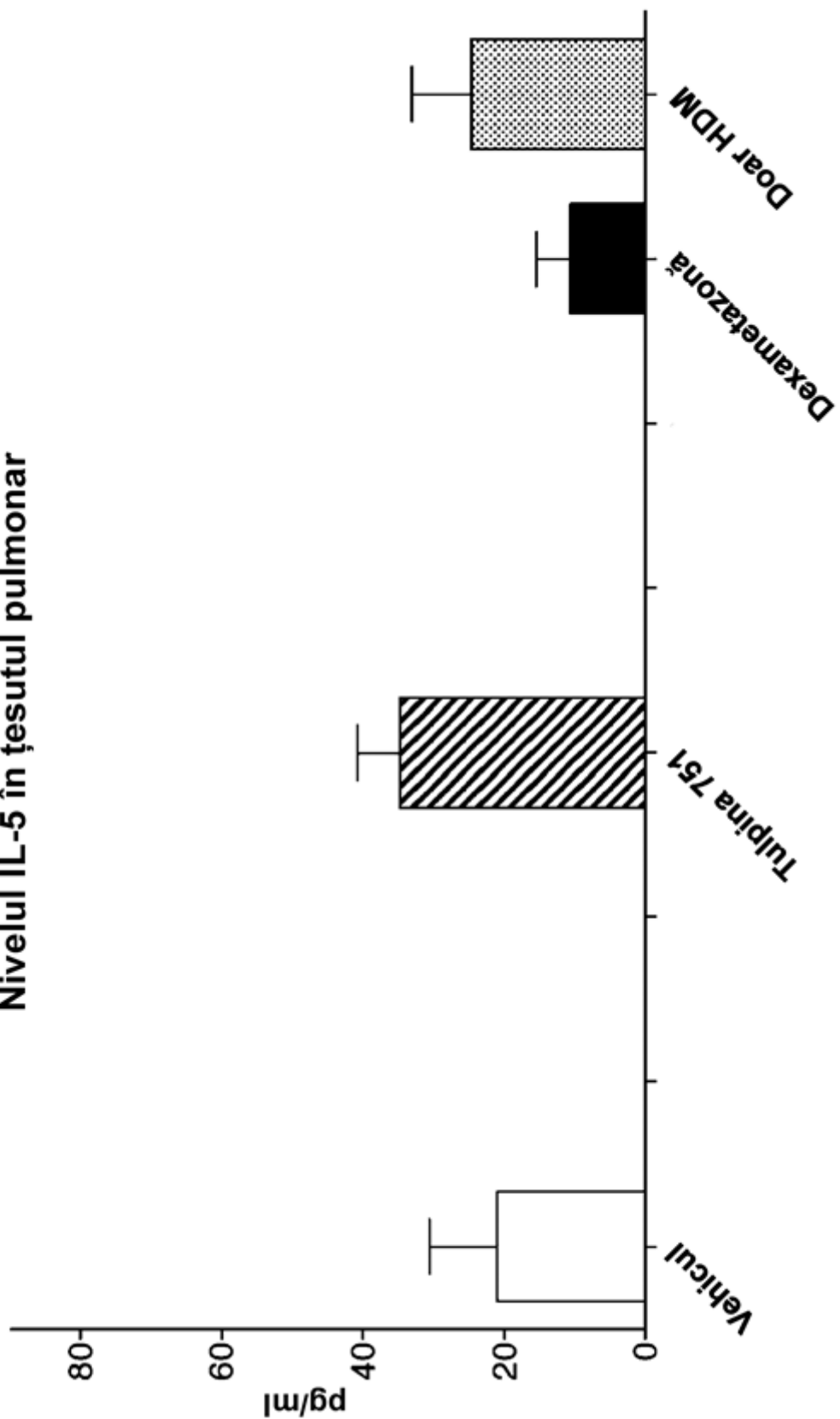


FIG. 42
Nivelul IL-1b în ţesutul pulmonar

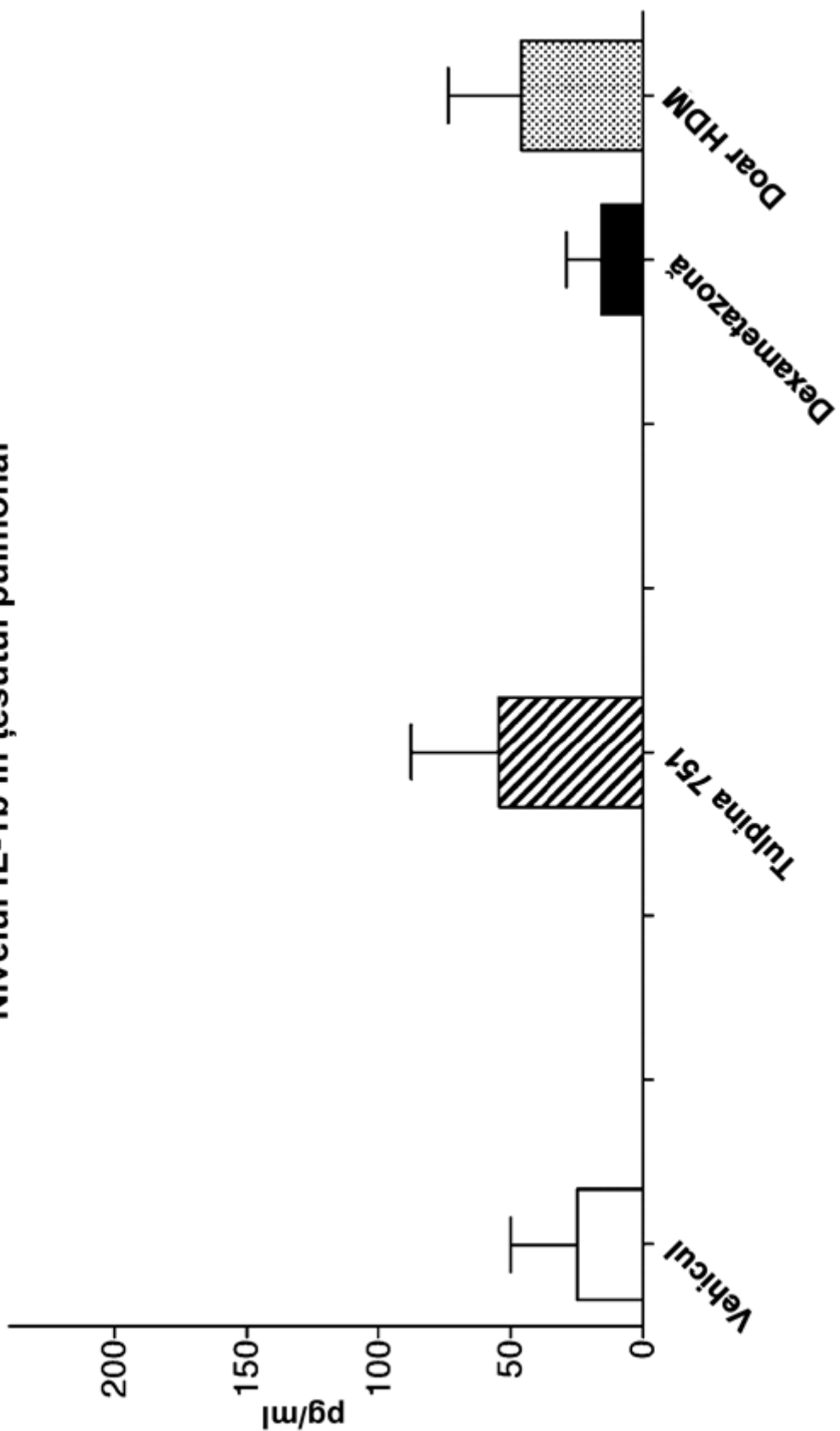


FIG. 43
Nivelul RANTES în ţesutul pulmonar

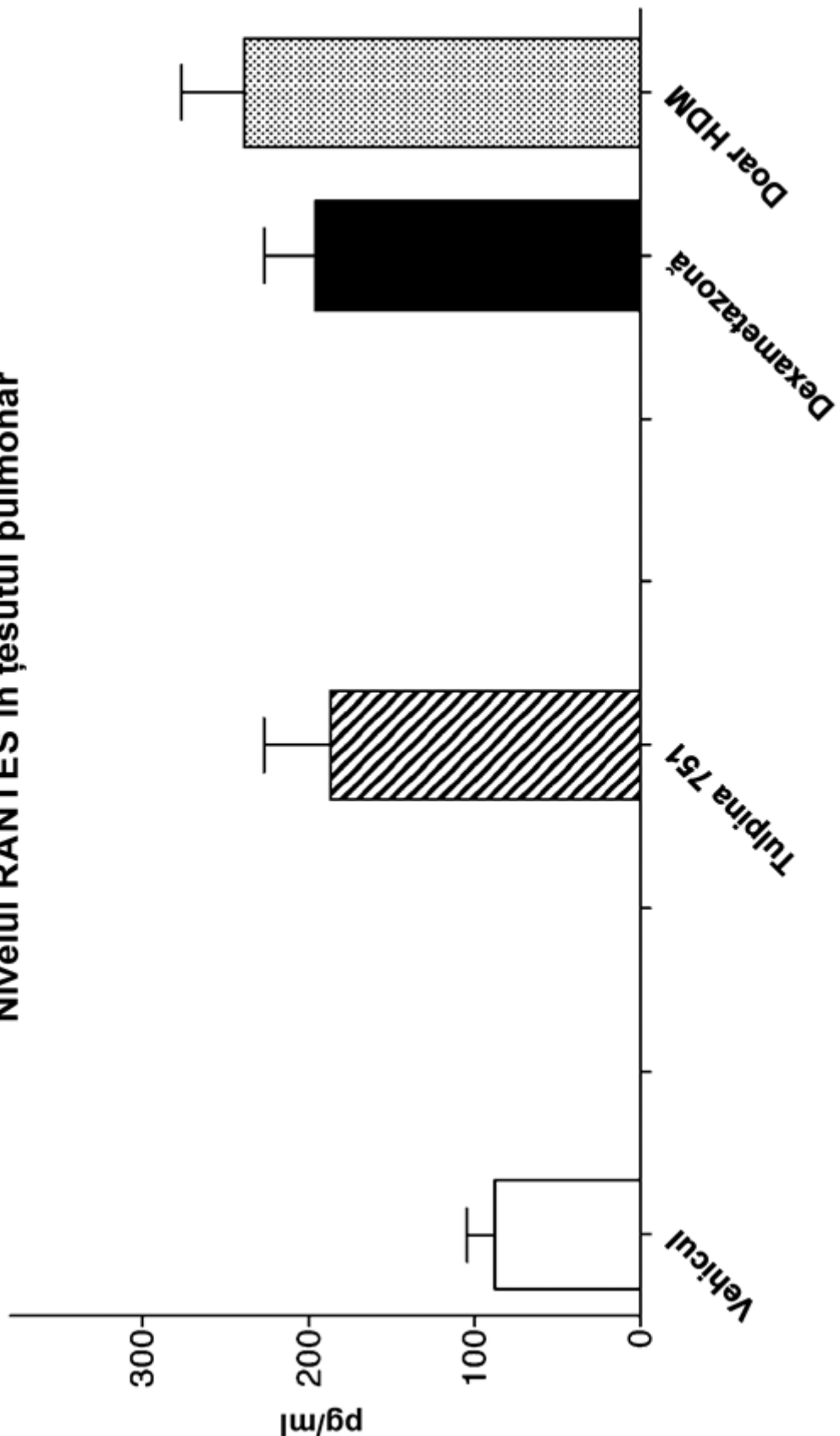


FIG. 44
Nivelul MIP-1 α în ţesutul pulmonar

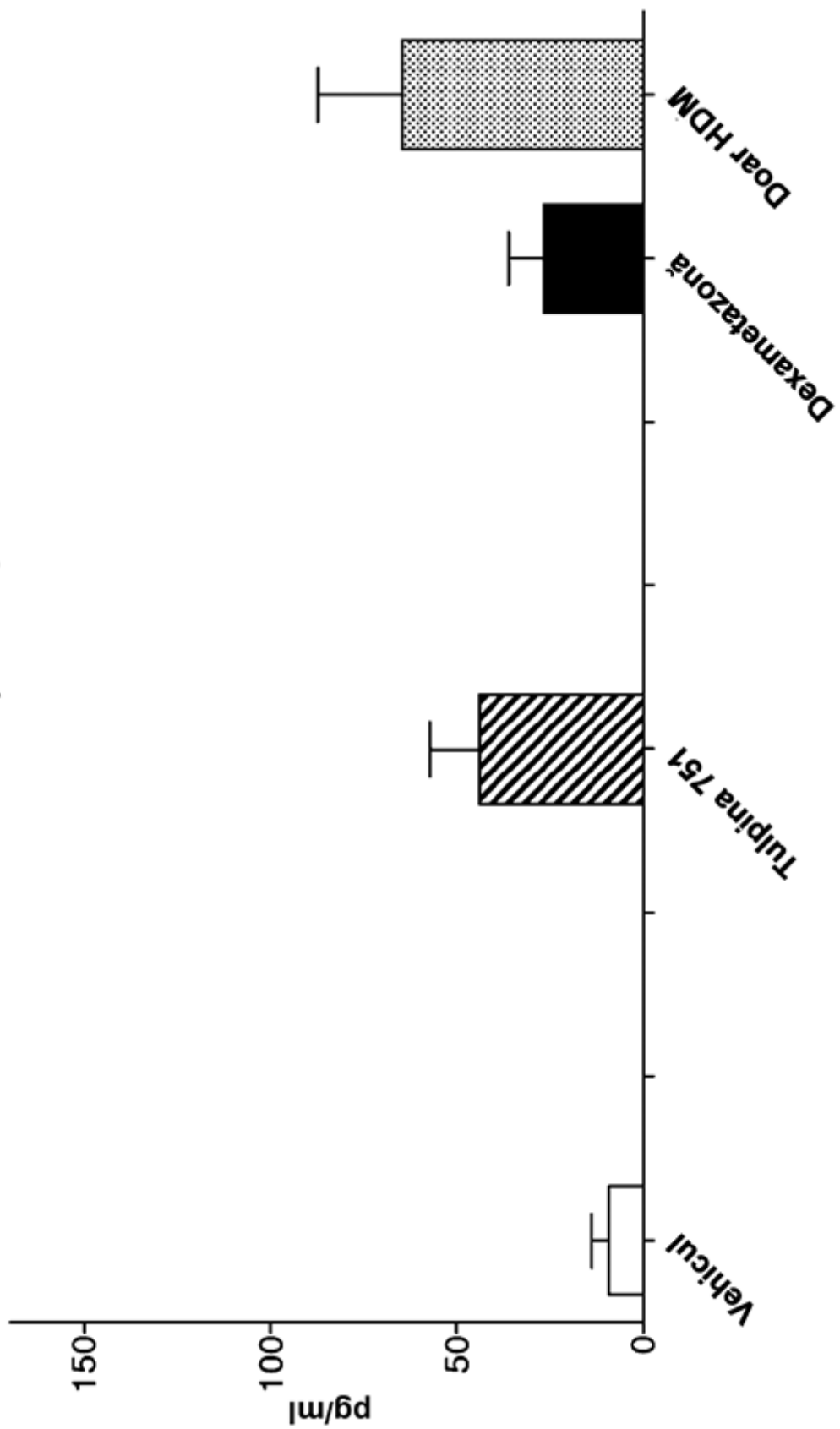


FIG. 45
Nivelul KC în ţesutul pulmonar

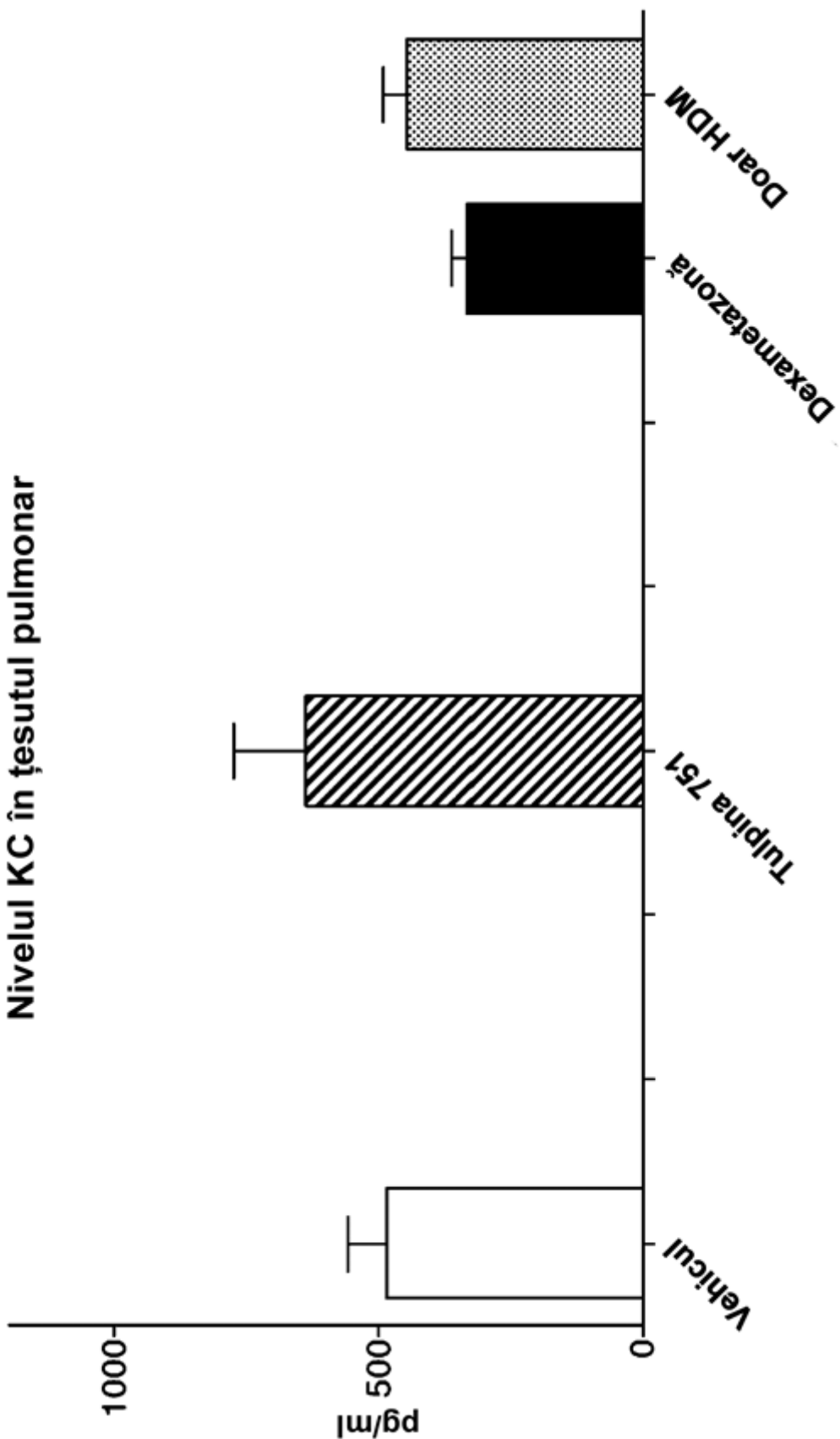


FIG. 46
Nivelul MIP-2 în ţesutul pulmonar

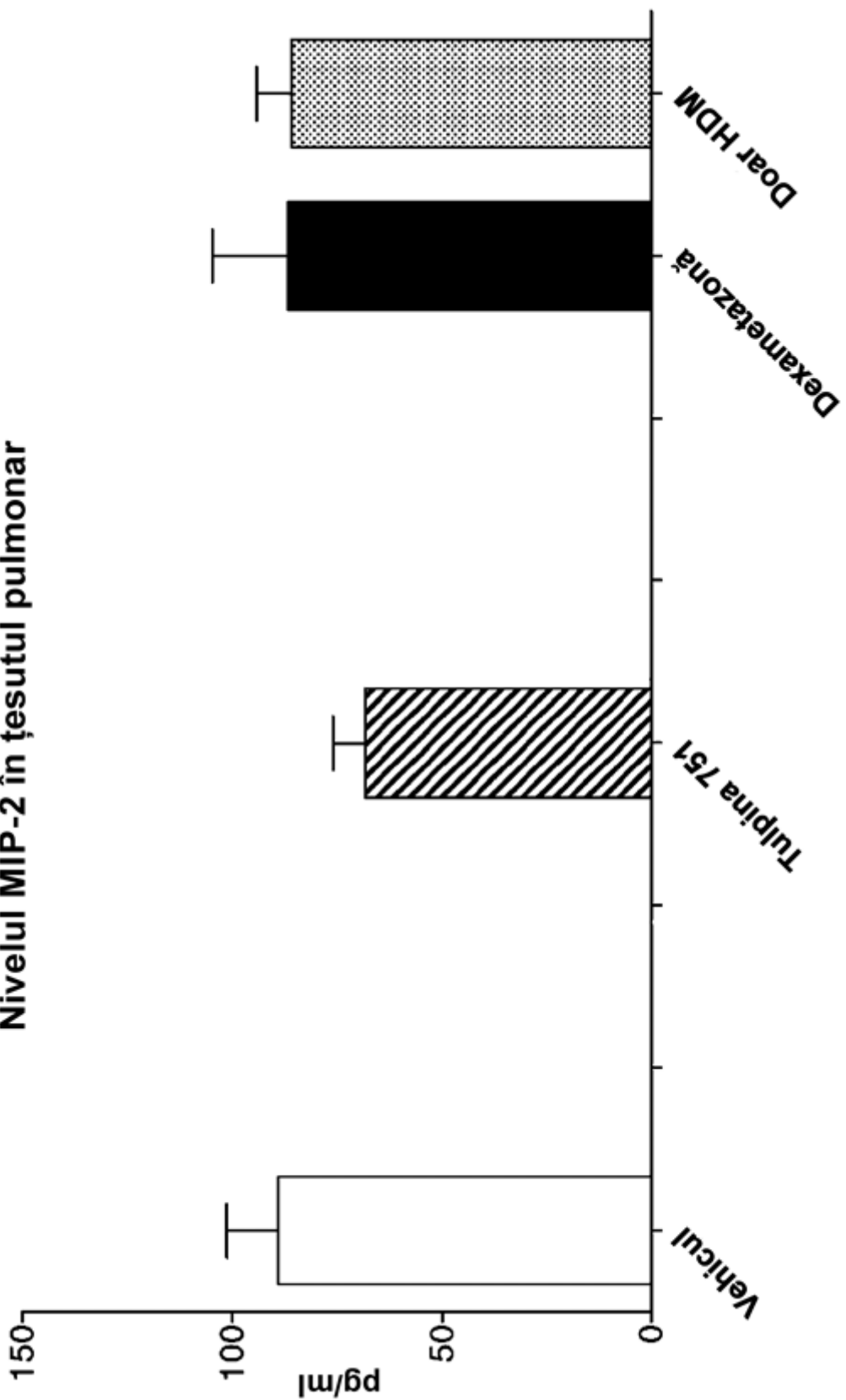


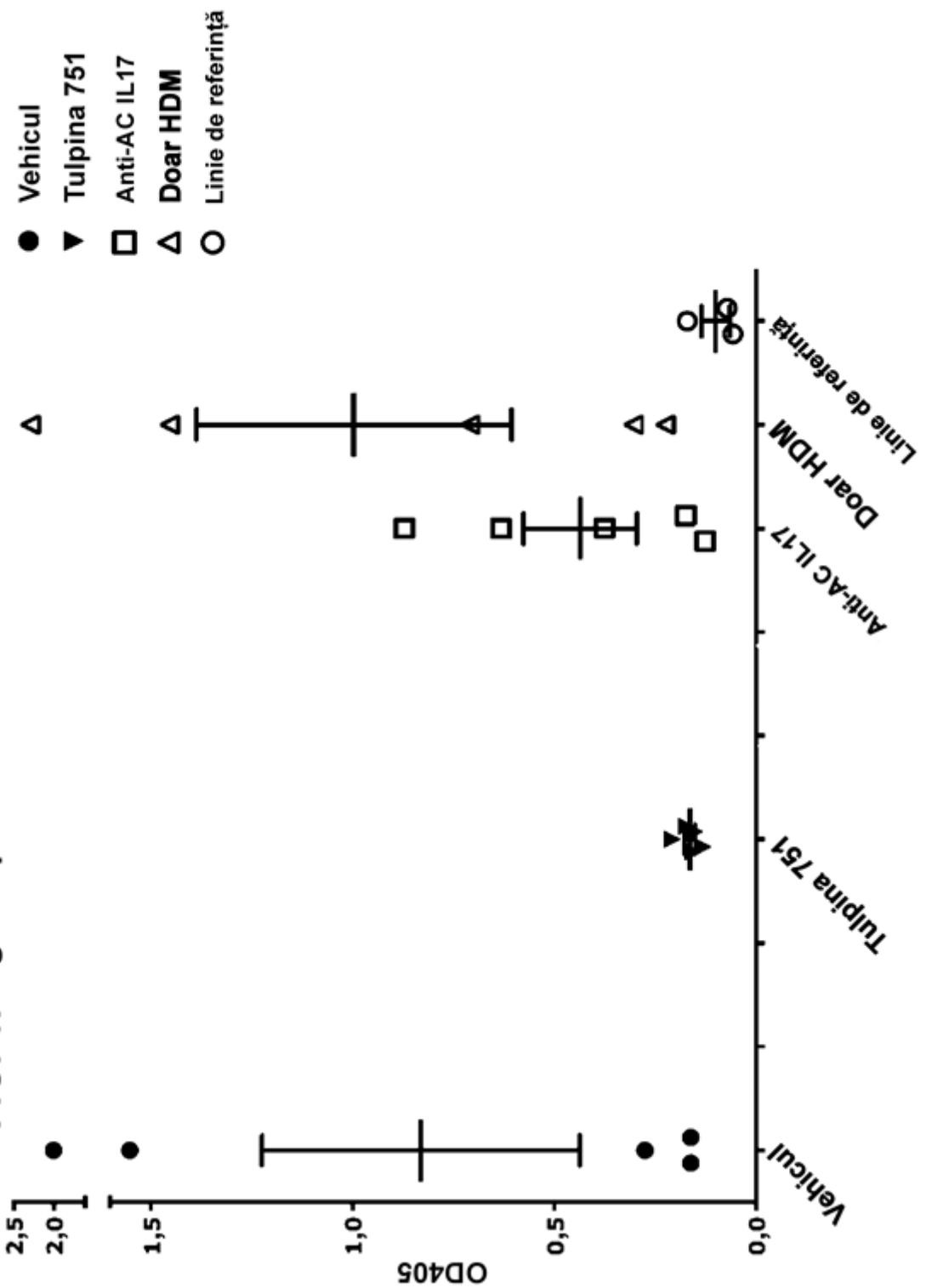
FIG. 47 IgG1 specifică HDM în ser

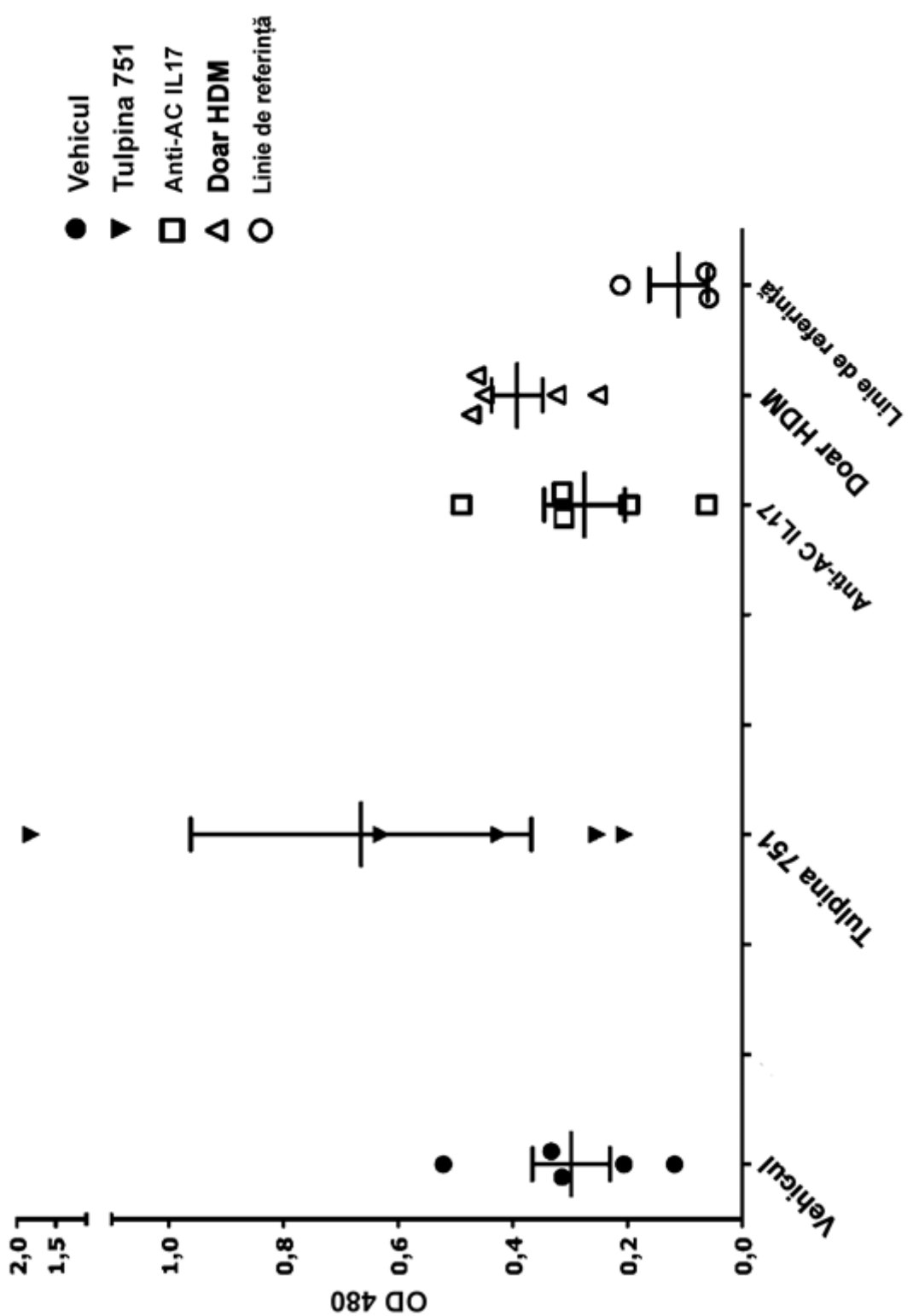
FIG. 48 IgG2a specifică HDM în ser

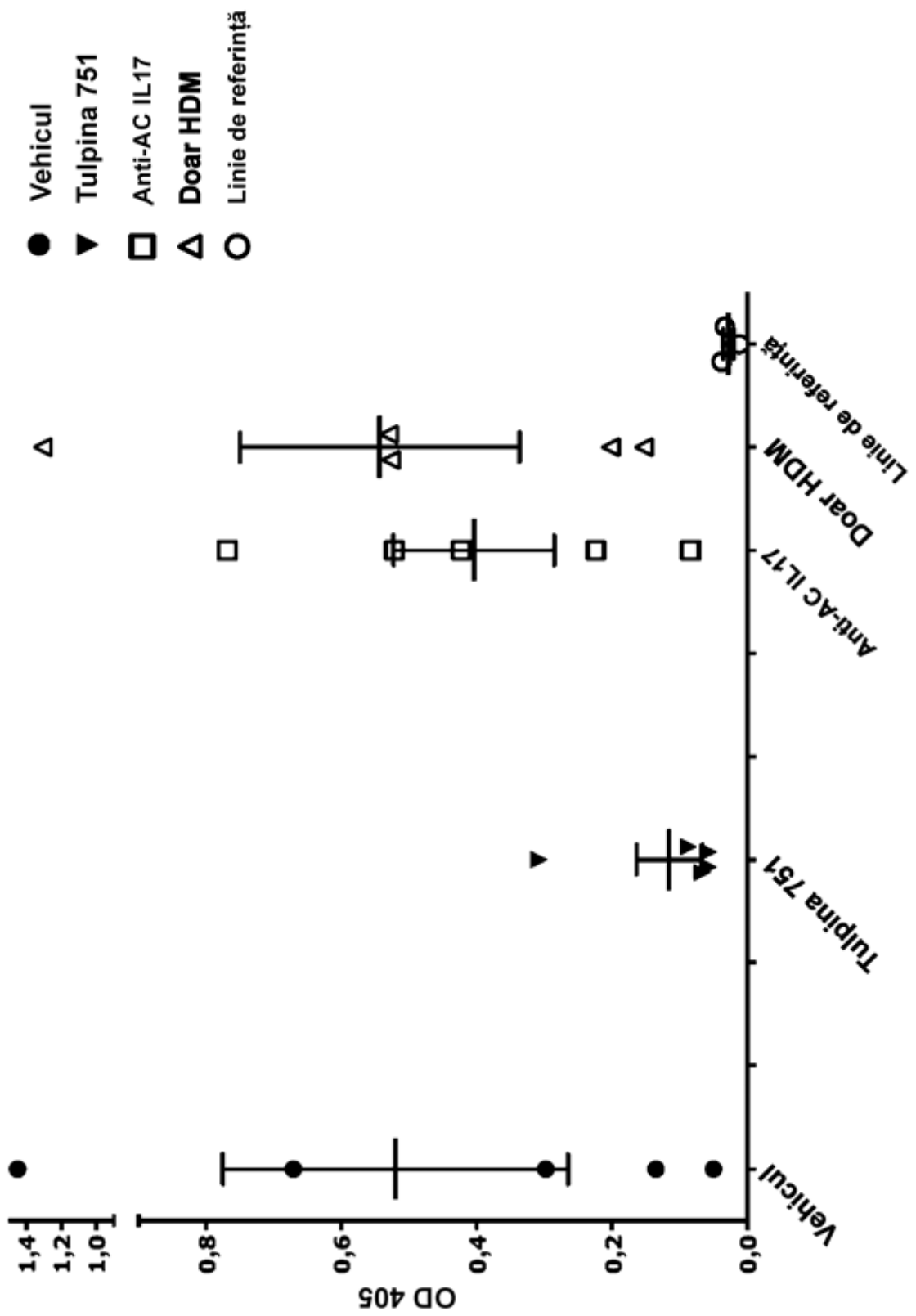
FIG. 49 IgG1 specifică HDM în BALF

FIG. 50 IgG2a specifică HDM în BALF

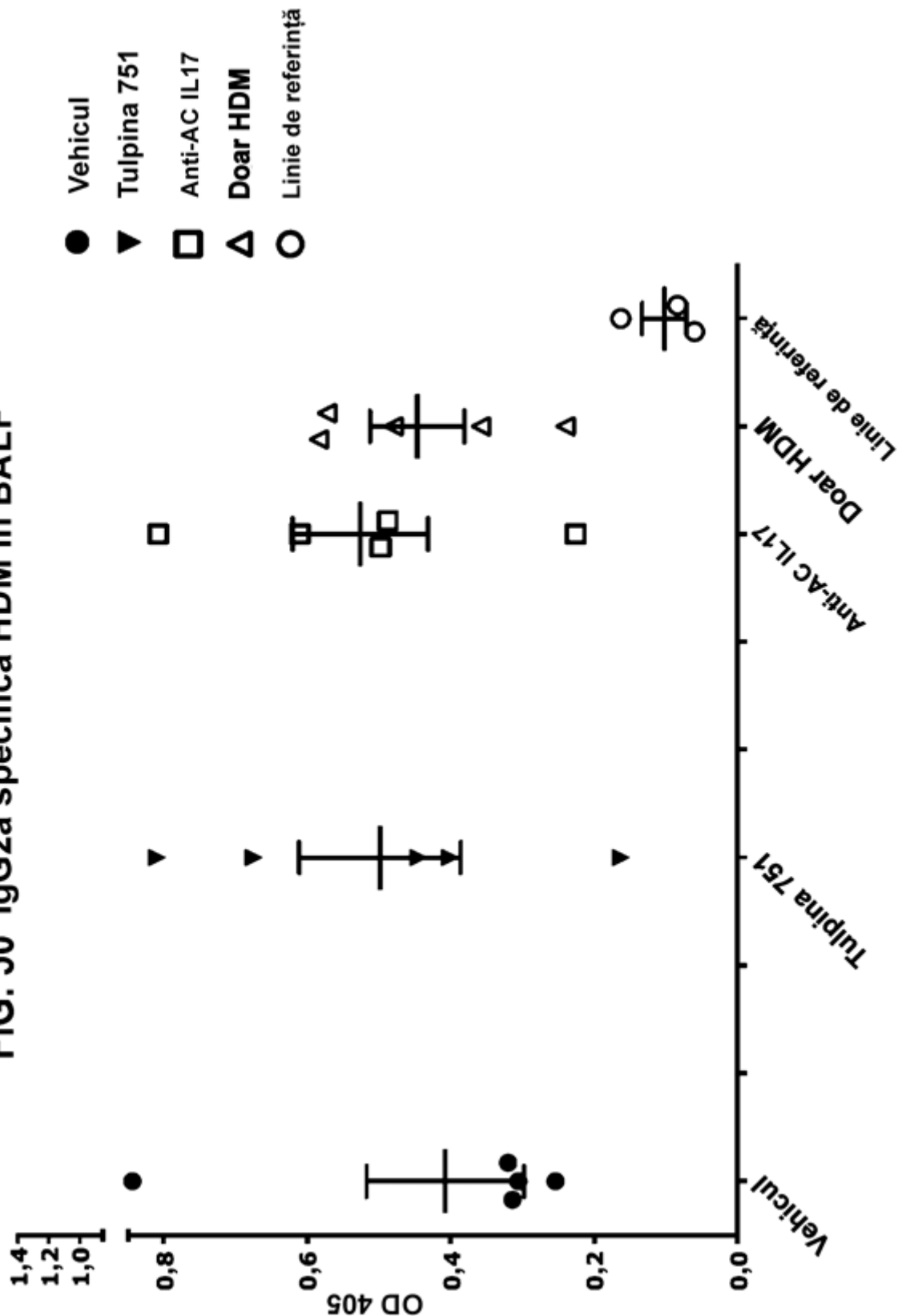


FIG. 51 Analiza histologică - scor mediu de infiltrare peribronhiolară

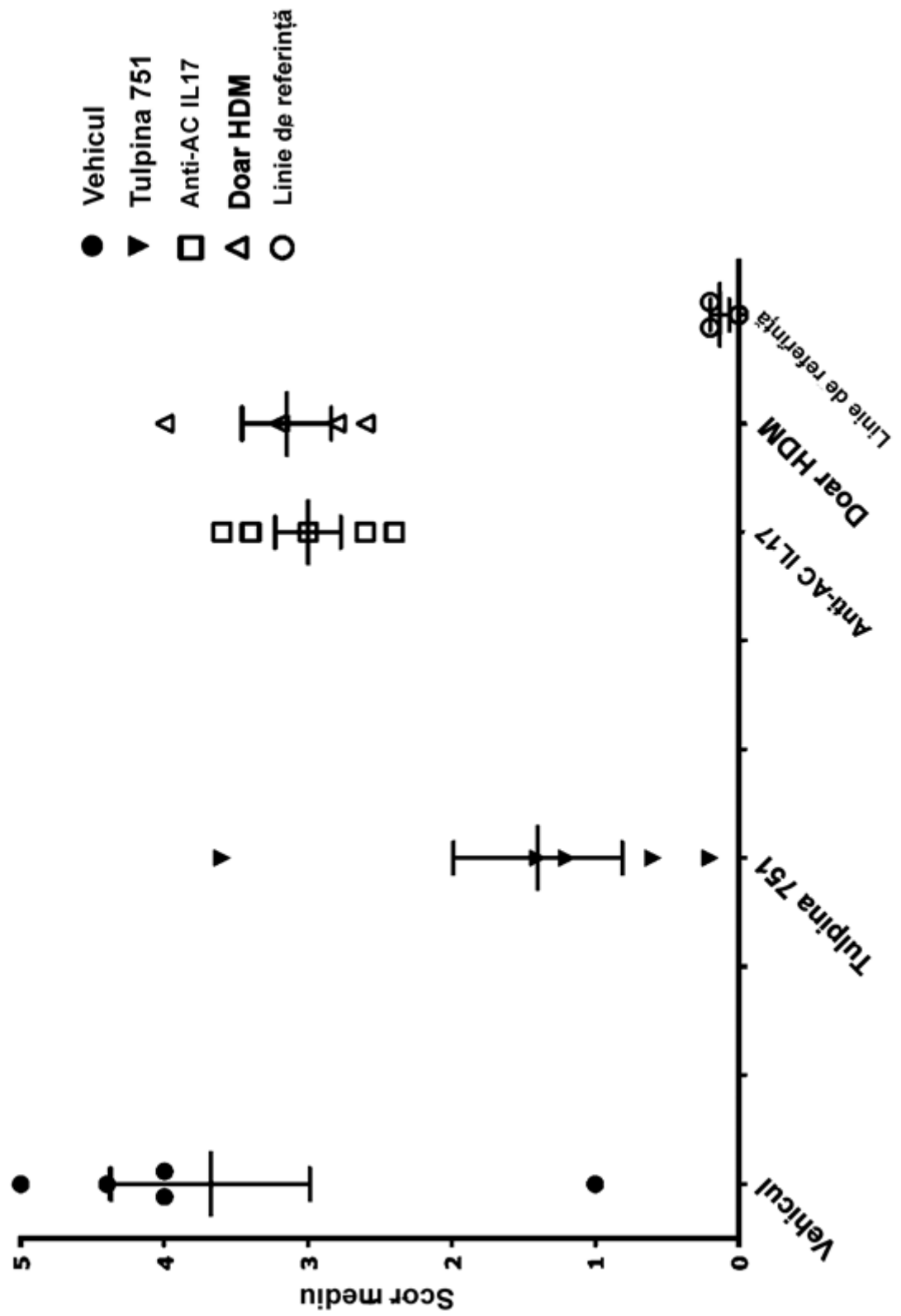


FIG. 52 Analiza histologică - scor mediu de înfiltrare perivasculară

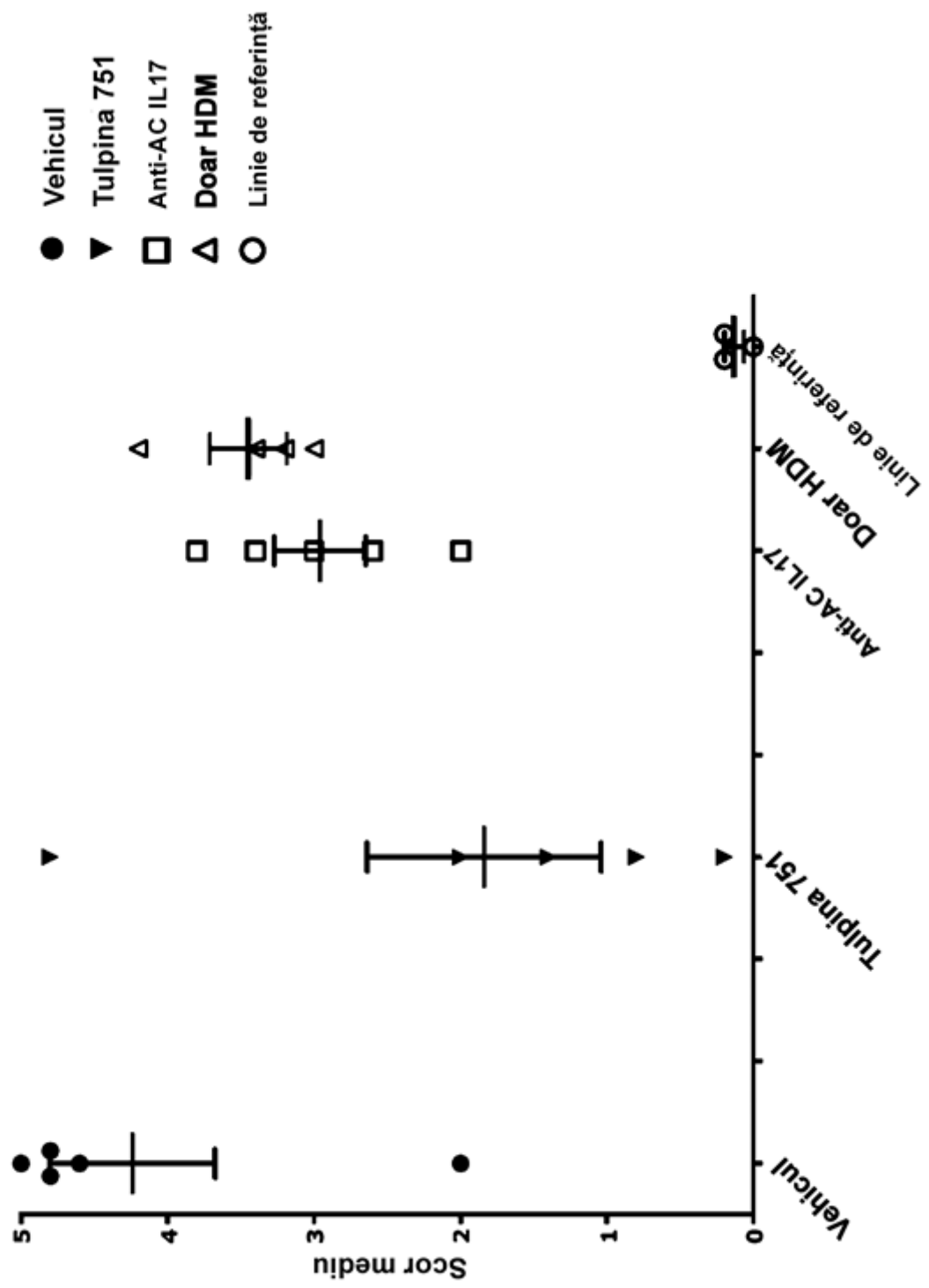


FIG. 53 Analiza histologică - scor mediu inflamator (media scorurilor de înfiltrare peribronhiolară și perivasculară)

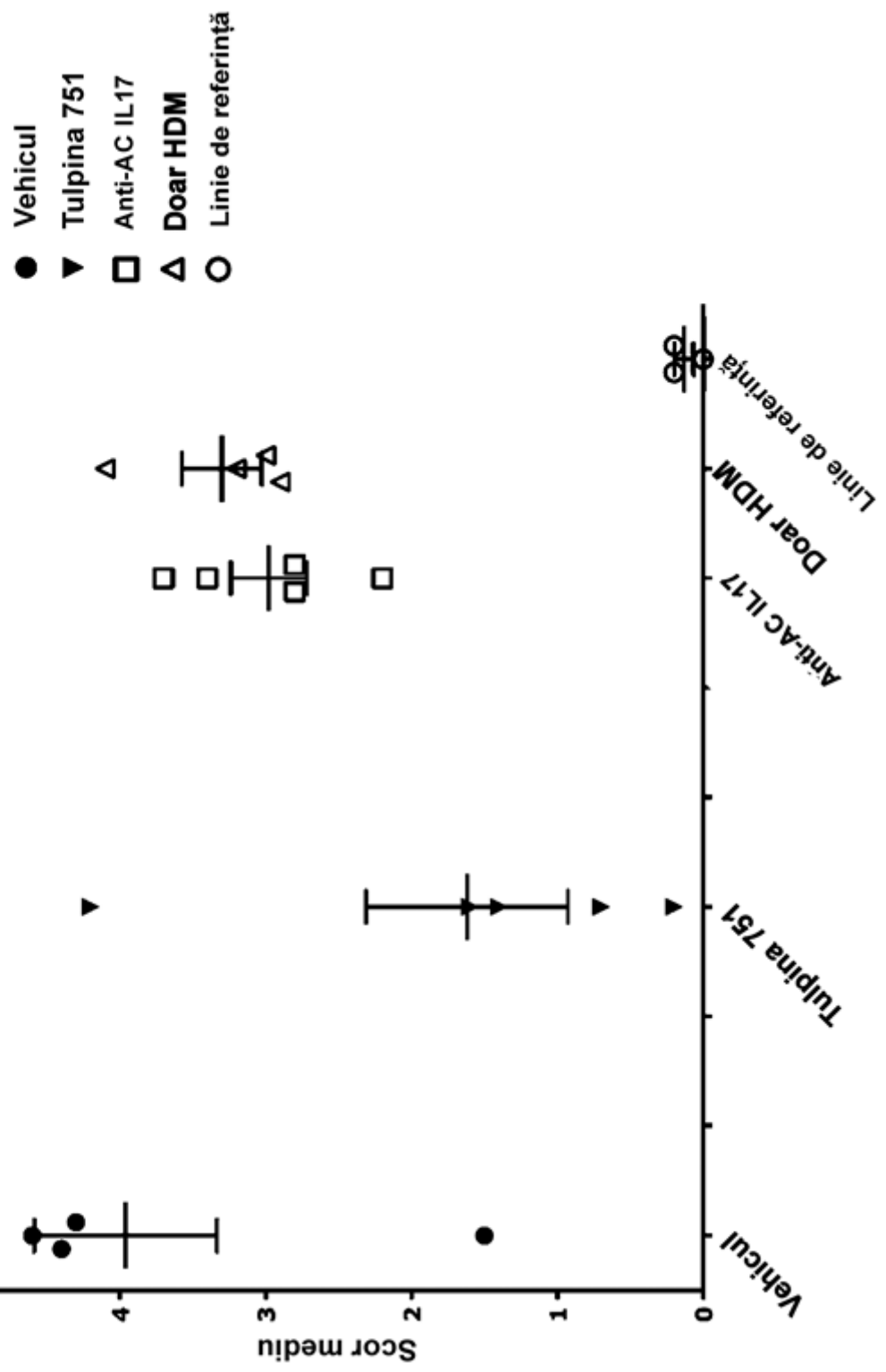


FIG. 54
Nivelui TNFa în ţesutul pulmonar

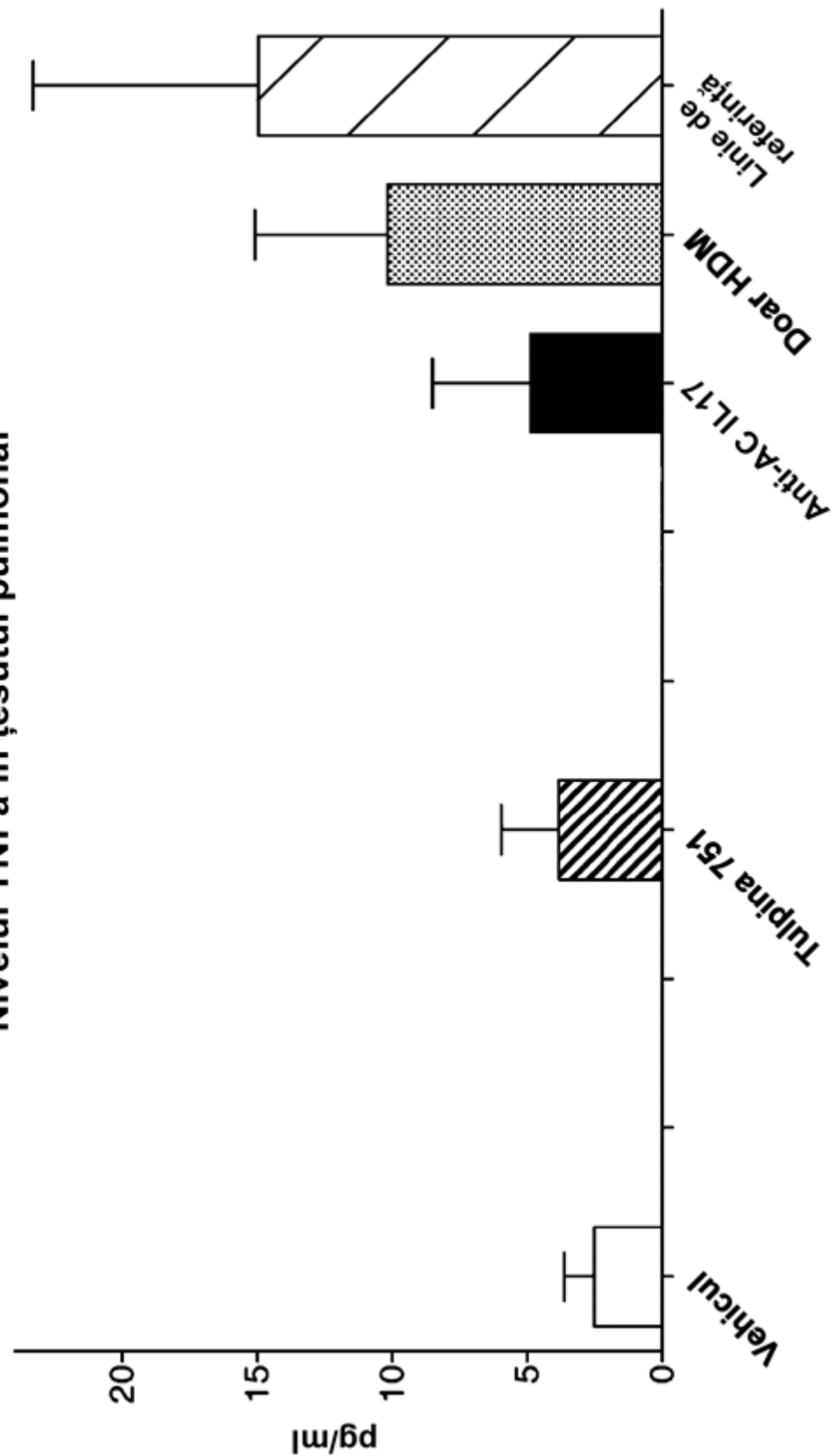


FIG. 55
Nivelul IL-1 α în ţesutul pulmonar

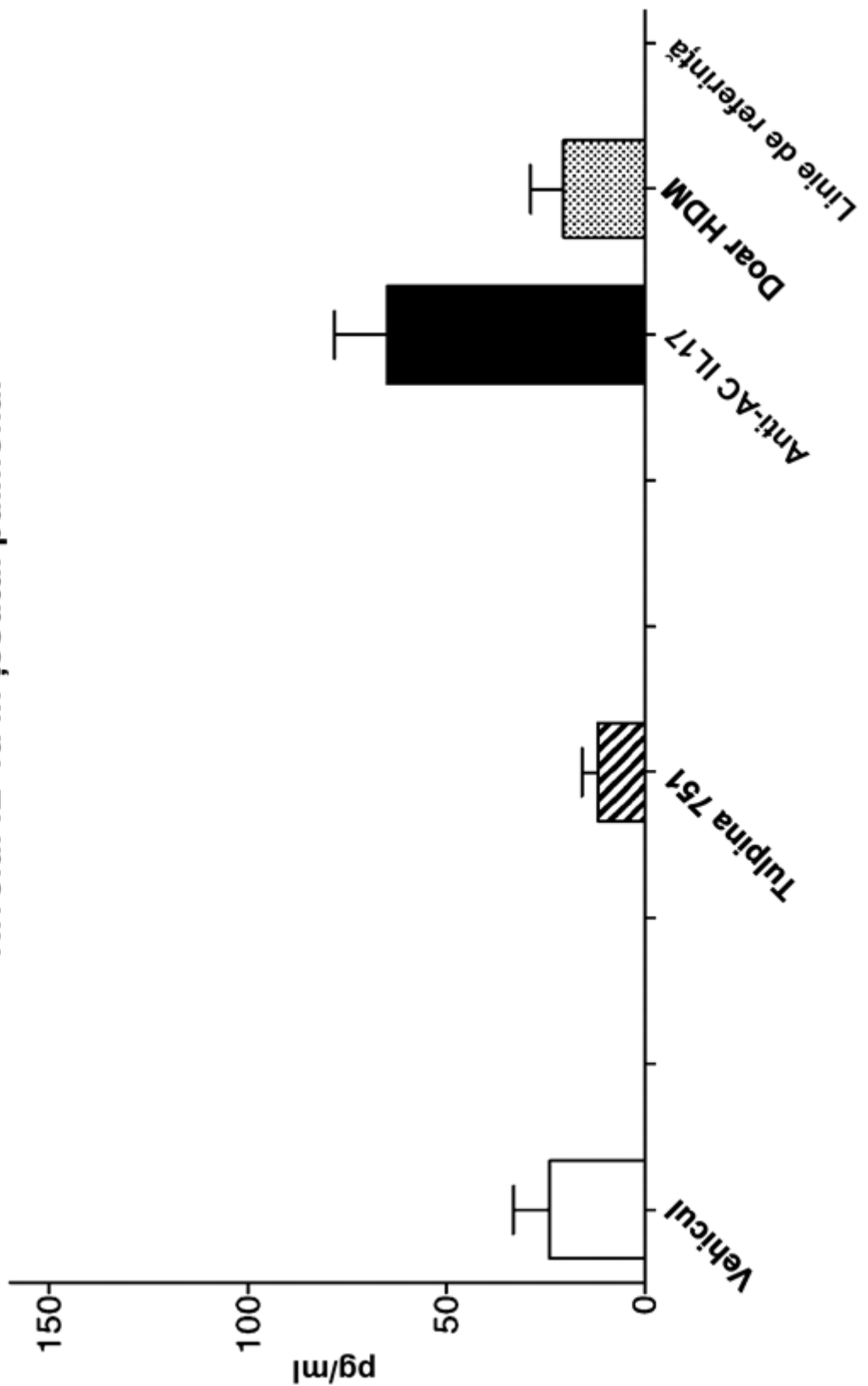


FIG. 56
Nivelul IFNg în ţesutul pulmonar

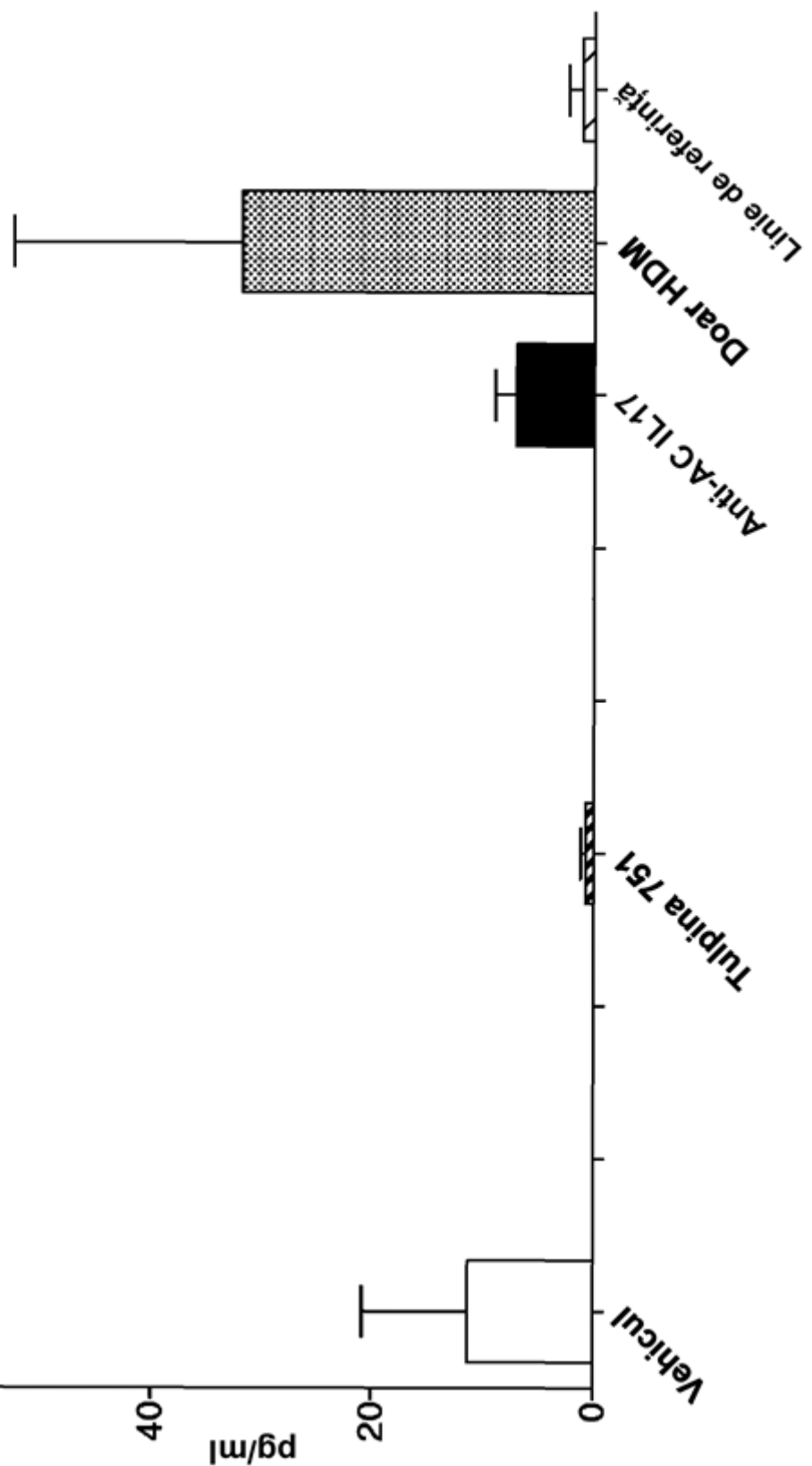


FIG. 57
Nivelul IL-17F în ţesutul pulmonar

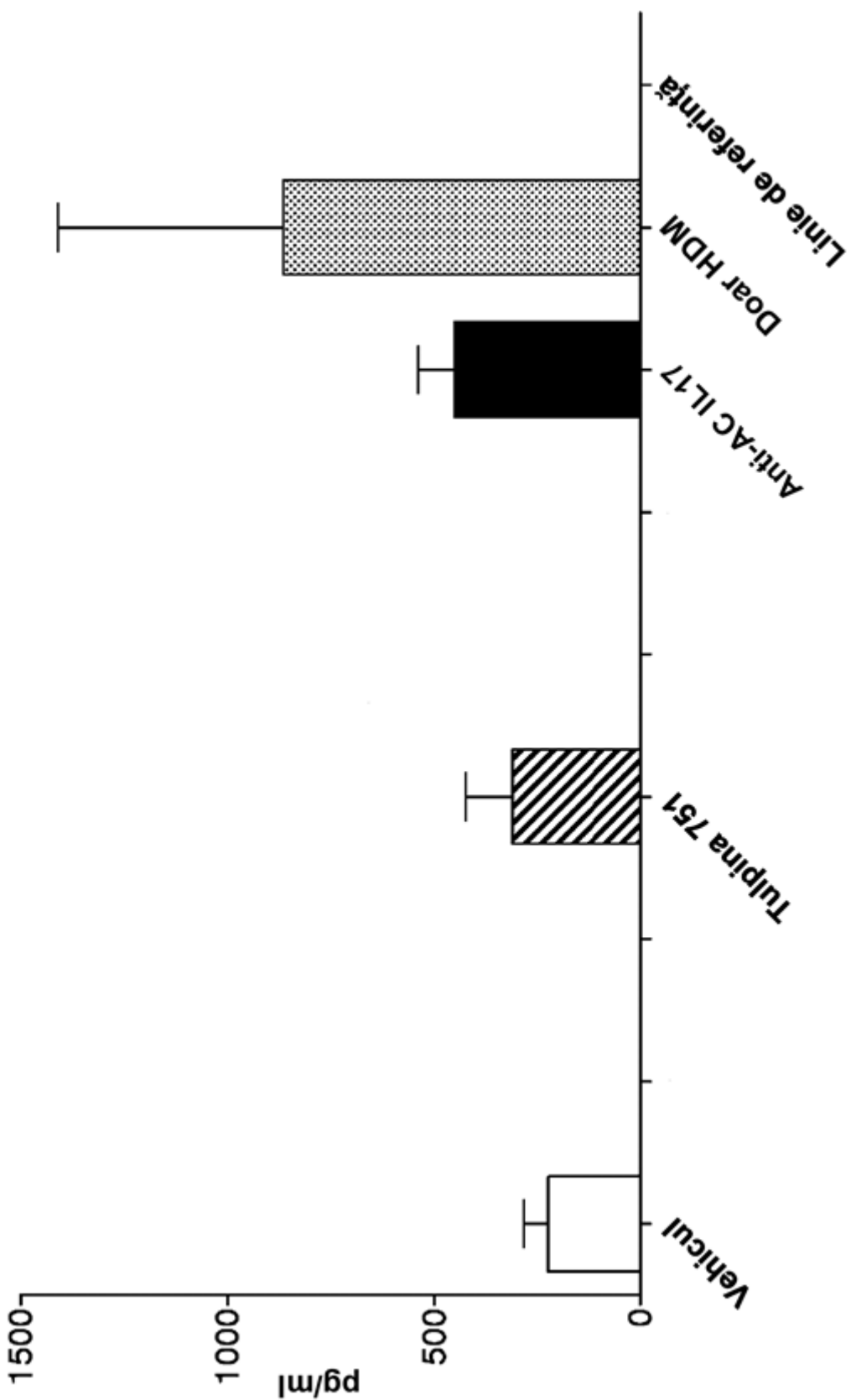


FIG. 58
Nivelul IL-1b în ţesutul pulmonar

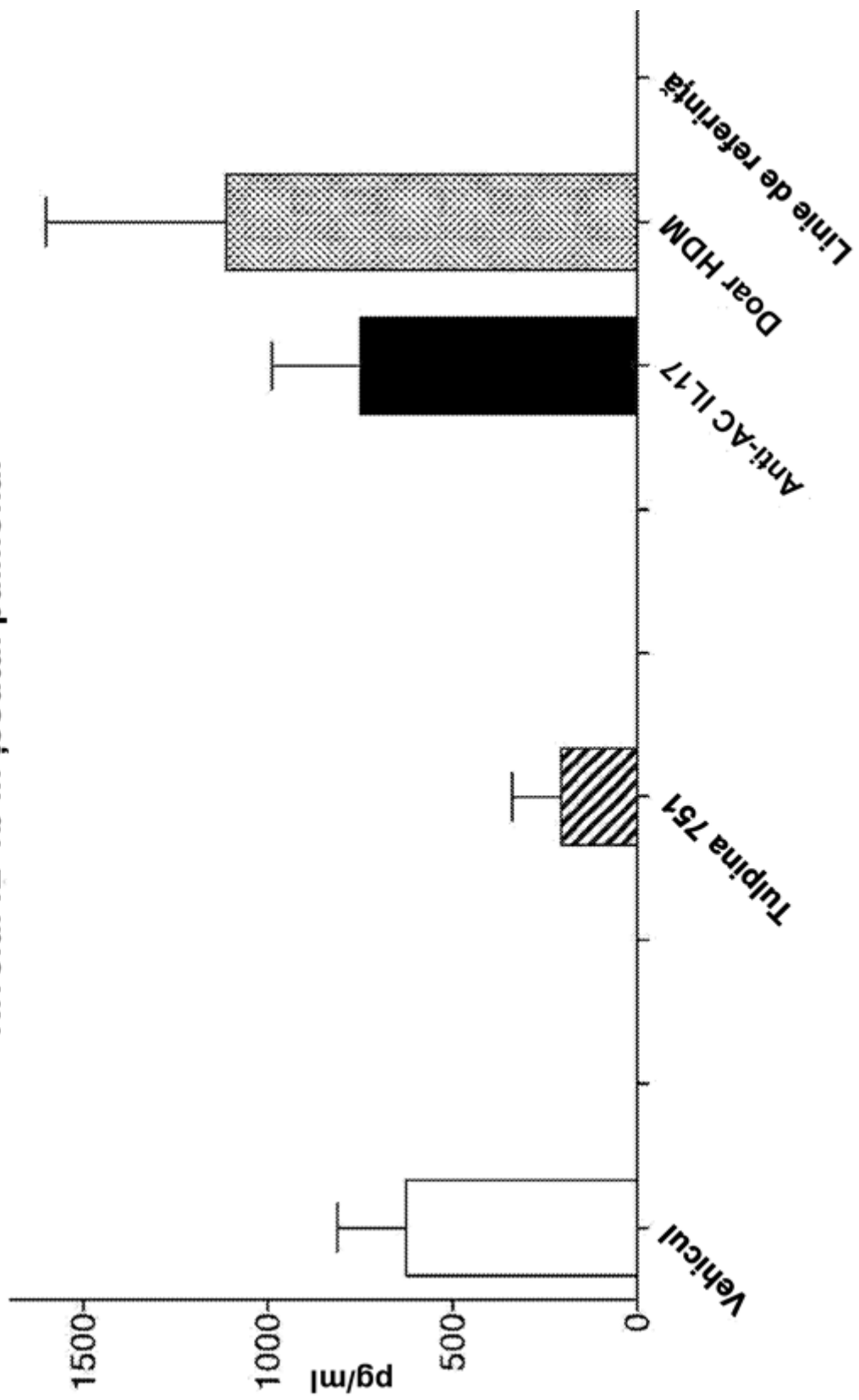


FIG. 59
Nivelul RANTES în ţesutul pulmonar

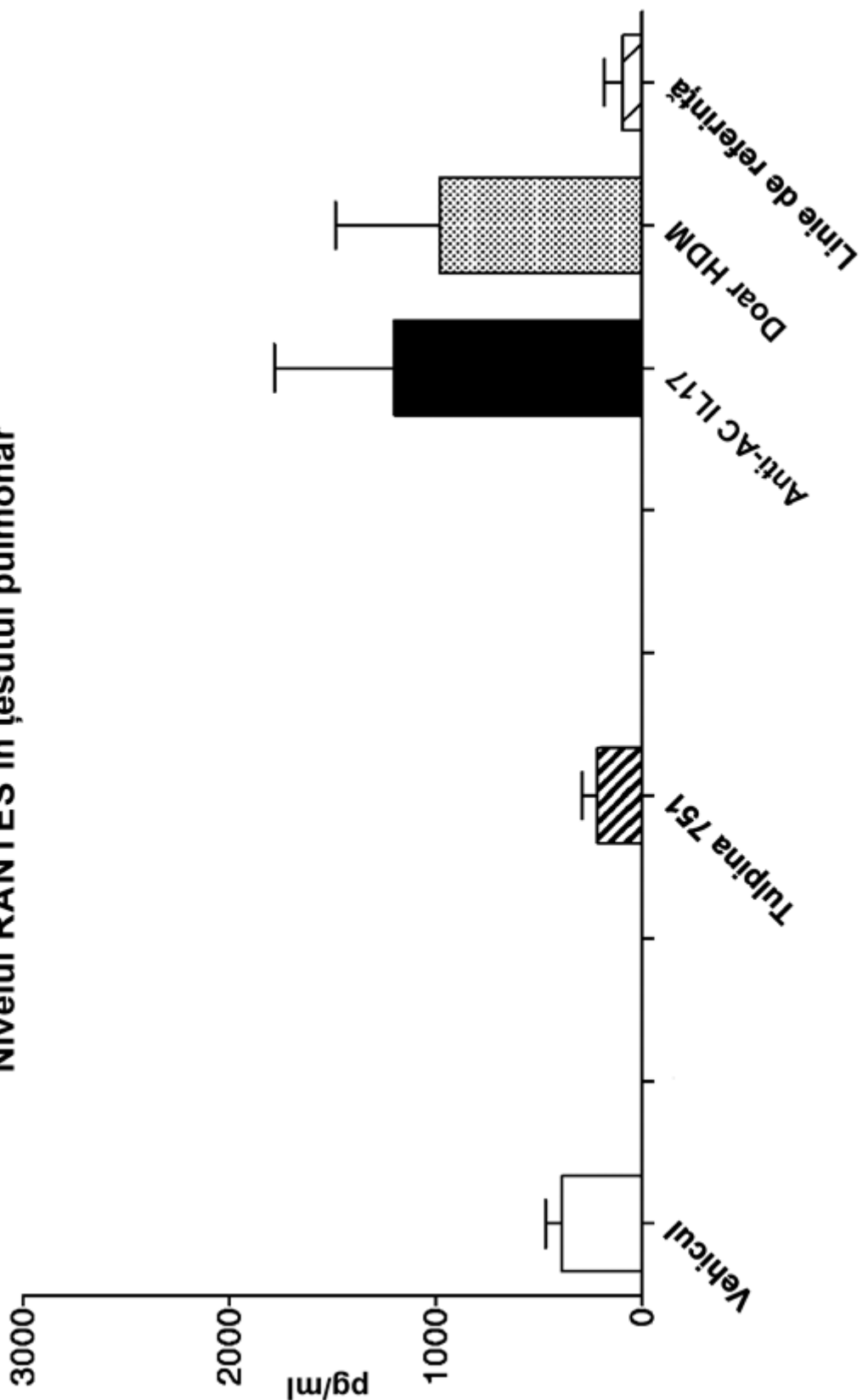


FIG. 60
Nivelul MIP-2 în ţesutul pulmonar

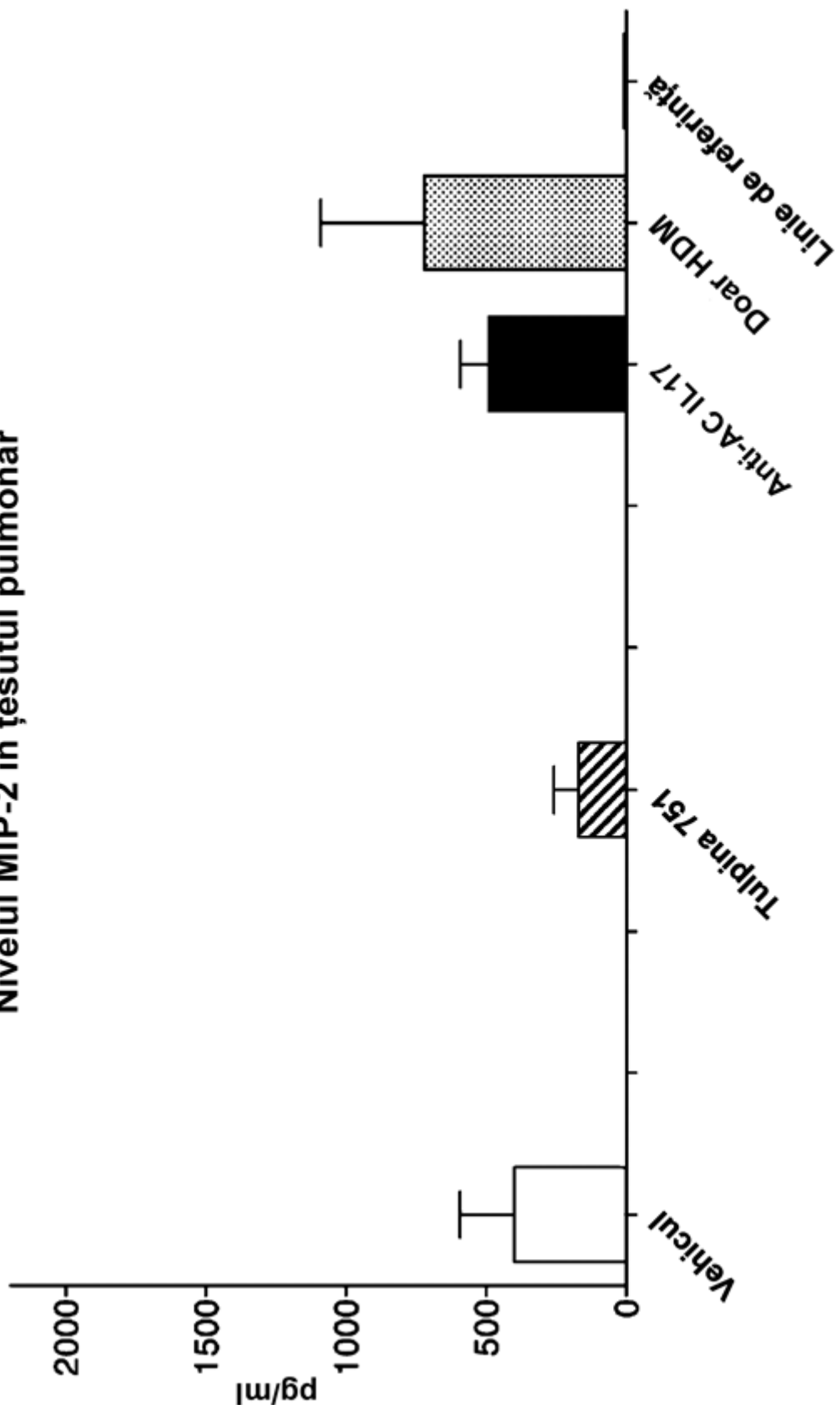


FIG. 61
Nivelul KC în ţesutul pulmonar

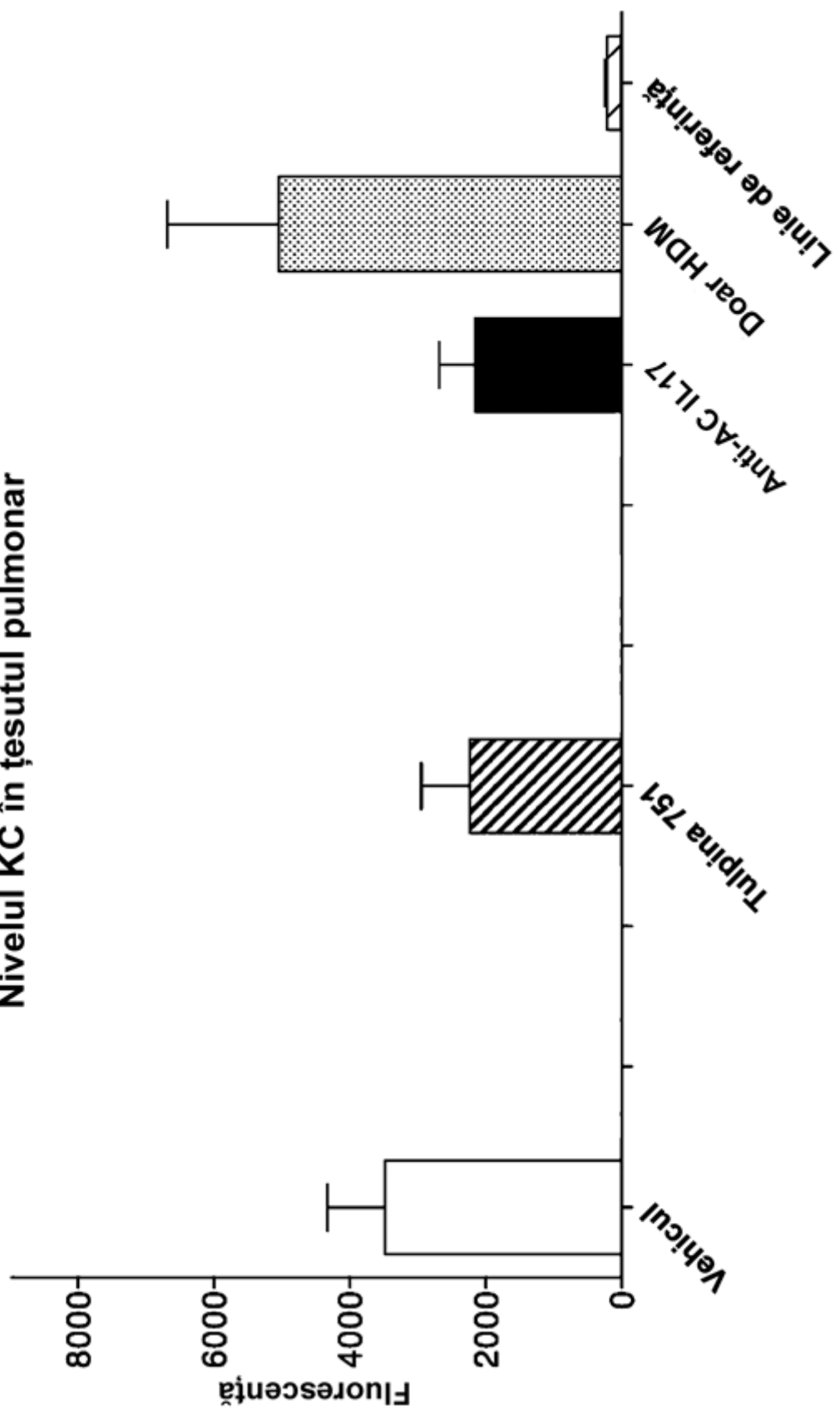


FIG. 62
Nivelul IL-17A în ţesutul pulmonar

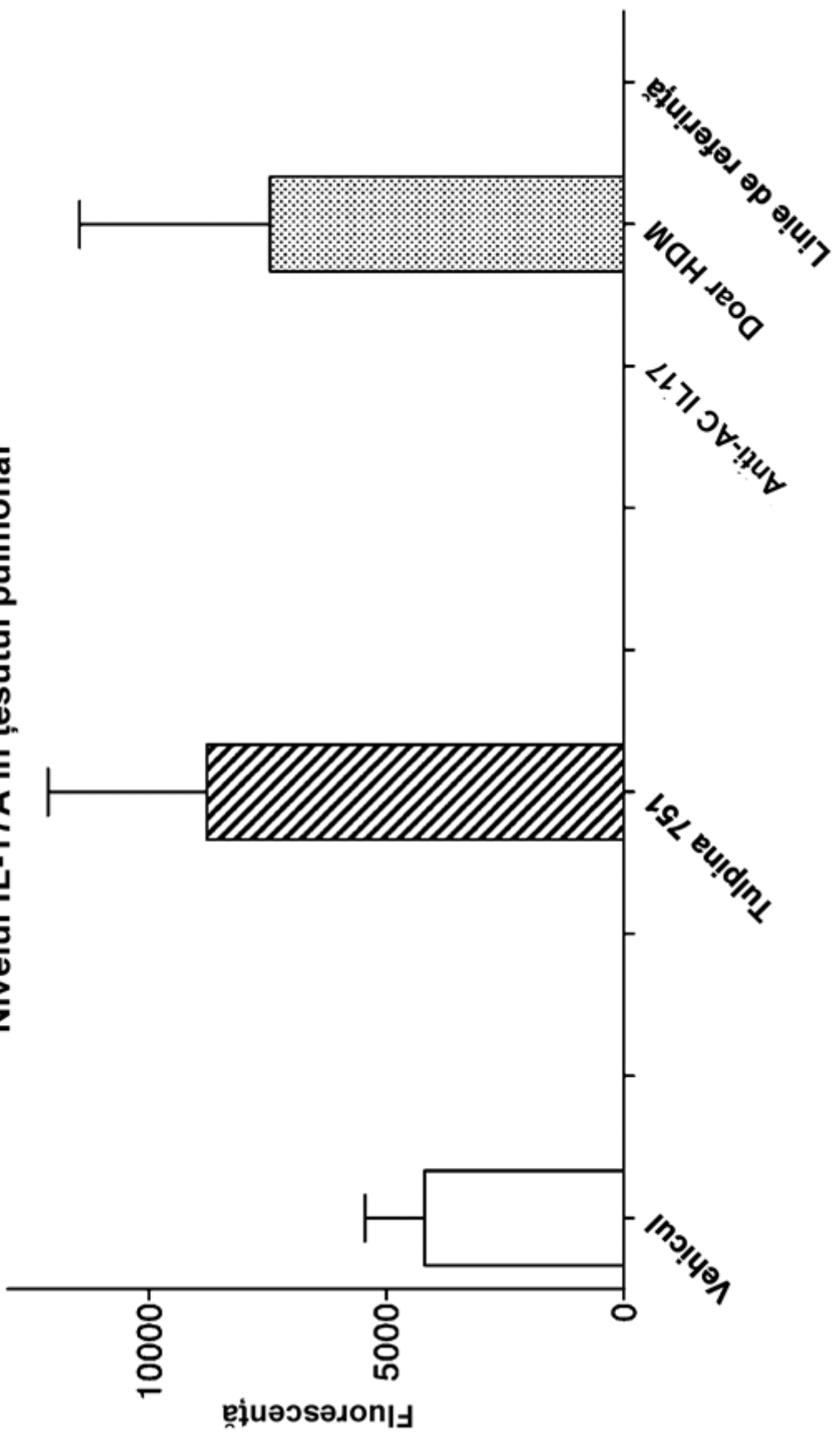


FIG. 63
Nivelul IL-17A în ţesutul pulmonar

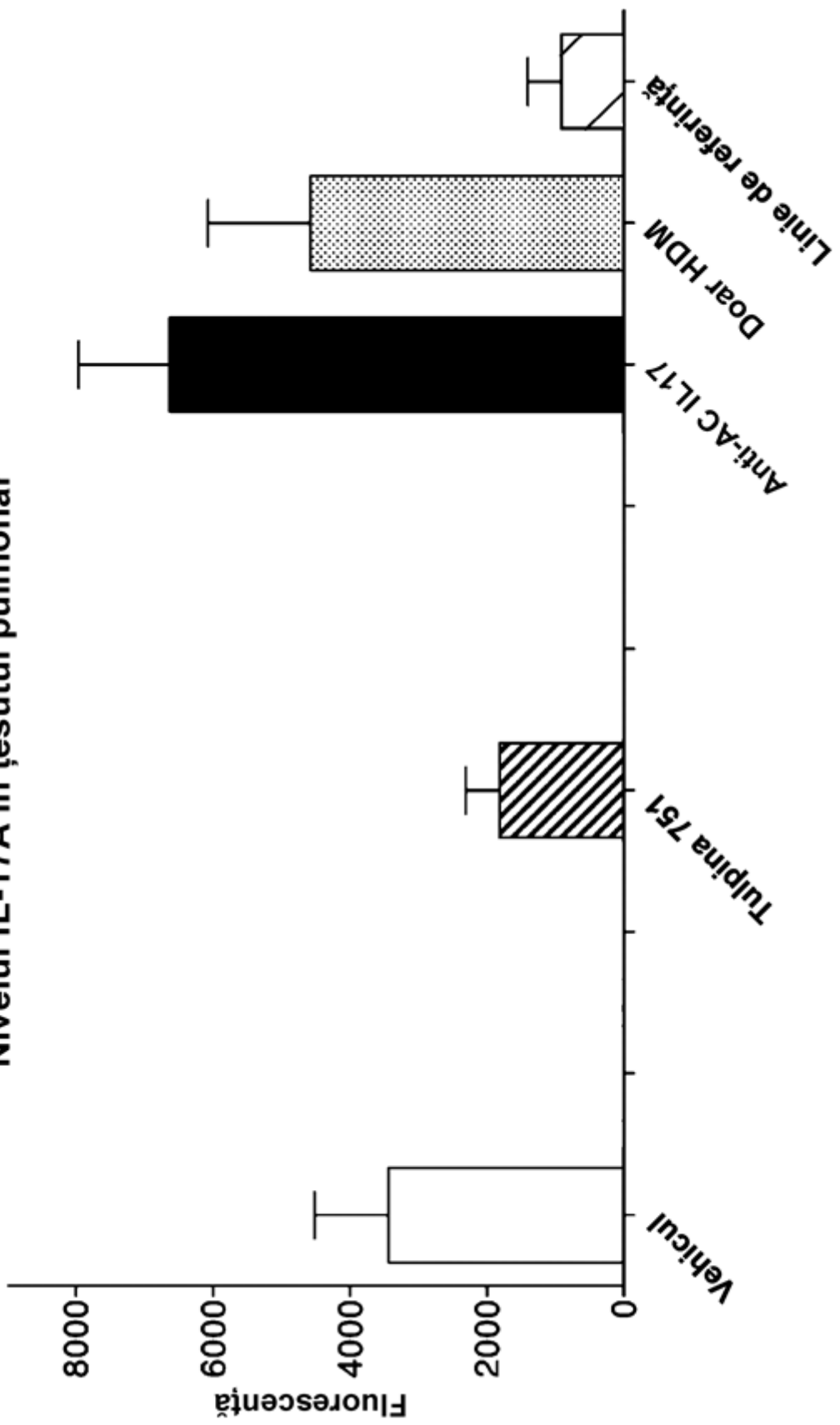


FIG. 64
Nivelul IL-33 în ţesutul pulmonar

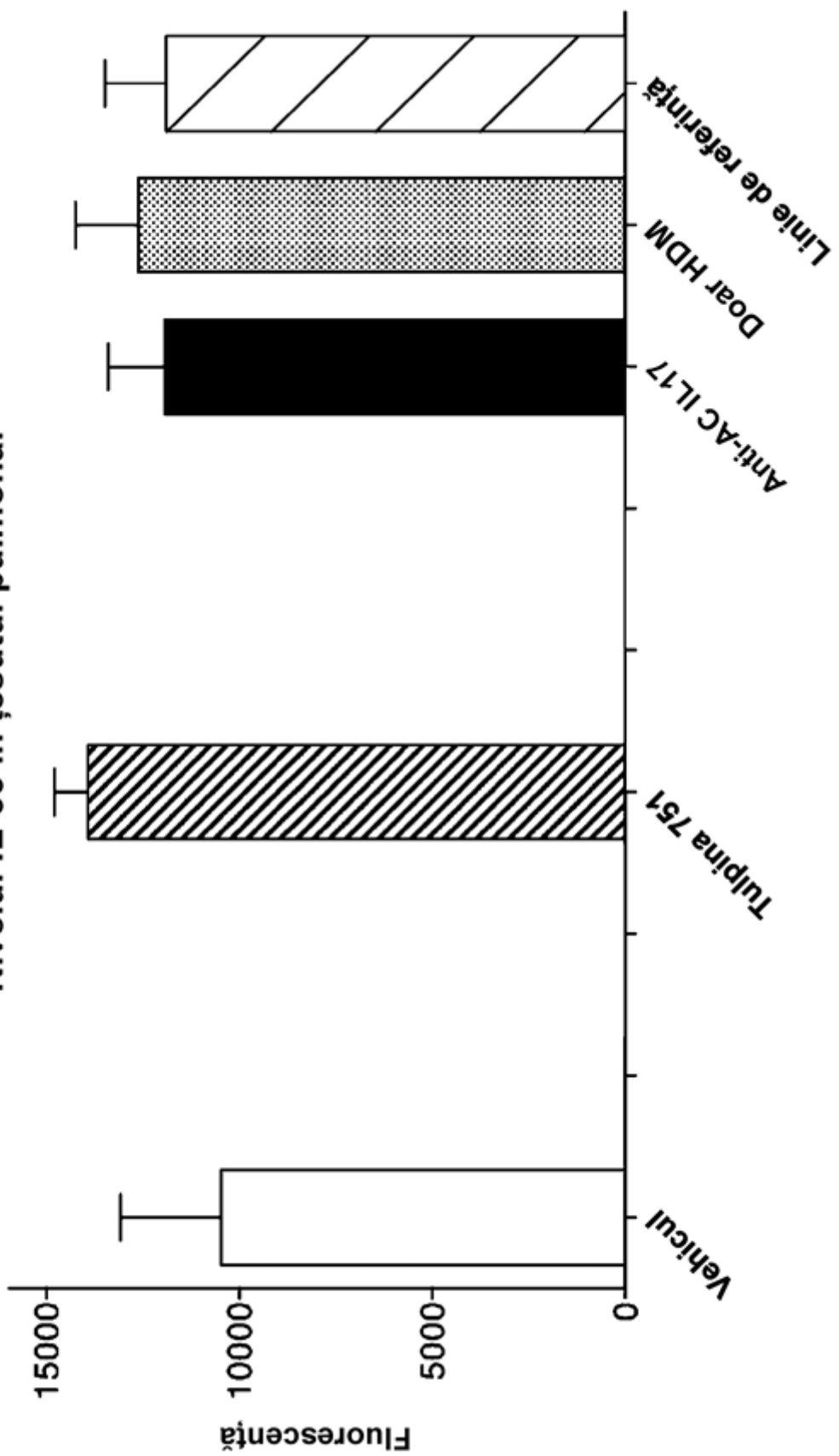
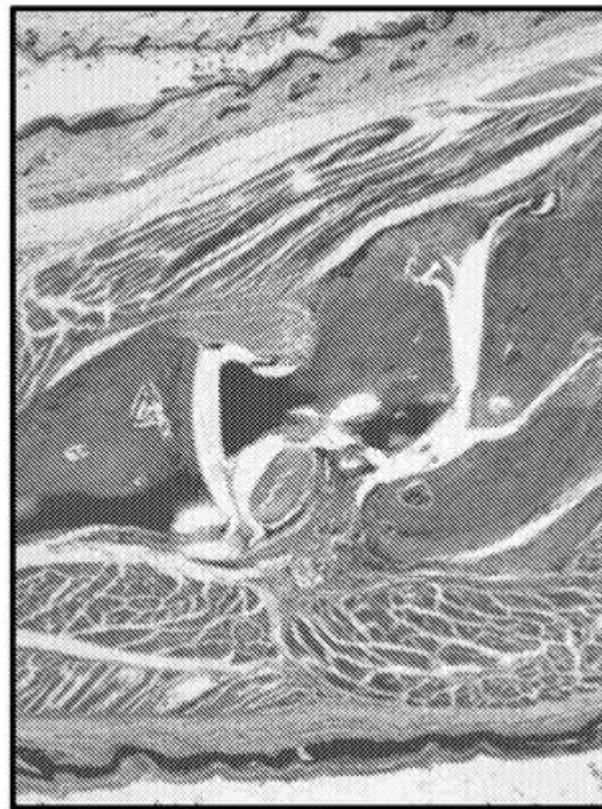


FIG. 65
Model vizual pentru evaluarea histopatologică



Gradul 1



Gradul 0

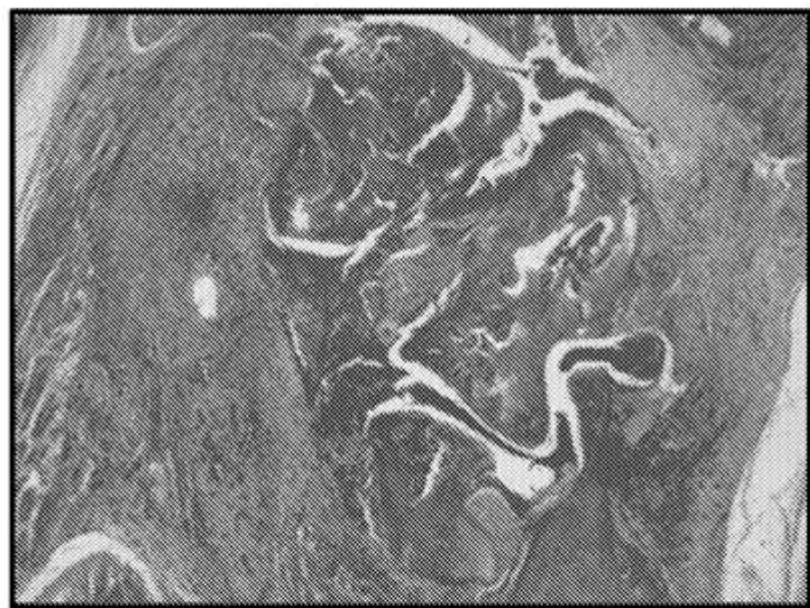
FIG. 65 (cont.)



Gradul 4



Gradul 7



Gradul 9

FIG. 65 (cont.)

FIG. 67
Histopatologie: scoruri ale cartilajului

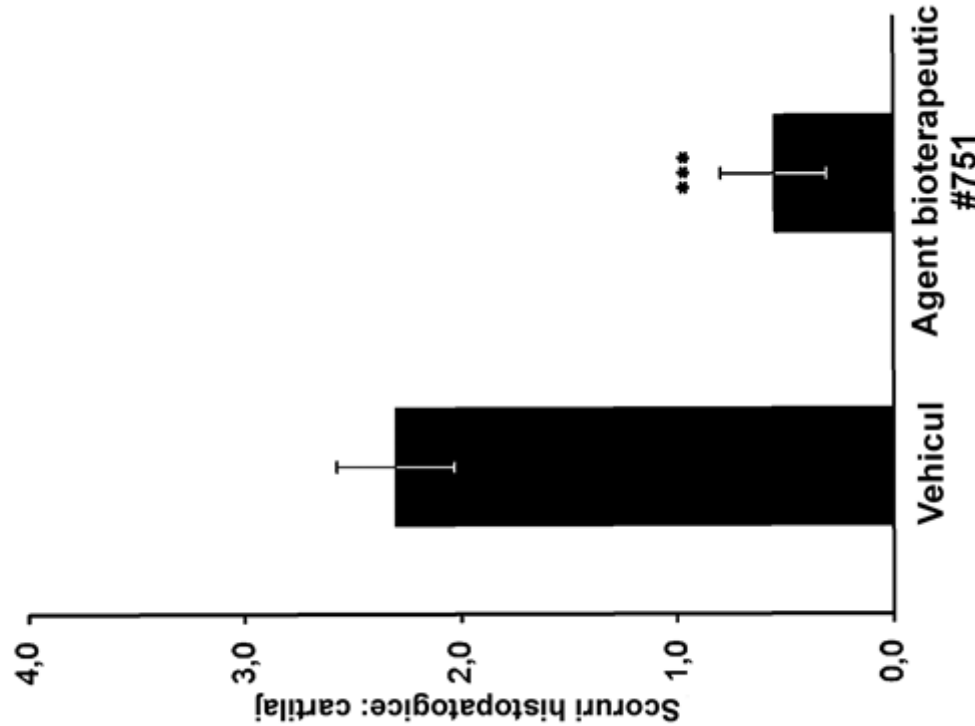


FIG. 69
Histopatologie: scoruri totale

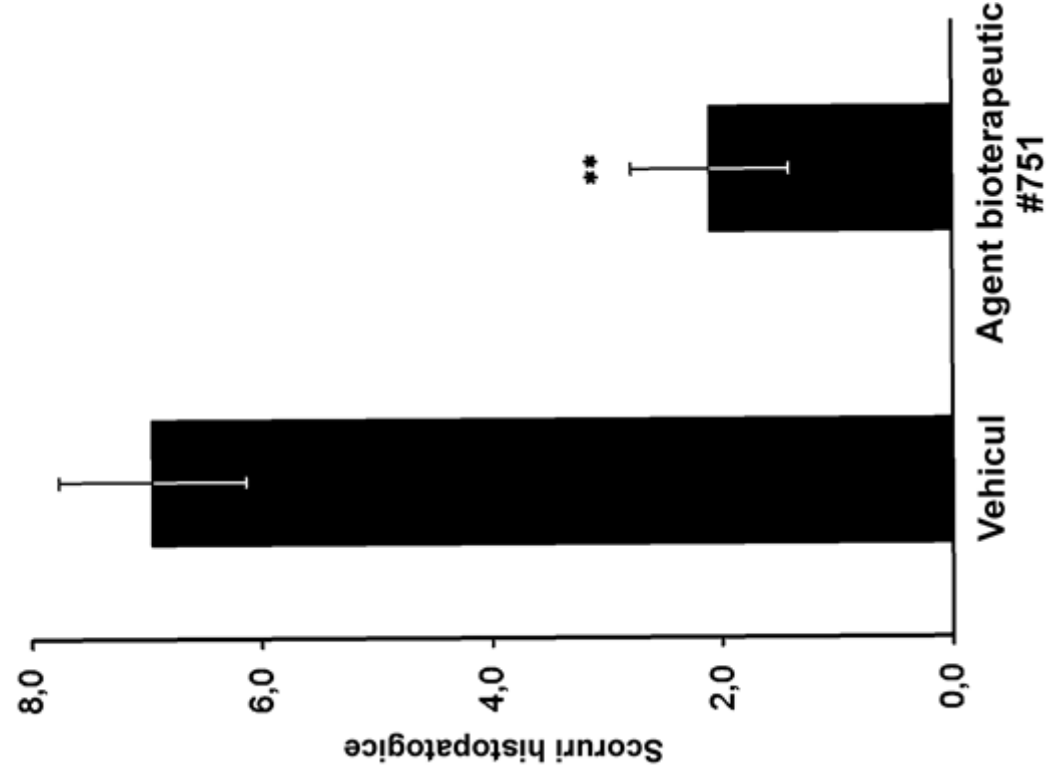


FIG. 66
Histopatologie: scoruri ale inflamației

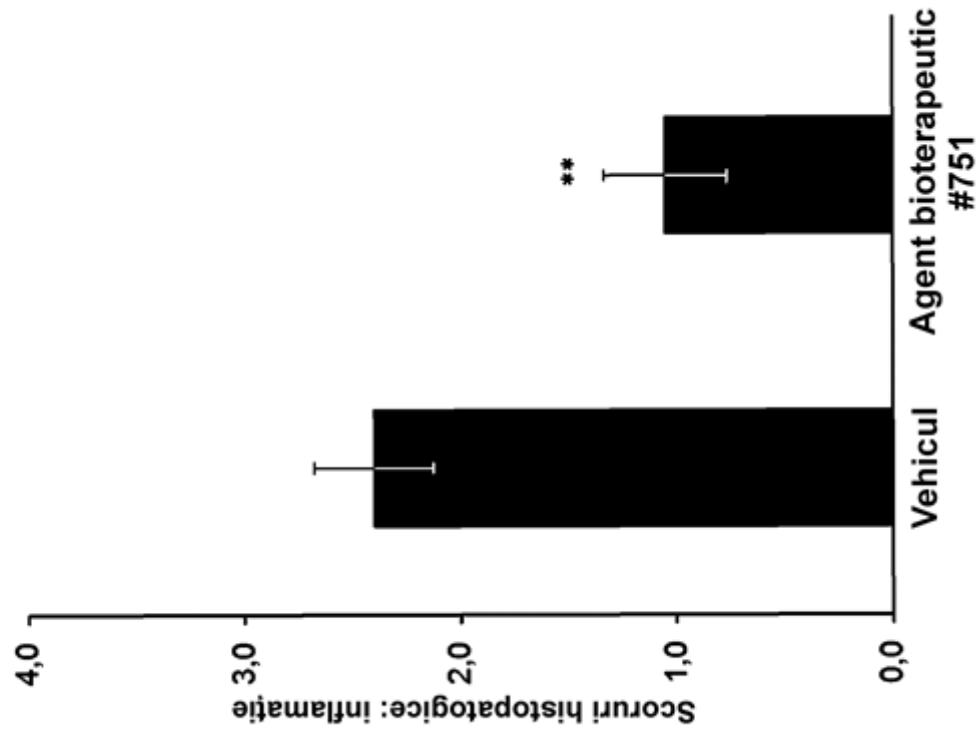


FIG. 68
Histopatologie: scoruri ale oaselor

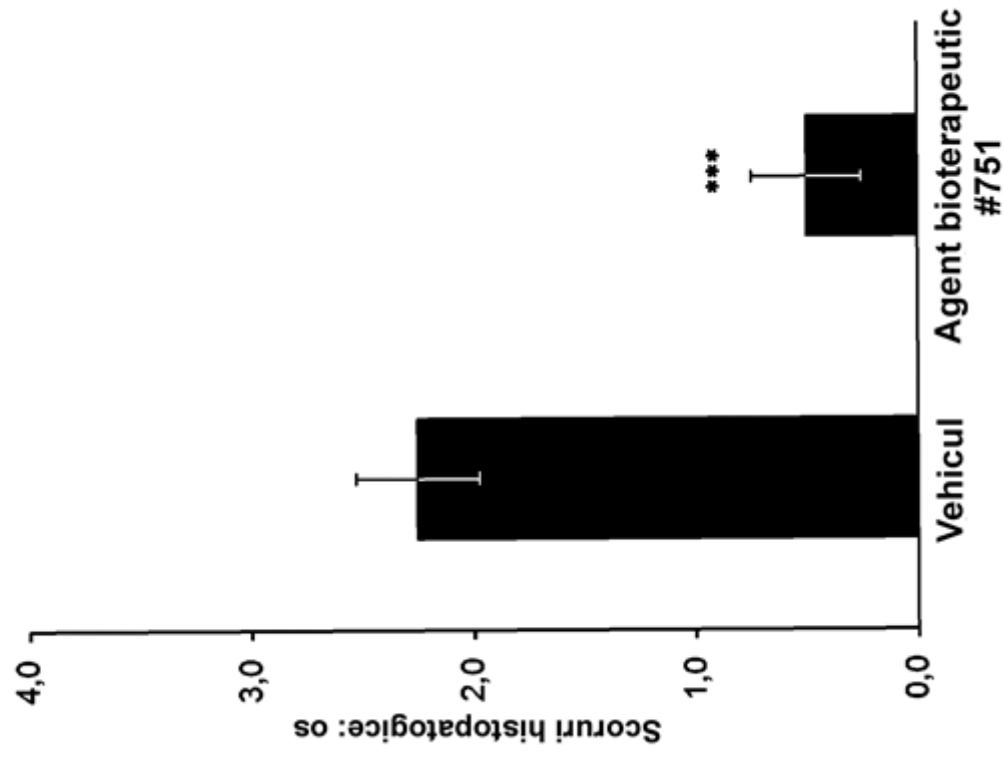
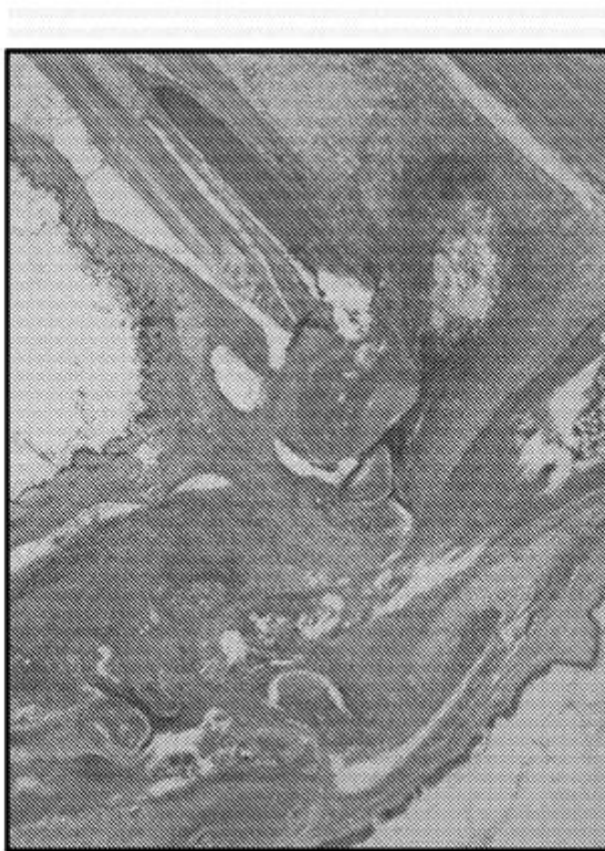


FIG. 70



Vehicul (#1,1 1R, Gradul 9)



Tulipina #751 (#2,R, Gradul 0)

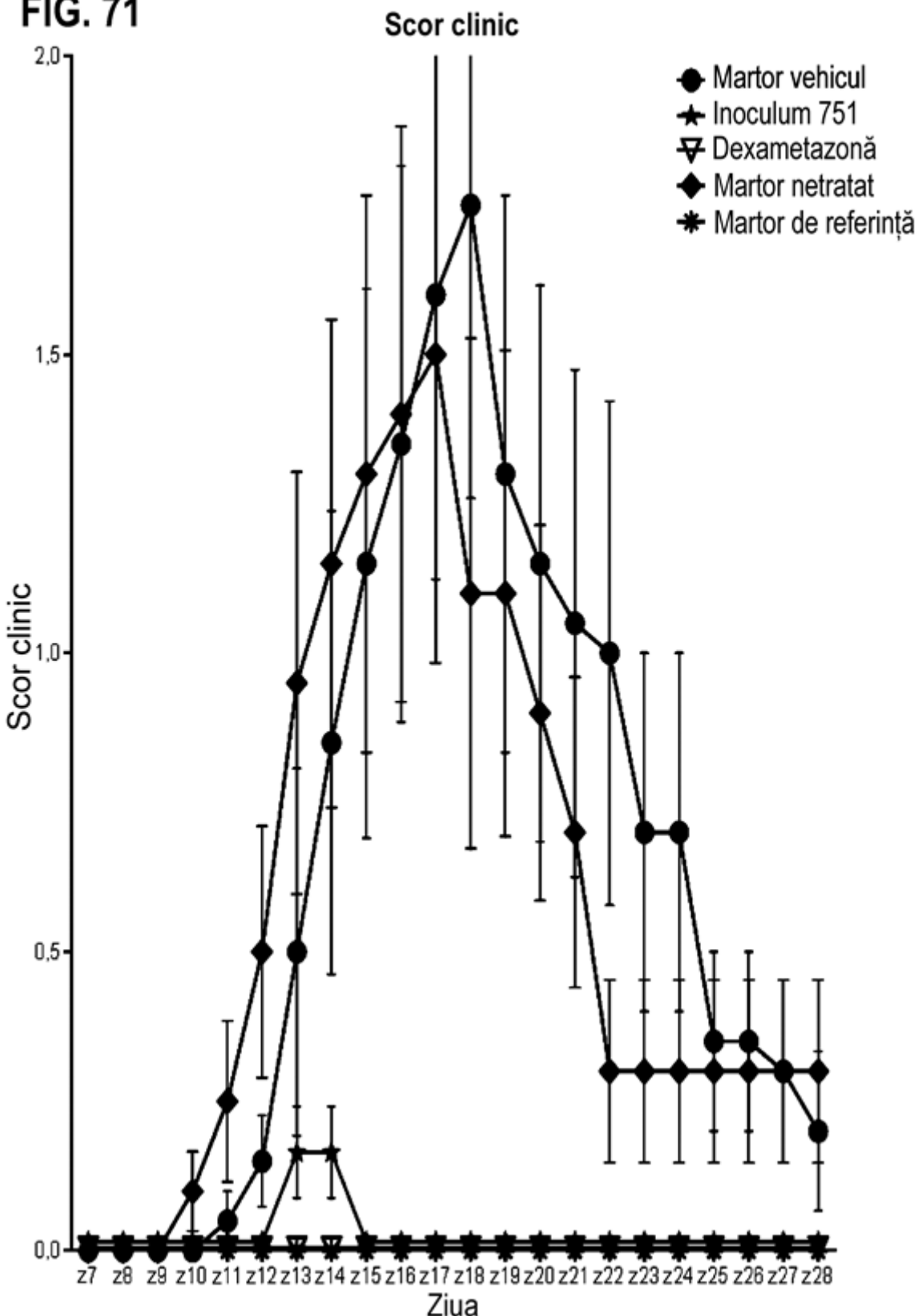
FIG. 71

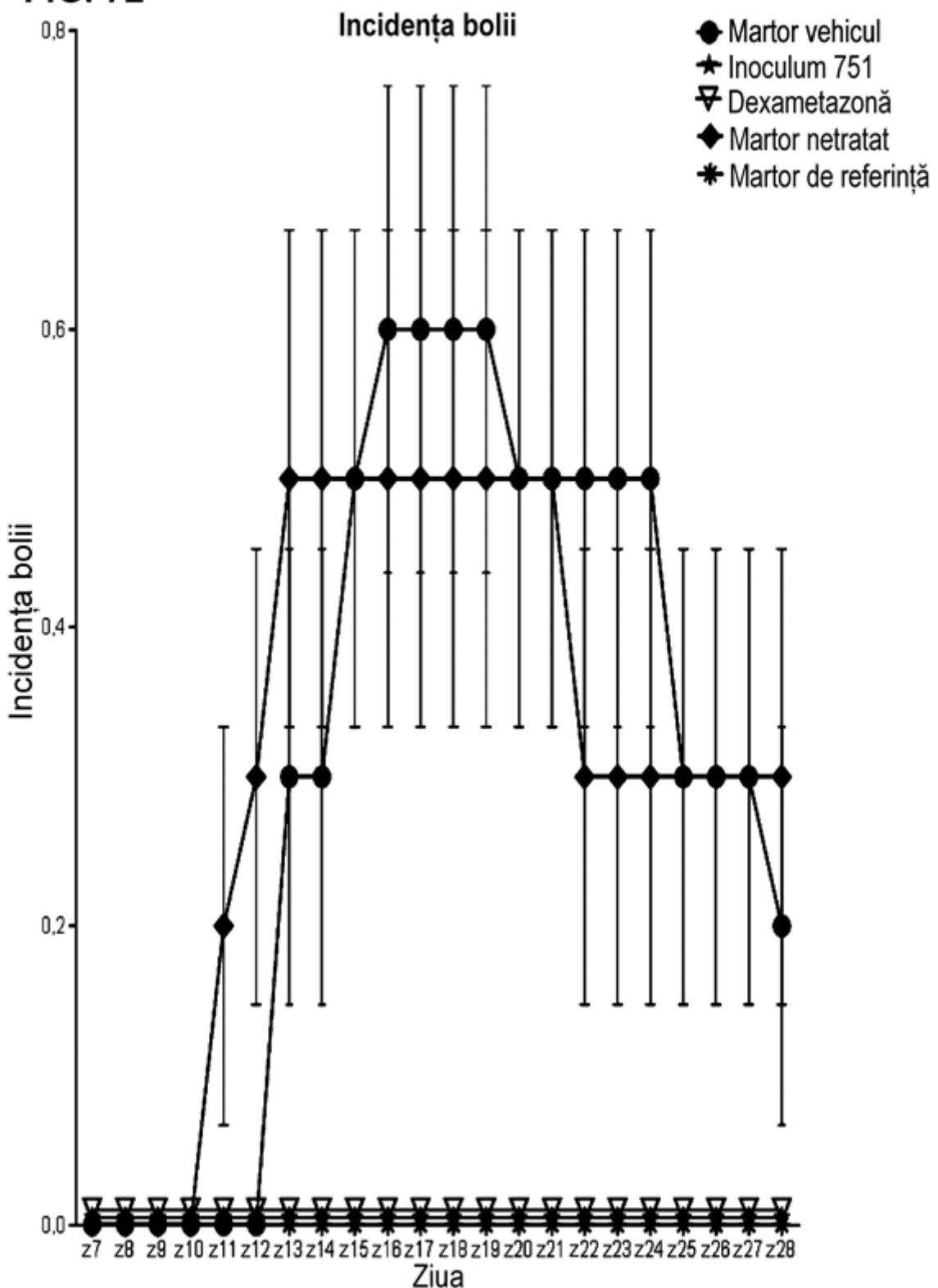
FIG. 72

FIG. 73

Volumul tumori (mm^3)

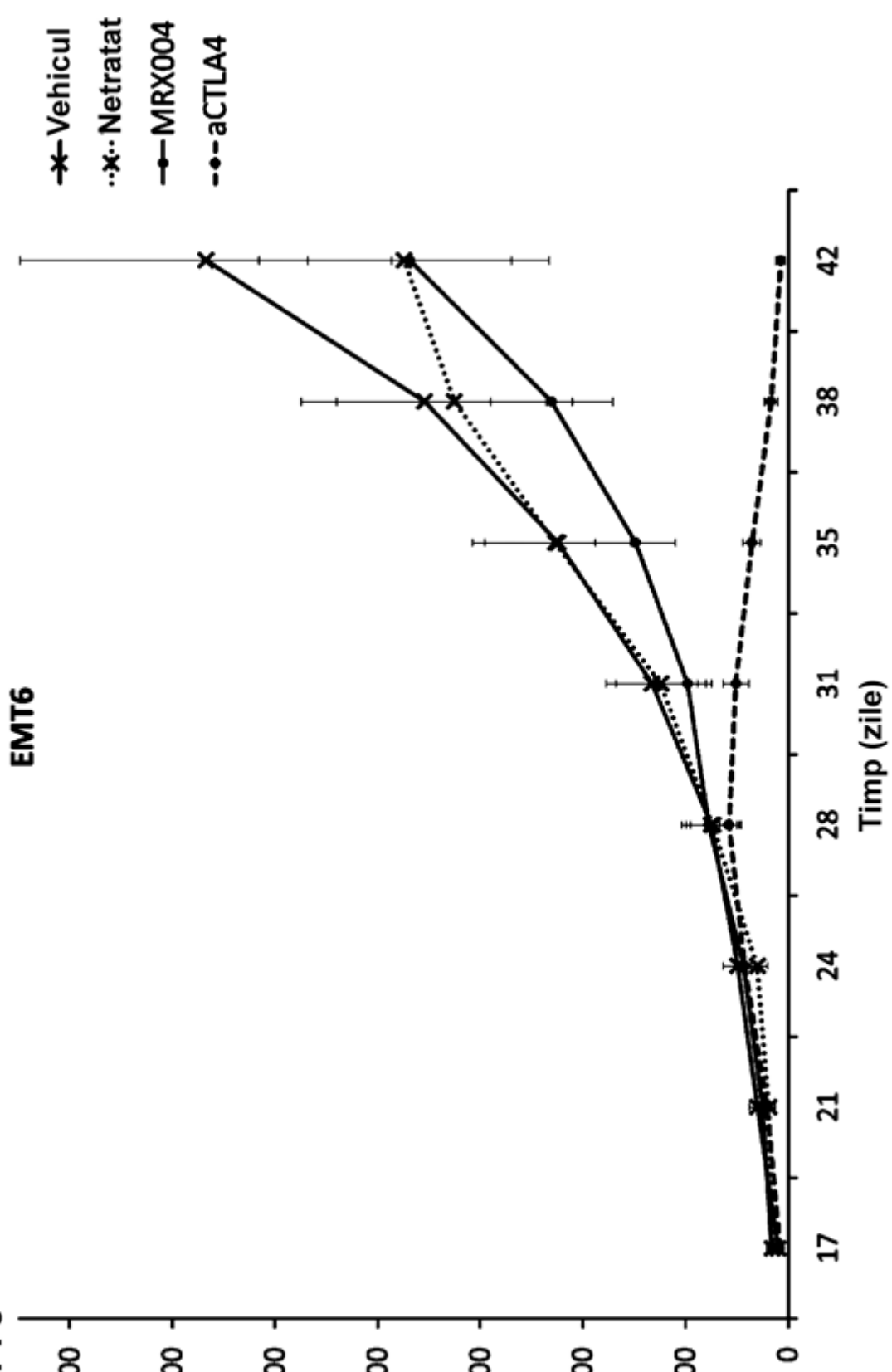


FIG. 74
LLC

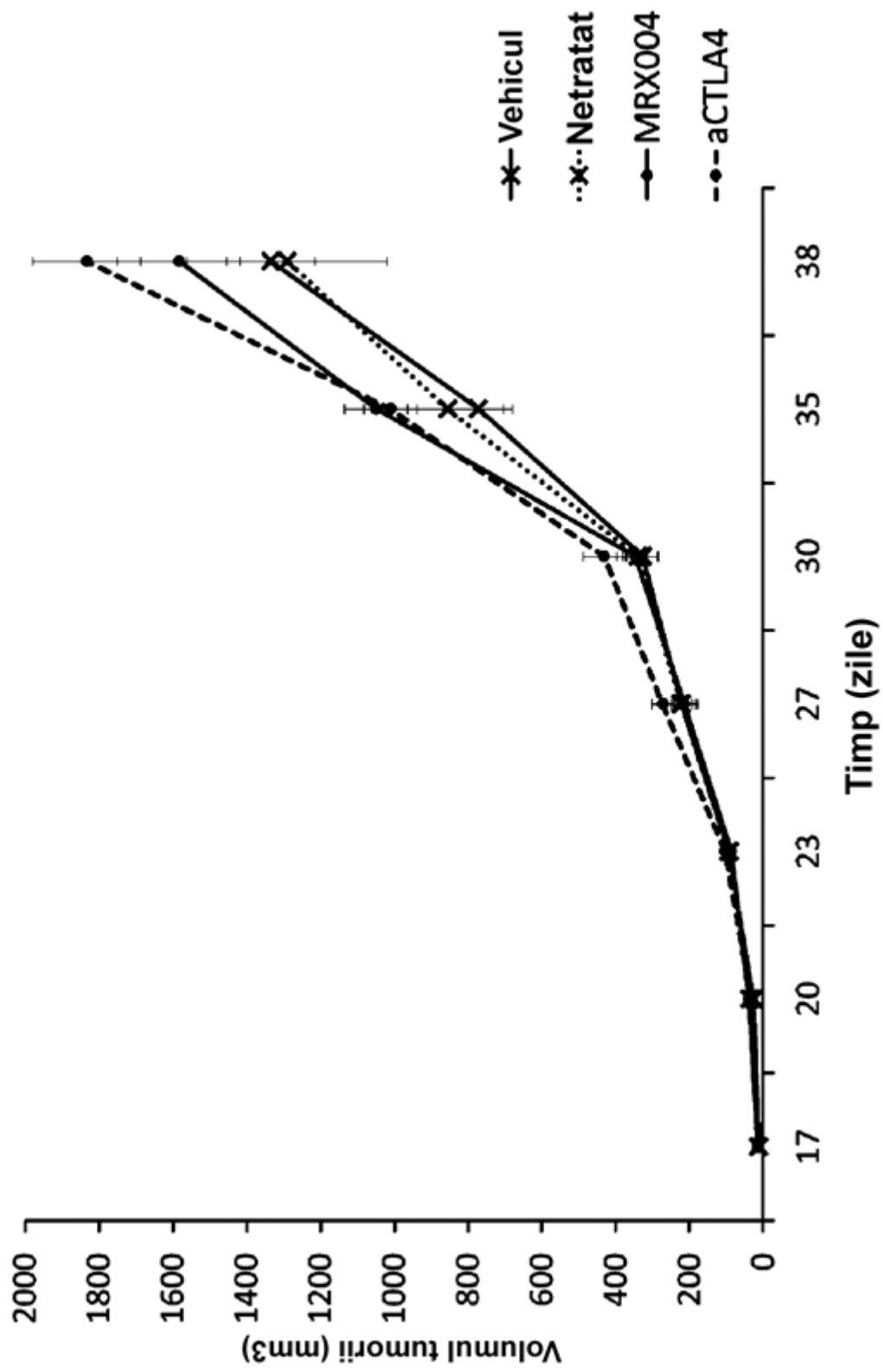
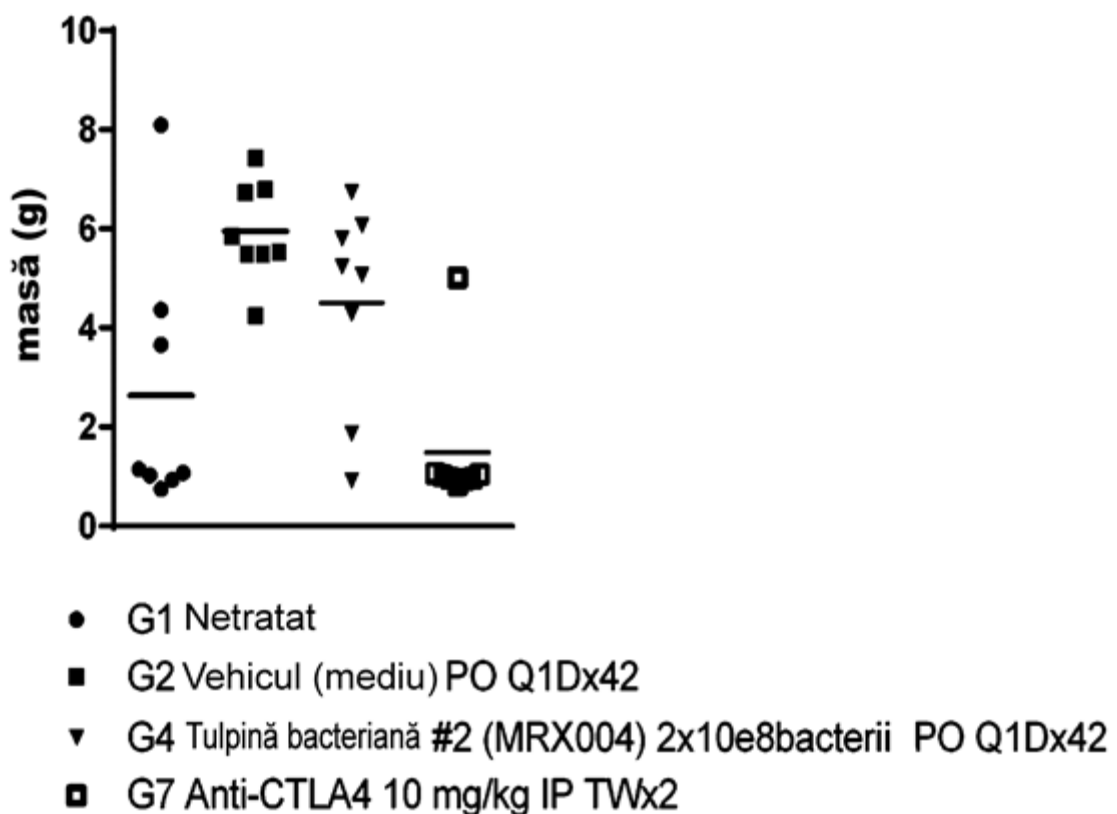
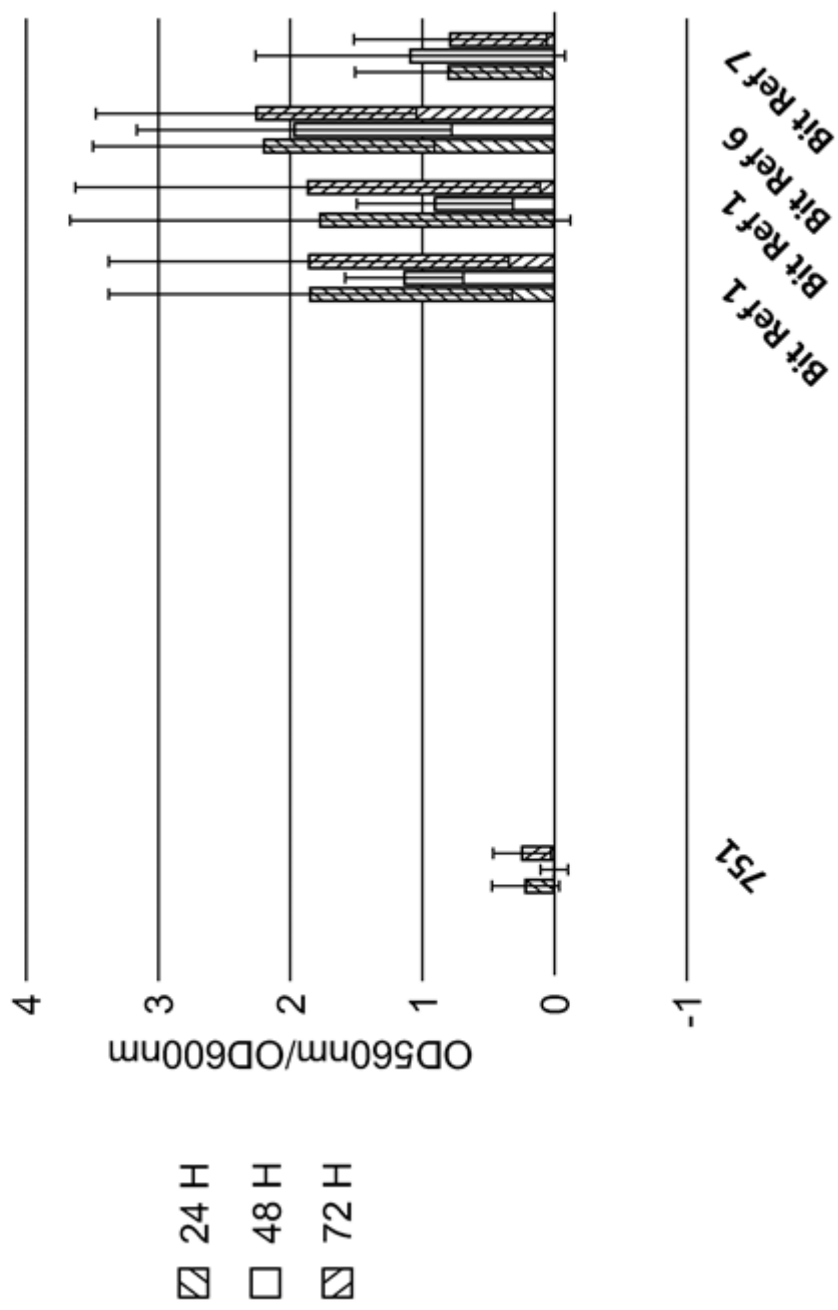


FIG. 75

Masa ficatului la eutanasie (g)



**FIG. 76 Atașarea la celulele umane
Atașarea în YCFA (2 replicări biologice, normalizate)**



**FIG. 76 (cont.) Atașarea la celulele umane
Atașarea în YCFA (2 replicări biologice, normalize)**

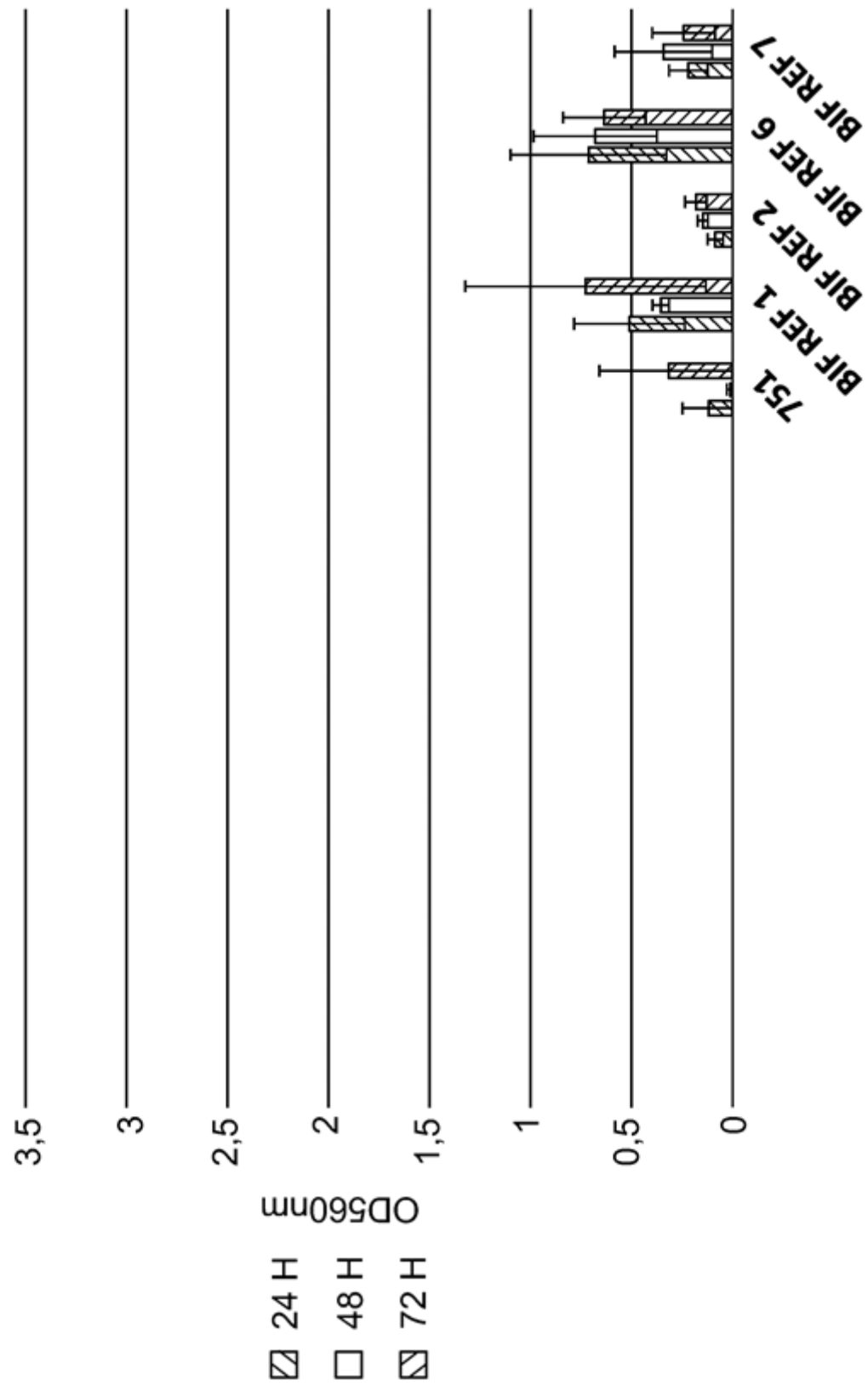
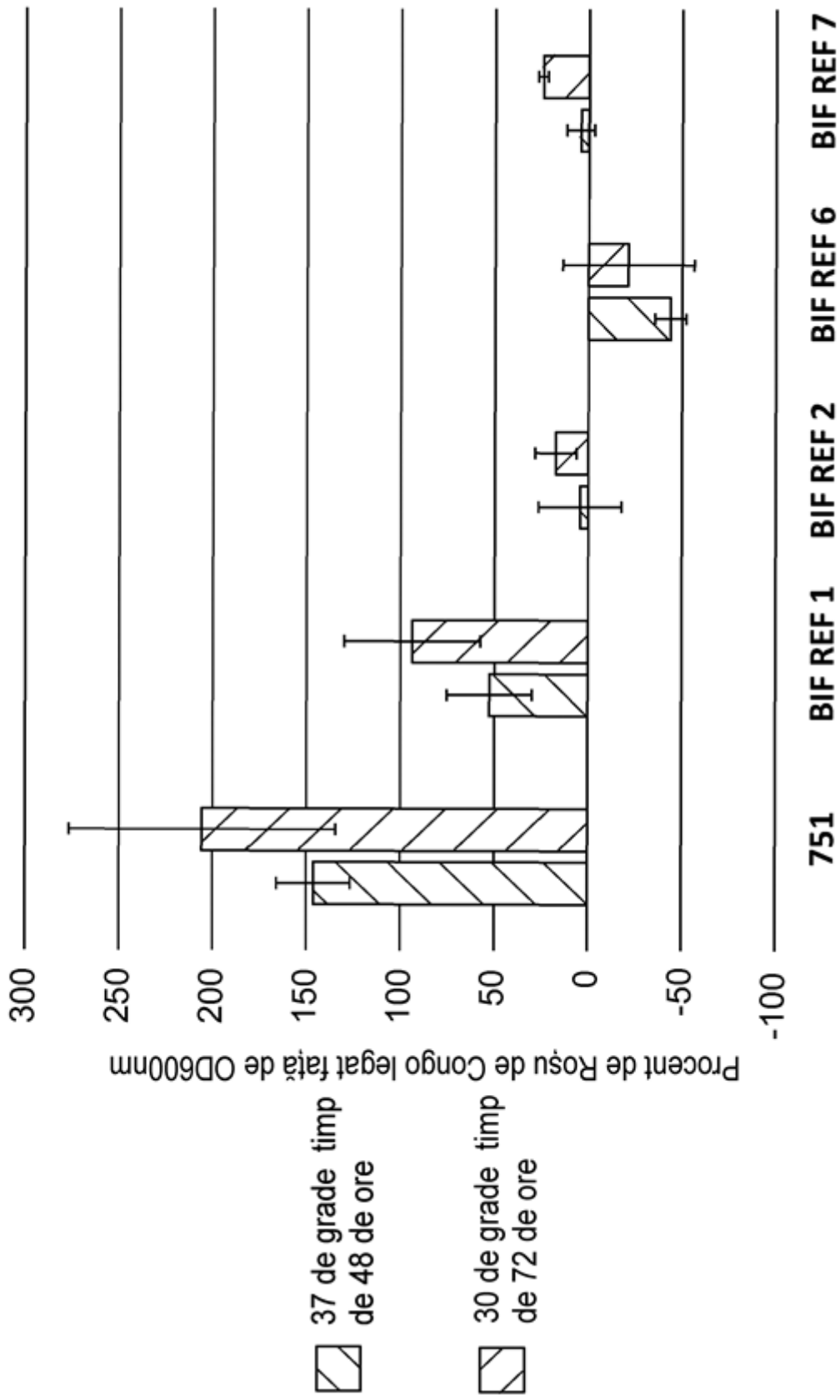


FIG. 77 Producerea de EPS legat

Producerea de EPS legat în YCFA (2 replicări biologice, normalizează)



**FIG. 77 (cont.) Producerea de EPS legat
Producerea de EPS legat în YCFA (2 replicări biologice, normalizează)**

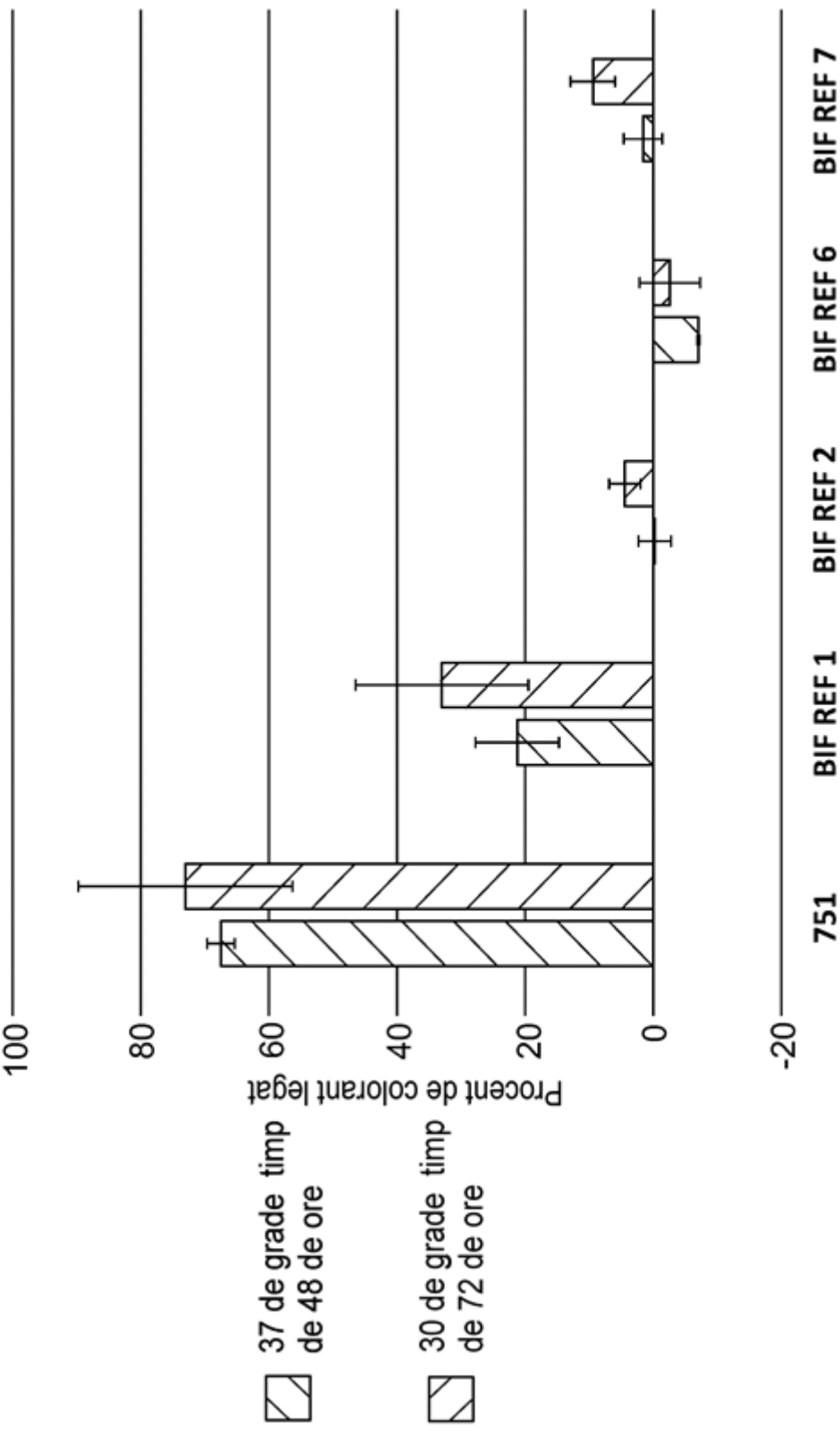


FIG. 78 Producerea de exopolizaharidă legată și eliberată de către MRX004

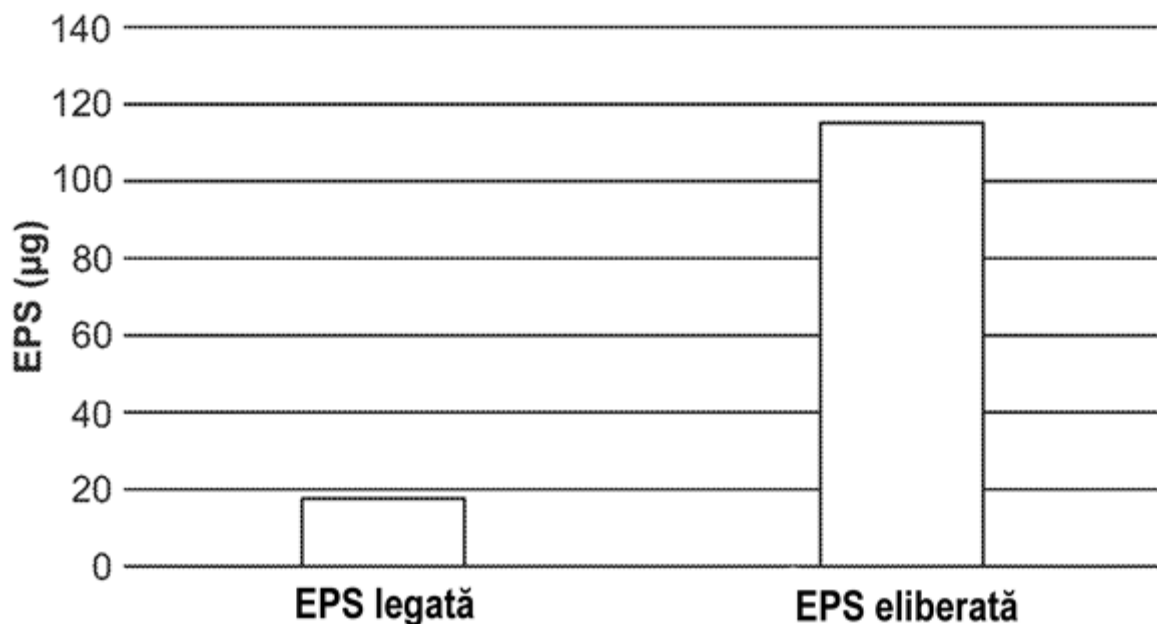


FIG. 79 Atașarea MRX004 la celulele Caco-2

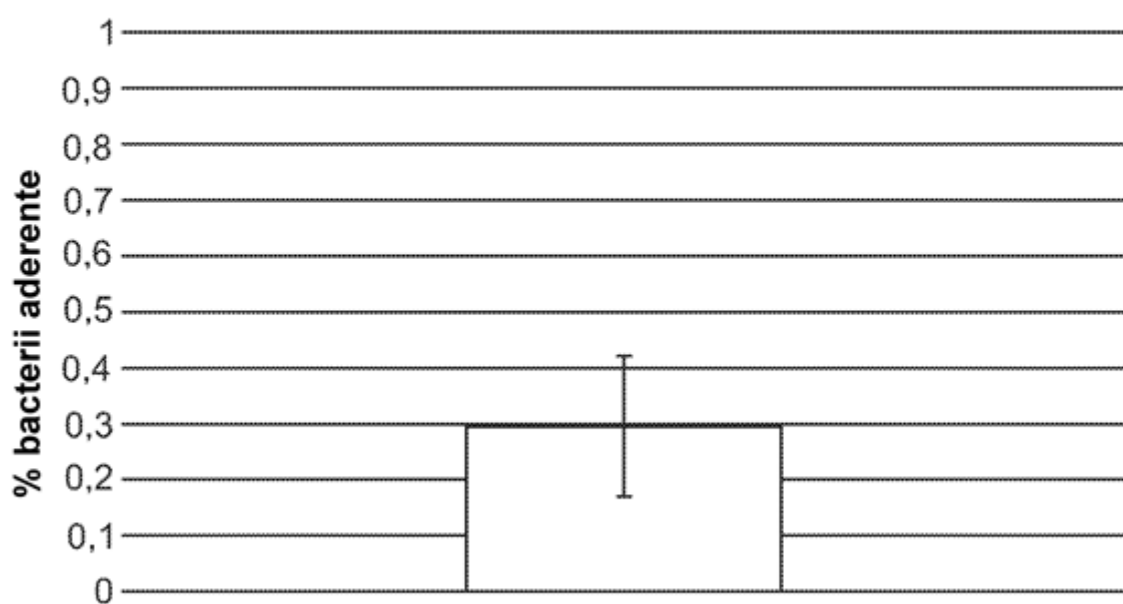


FIG. 80 Profilul ID 32 A rapid al MRX004 față de tulpi de tip *Bifidobacterium breve*

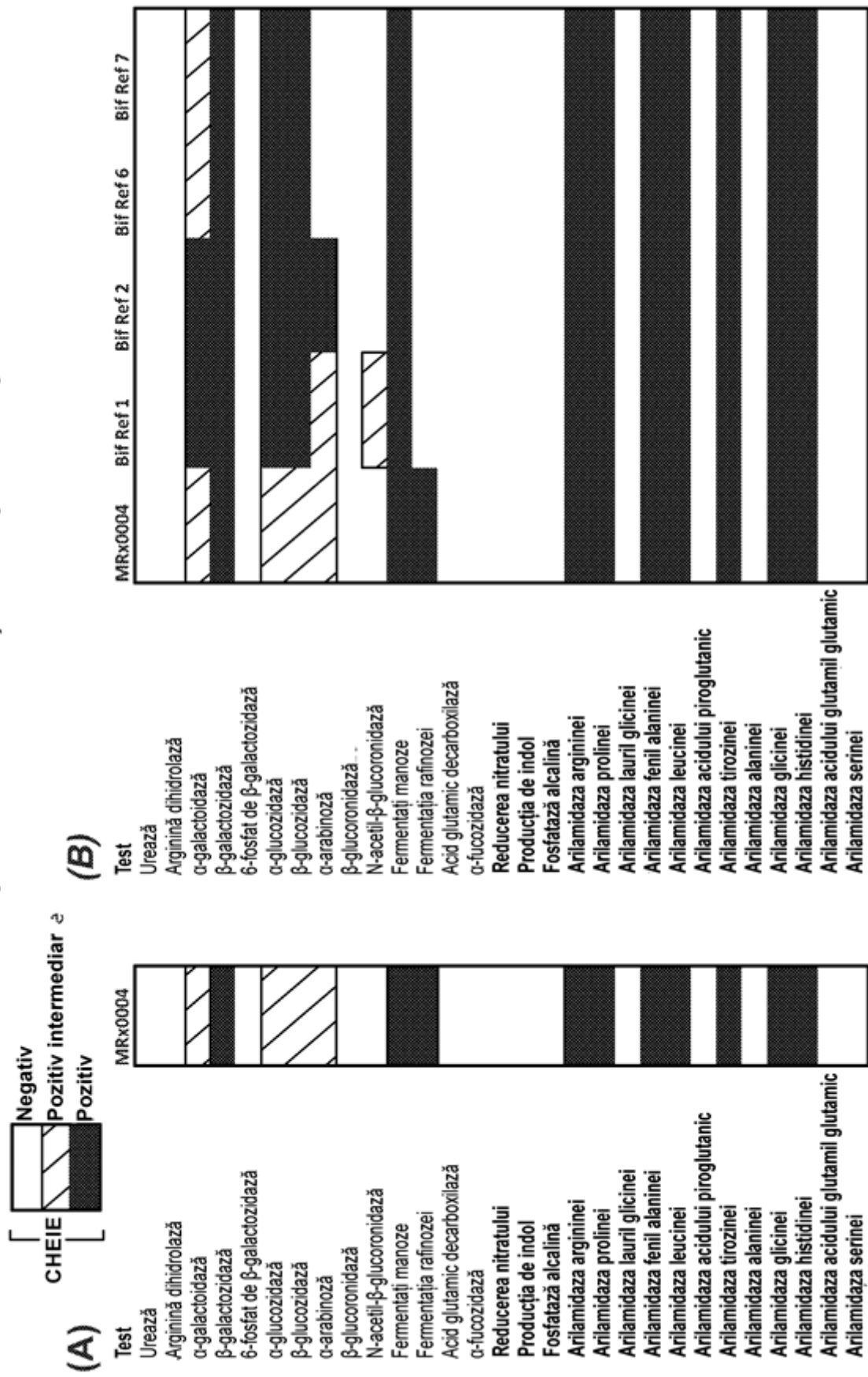


FIG. 81 Analiza API® pe 50 de canale a MRX004